

現地調査の実施状況について

2020年9月3日

東京電力福島第一原子力発電所事故対策室

ガンマカメラによる線量測定の実施概要

(1) 目的

原子力規制庁は、放射性物質の放出経路の検討を行うために、これまでに各所の放射性物質による汚染状況の把握のための線量測定を実施してきている。また、東京電力においても同様の調査がなされてきている。その中で、局所的に高線量となっている箇所等が確認されている。

このような高線量箇所の発生要因を含めた放射性物質の放出経路を検討するため、さらに以下の構造物に対して、ガンマカメラによる線量測定を実施した。

(2) 場所

1号機原子炉建屋5階(測定日:令和2年7月3日、30日)

1 / 2号機SGTS配管(排気筒基部付近)(測定日:令和2年7月9日、10日、30日)

レーザースキャンによる測定の実施概要

(1) 目的

原子力規制庁は、これまでに各号機の原子炉建屋等の構造物に対して、損傷状況の把握等の観点から現地調査を実施してきた。構造物の損傷状況等は目視により確認することと併せて、データ化して損傷箇所の形状や構造物の傾斜等を確認することにより、より詳細に構造物の形状、損傷状況等を把握することが可能となる。

そのため、以下の構造物に対して、レーザースキャナによる測定を実施した。

(2) 場所

1号機原子炉建屋5階(測定日:令和2年7月3日、7月30日)

4号機原子炉建屋2階(測定日:令和2年8月7日)

4号機原子炉建屋3階(測定日:令和2年8月6日、7日)

4号機原子炉建屋4階(測定日:令和2年7月2日、8月7日)

1 / 2号機SGTS配管(排気筒基部付近)(測定日:令和2年7月3日、9日、30日)

5号機原子炉建屋4階(測定日:令和2年7月31日)

レーザーสキャンによる測定の実施概要

(3) 調査資機材

3Dレーザースキャナ(FARO社製)および関連機材(ターゲット(球)、三脚)
その他、撮影機材(カメラ)、照明(ライト)を使用。



スキャナ



スキャナ
三脚に設置した状態



ターゲット球

4号機原子炉建屋内の現地調査の実施概要

(1) 目的

原子力規制庁が行った3号機原子炉建屋3階の調査結果から、3階西側のはりの著しい損傷が確認されている。

一方、4号機原子炉建屋3階では、天井部よりも床部での著しい損傷が確認されている。

このため、3号機原子炉建屋の損壊状況との比較検討のため、4号機原子炉建屋3階及び2階を中心として、4号機原子炉建屋内の現地調査を原子力規制庁内の建屋構造(建築)の専門家とともに実施した。

(2) 調査日

令和2年8月7日(金)

(3) 調査箇所

4号機原子炉建屋2階～4階

その他の現地調査の実施概要

(1) 目的

原子力規制庁では、今後、2号機原子炉建屋内等の高線量域の調査を予定している。

高線量域における調査は、被ばく線量を低減する観点から、効率的に調査を実施する必要がある。そのため、今般、低線量域にある同様の形状等を有する設備を調査した。

(2) 調査日

令和2年7月31日(金)

(3) 調査箇所

5号機原子炉建屋4階(原子炉ウェルプラグ脇の配管)

6号機原子炉建屋外側(SGTS配管モニター)

(1) 1号機原子炉建屋5階の現地調査について

実施概要

(1) 調査日

令和2年7月3日、30日

(2) 調査実施者

令和2年7月 3日 原子力規制庁職員 8名、外部専門家 1名

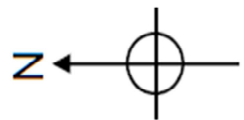
令和2年7月30日 原子力規制庁職員 5名

(3) 被ばく線量

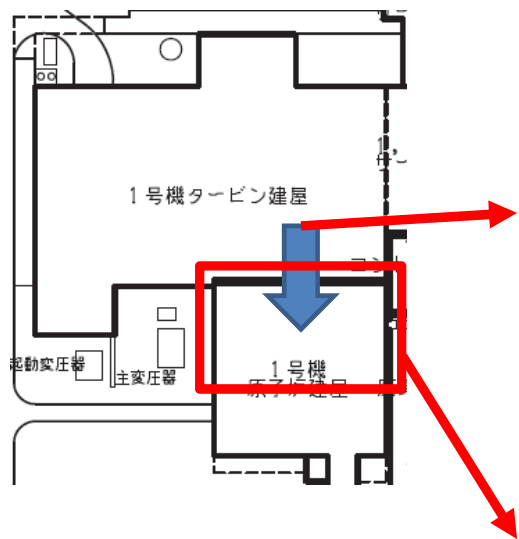
令和2年7月 3日 最大:0.41mSv、最小:0.28mSv

令和2年7月30日 最大:1.34mSv、最小:0.53mSv

被ばく線量[mSv]の最大、最小は、調査実施者のうち、最も被ばく線量の高い人の値と低い人の値を1日の合計値(同日に複数の調査を実施した場合は、他の調査による被ばく線量との合算値)として示した。

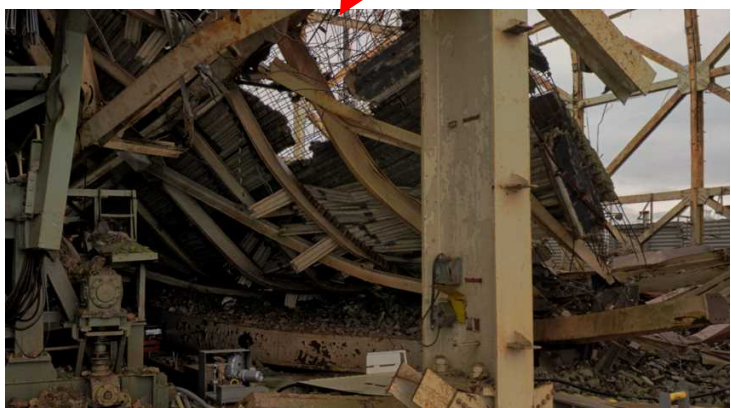


1号機原子炉建屋5階の状況



令和2年7月原子力規制庁にてデータ取得

1号機原子炉建屋5階の状況

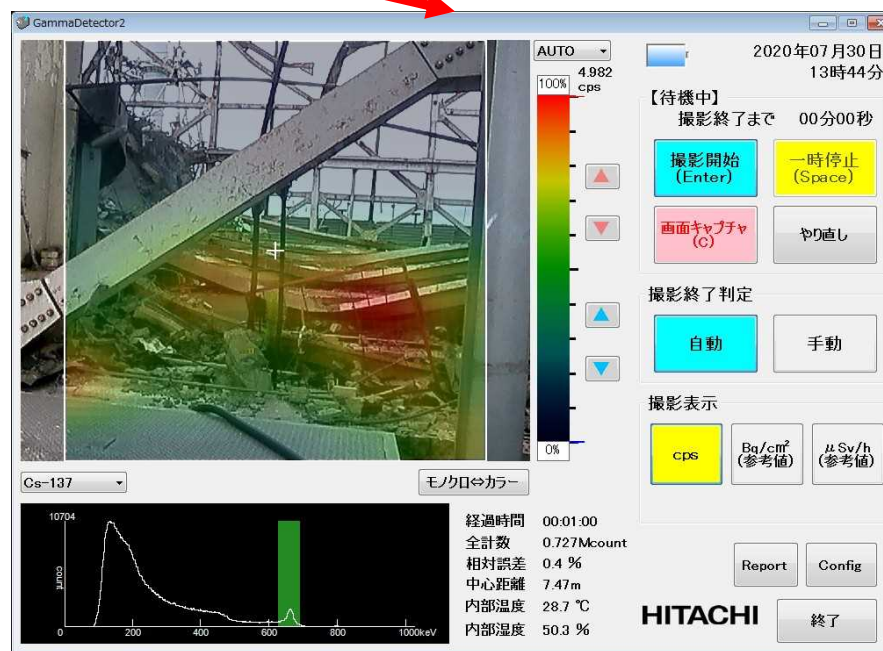
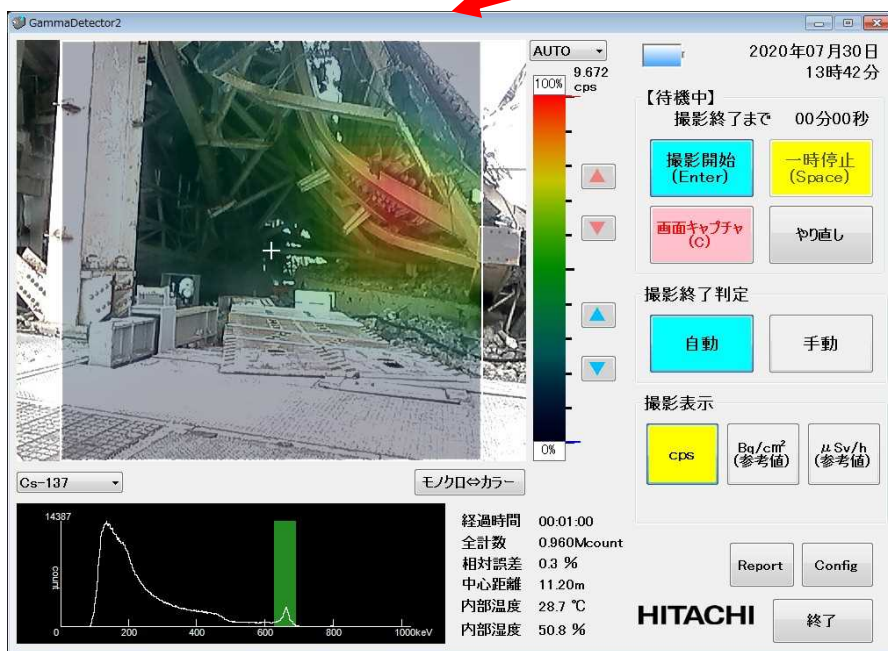


シールドプラグ



令和2年7月30日原子力規制庁撮影

ガンマカメラによる測定状況



令和2年7月30日原子力規制庁にてデータ取得

(2) 4号機原子炉建屋2階の現地調査について

実施概要

(1) 調査日

令和2年8月7日

(2) 調査実施者

原子力規制庁職員 7名、外部専門家 1名、東京電力職員 2名

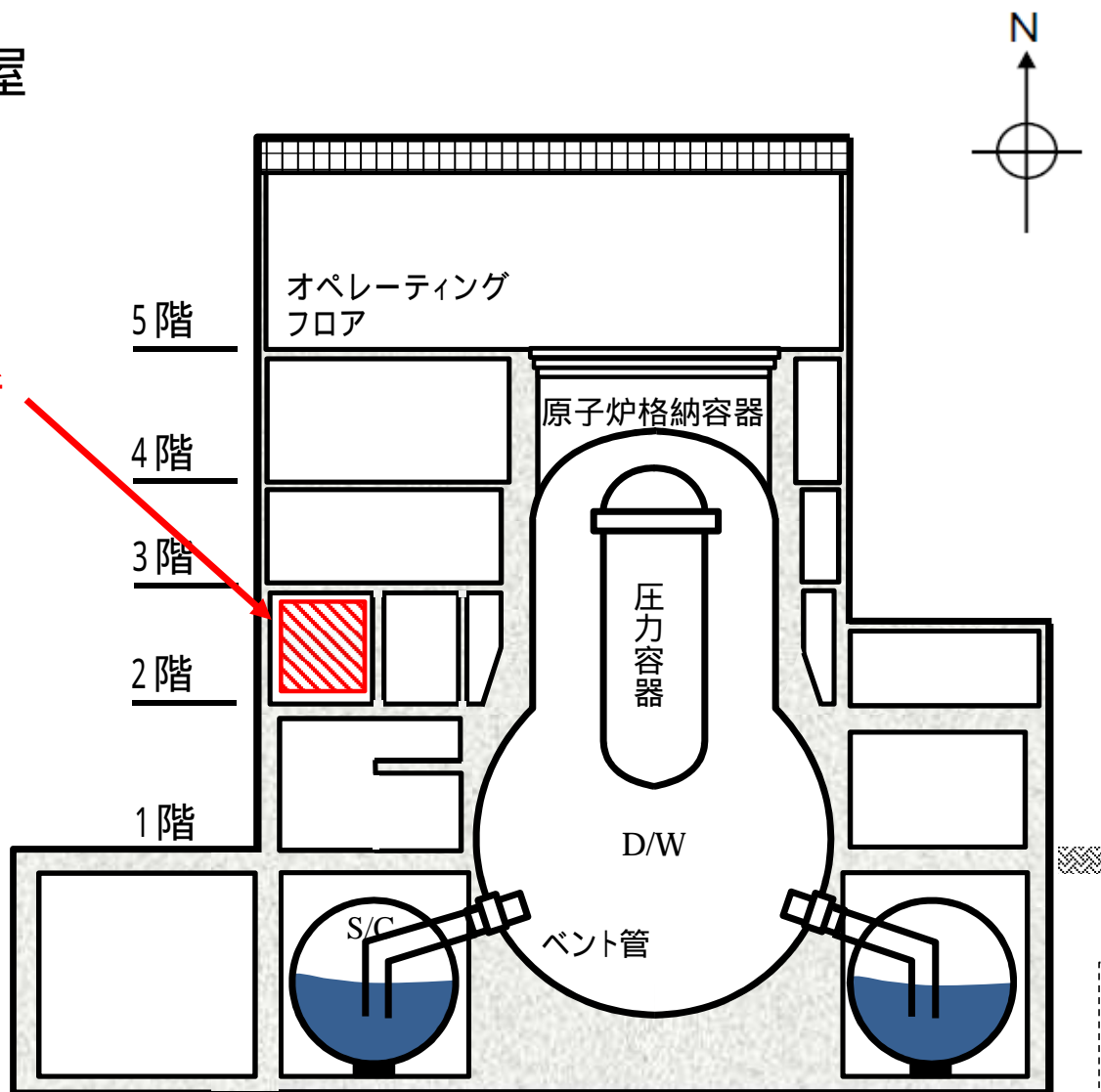
(3) 被ばく線量

最大:0.04mSv、最小:0.03mSv

被ばく線量[mSv]の最大、最小は、調査実施者のうち、最も被ばく線量の高い人の値と低い人の値を1日の合計値(同日に複数の調査を実施した場合は、他の調査による被ばく線量との合算値)として示した。

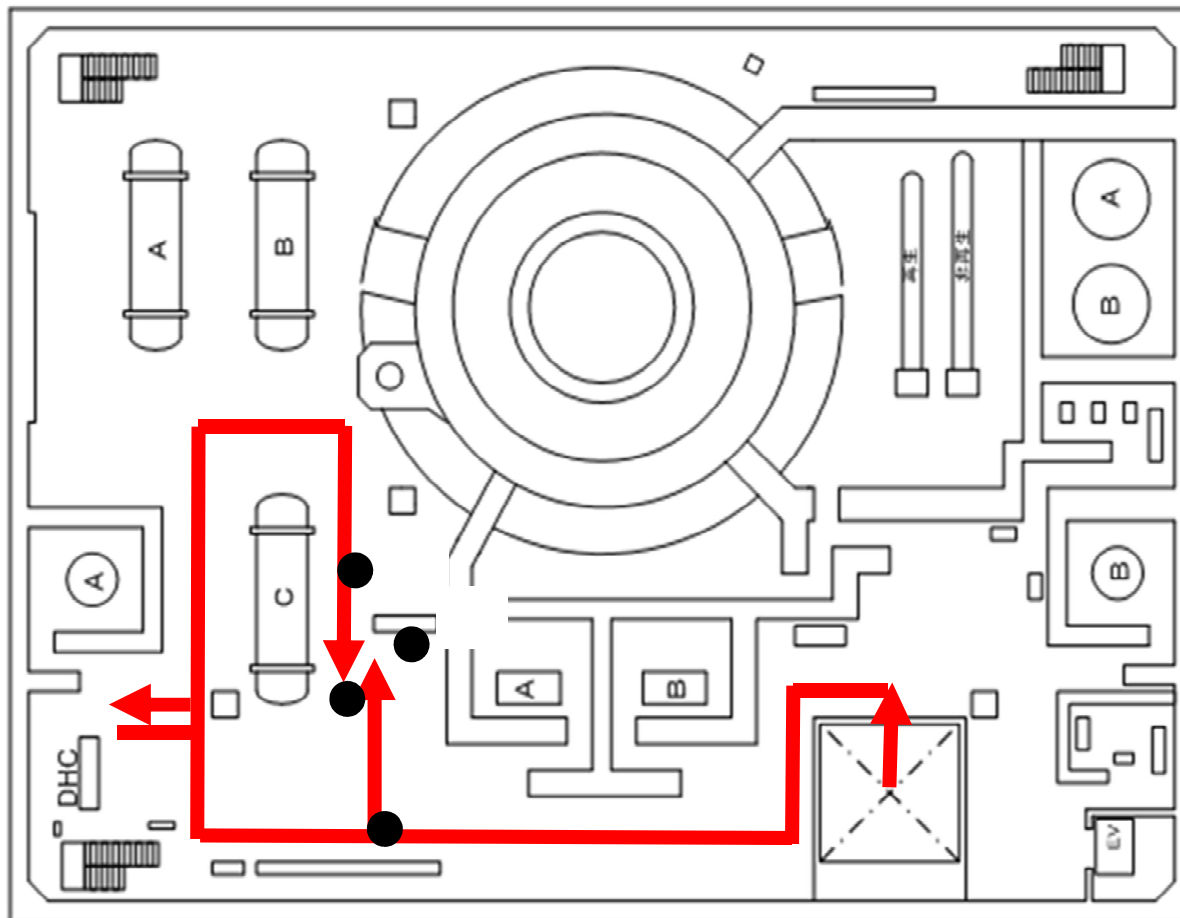
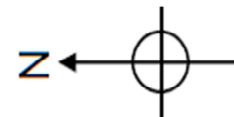
4号機原子炉建屋 (東西断面)

現地調査箇所



東京電力「福島第一原子力発電所
原子炉設置変更許可申請書」
(平成15年6月現在)を基に作成

4号機原子炉建屋2階(平面図)

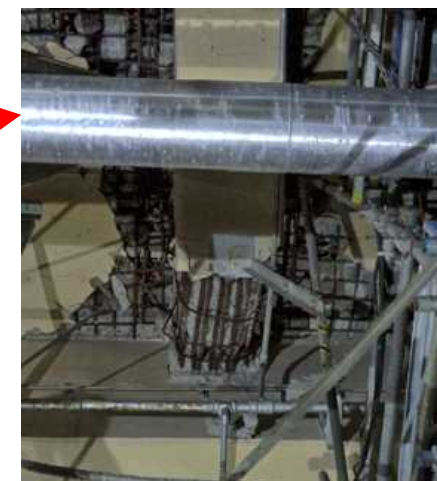
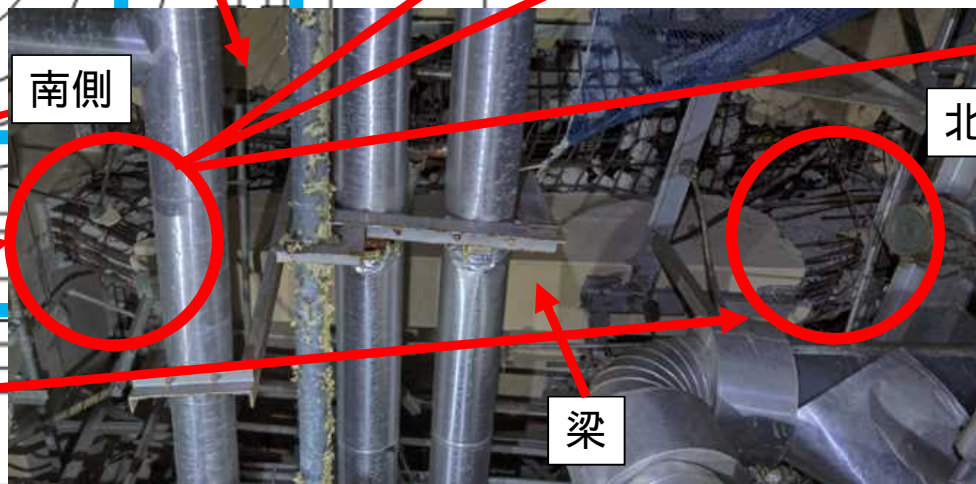
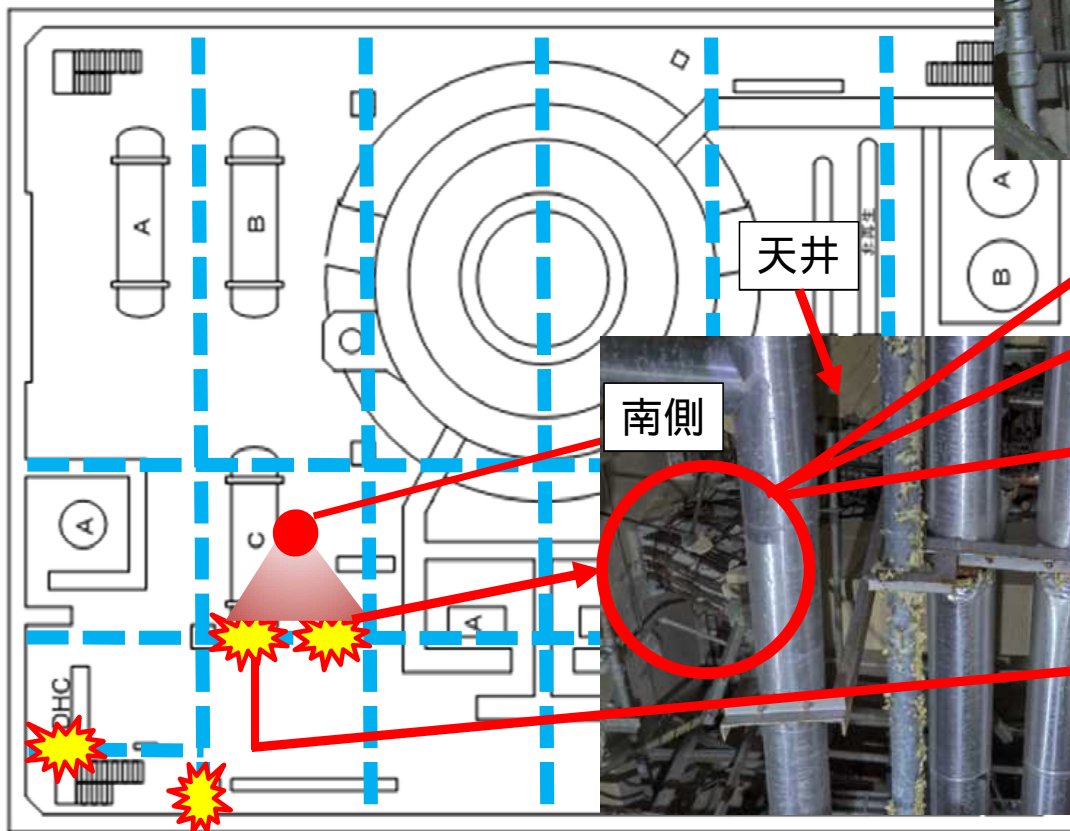


— 現地調査ルート
(令和2年8月7日)

● : スキャナ設置位置

東京電力福島第一原子力発電所における事故の分析に係る検討会第10回会合資料3より抜粋、一部加工

4号機原子炉建屋2階梁の損傷状況

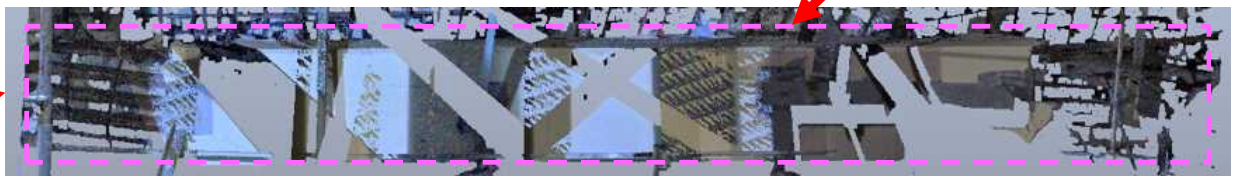
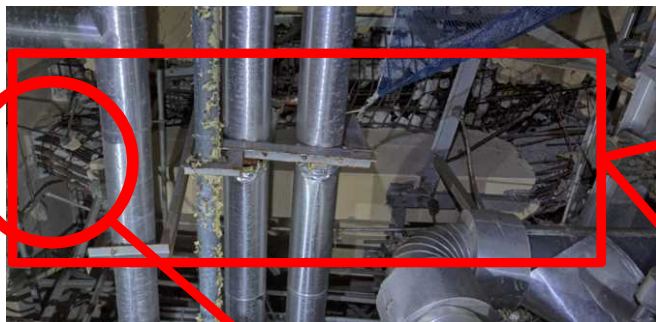


4号機R/B 2階

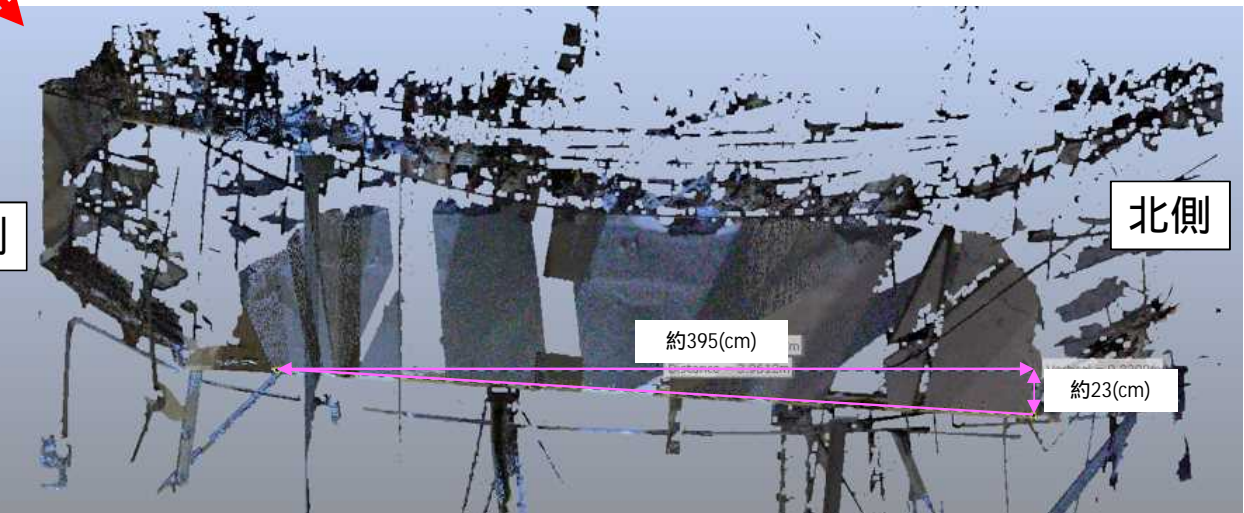
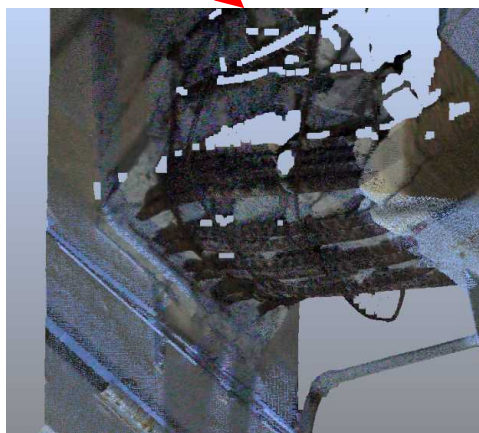
図面は、東京電力福島第一原子力発電所における事故の分析に係る検討会第12回会合資料5-1より抜粋、一部加工

写真は、令和2年8月7日原子力規制庁撮影

4号機原子炉建屋2階梁の損傷状況



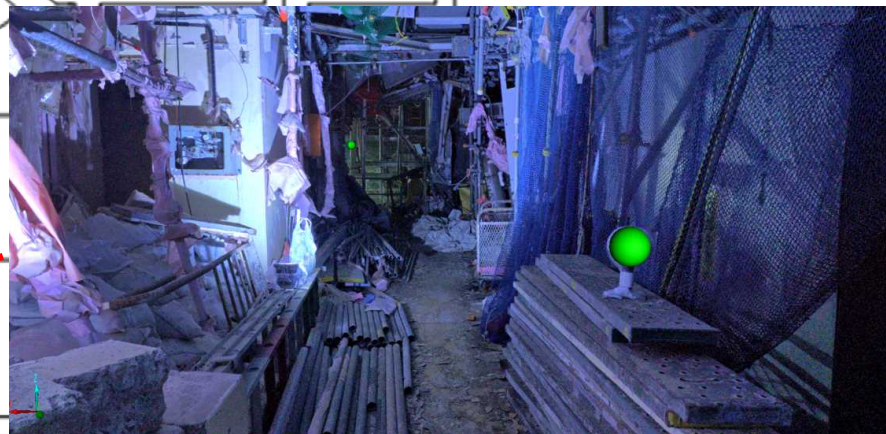
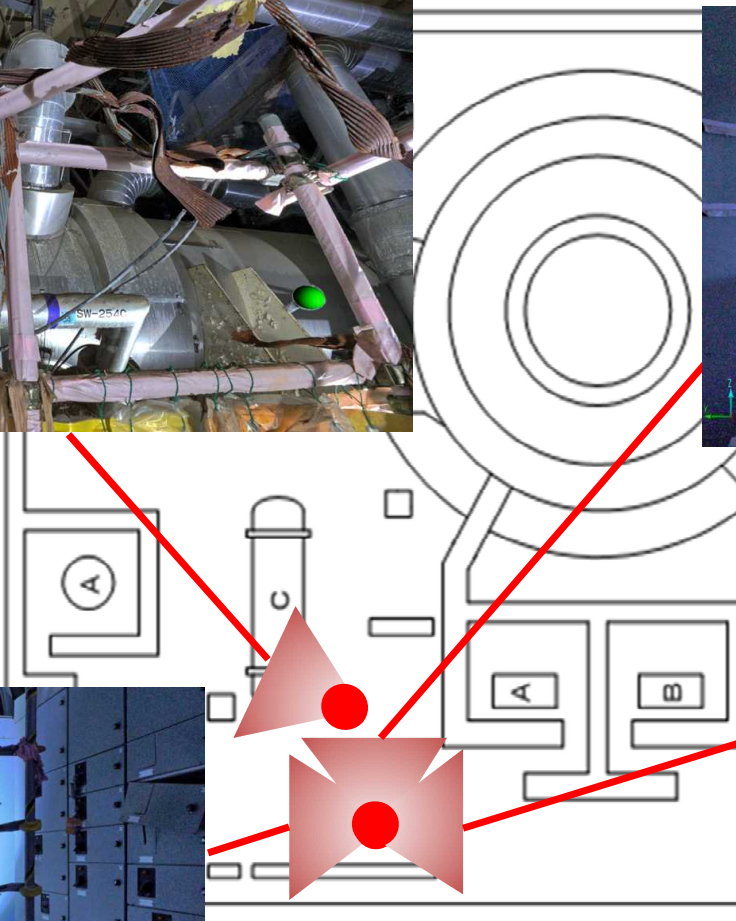
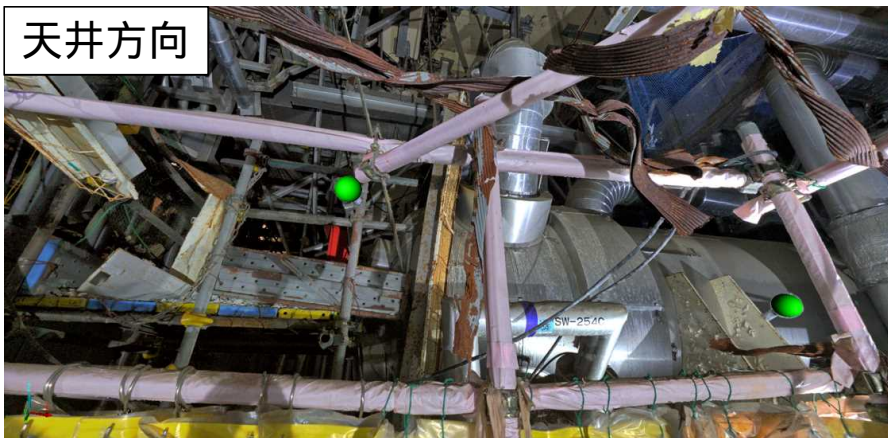
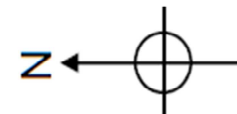
下から見た状況



横から見た状況

令和2年8月7日原子力規制庁にてデータ取得

4号機原子炉建屋2階の状況



図面は、東京電力福島第一原子力発電所における事故の分析に係る検討会第10回会合資料3より抜粋、一部加工

写真は、令和2年8月7日原子力規制庁撮影

(3) 4号機原子炉建屋3階の現地調査について

実施概要

(1) 調査日

令和2年8月6日、7日

(2) 調査実施者

令和2年8月6日 原子力規制庁職員 4名

令和2年8月7日 原子力規制庁職員 7名、外部専門家 1名、東京電力職員 2名

(3) 被ばく線量

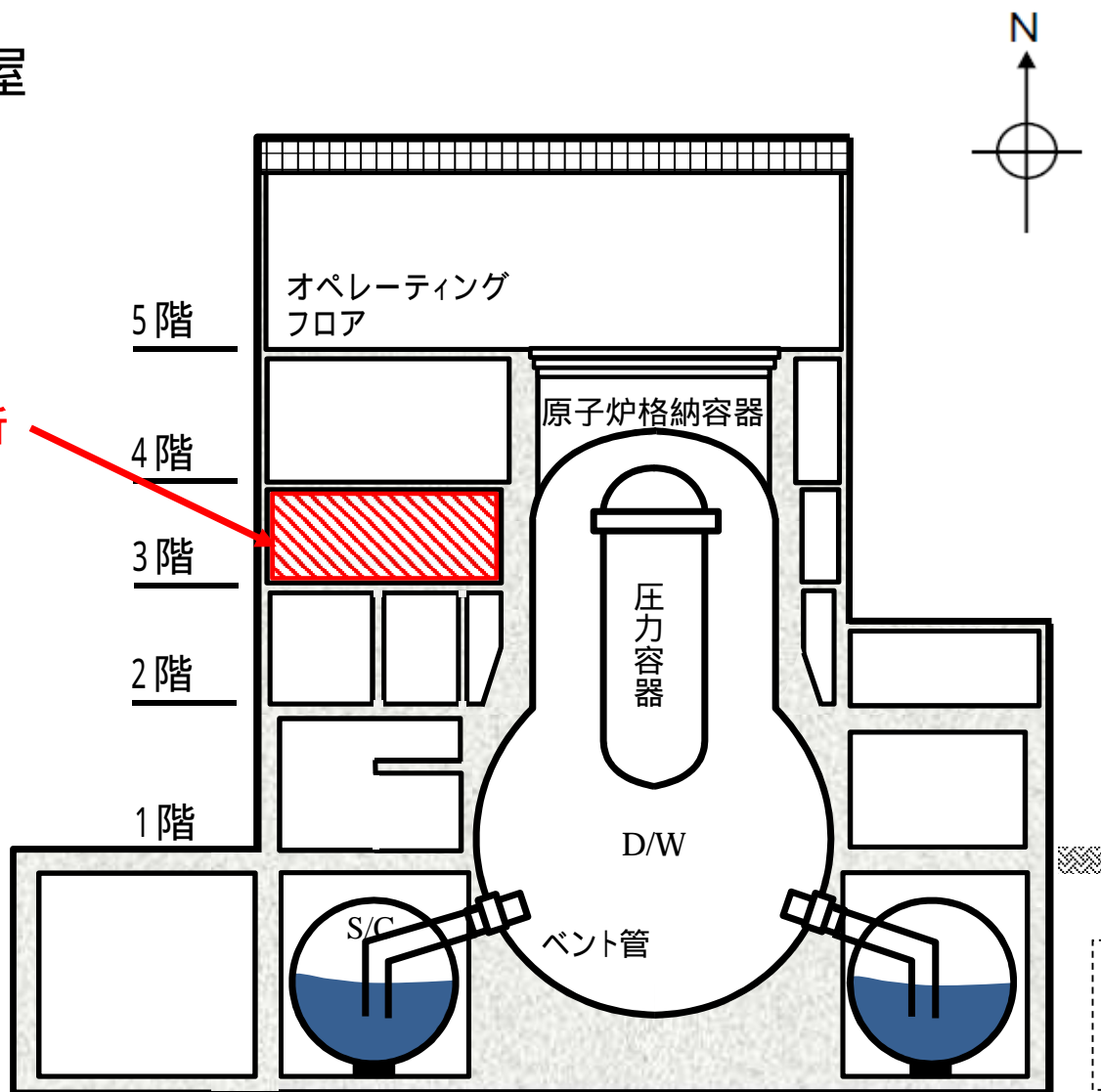
令和2年8月6日 最大:0.06mSv、最小:0.05mSv

令和2年8月7日 最大:0.04mSv、最小:0.03mSv

被ばく線量[mSv]の最大、最小は、調査実施者のうち、最も被ばく線量の高い人の値と低い人の値を1日の合計値(同日に複数の調査を実施した場合は、他の調査による被ばく線量との合算値)として示した。

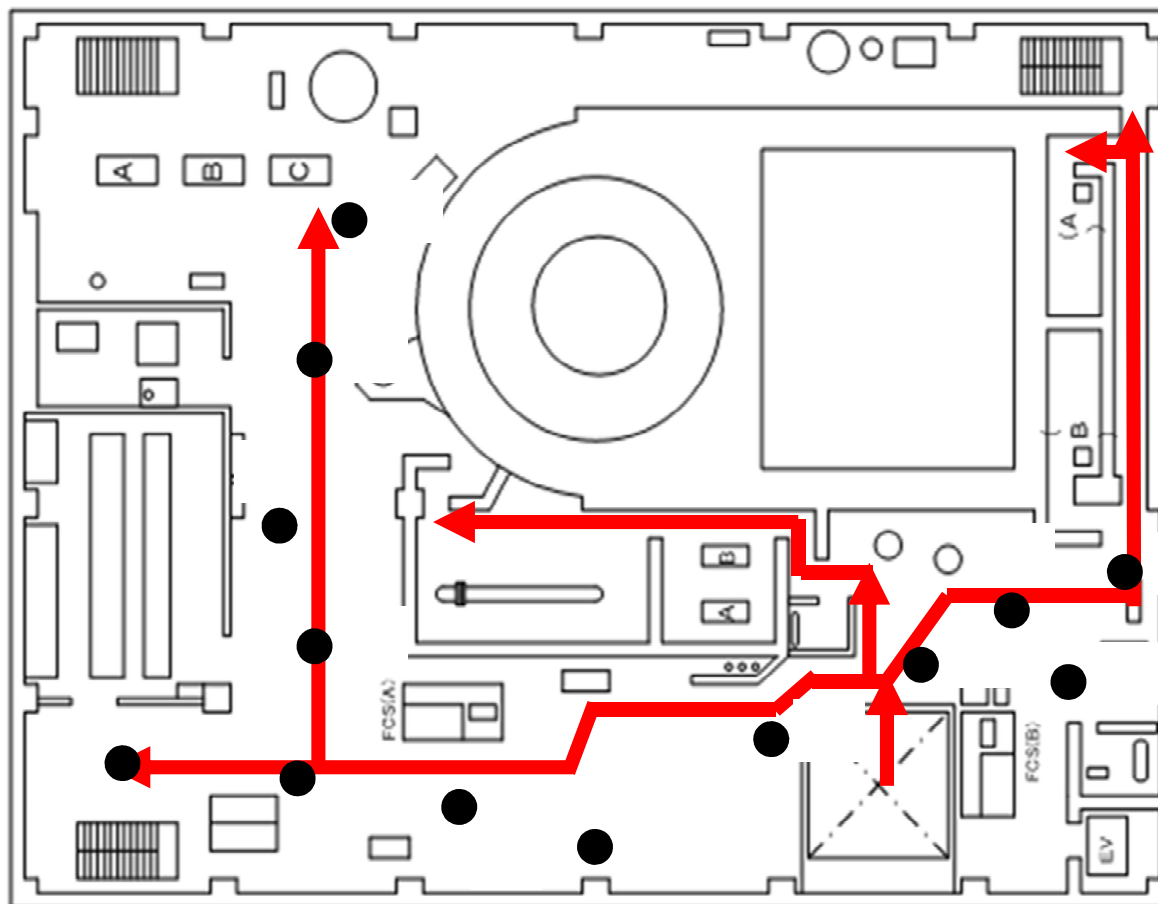
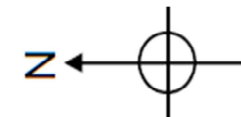
4号機原子炉建屋 (東西断面)

現地調査箇所



東京電力「福島第一原子力発電所
原子炉設置変更許可申請書」
(平成15年6月現在)を基に作成

4号機原子炉建屋3階(平面図)

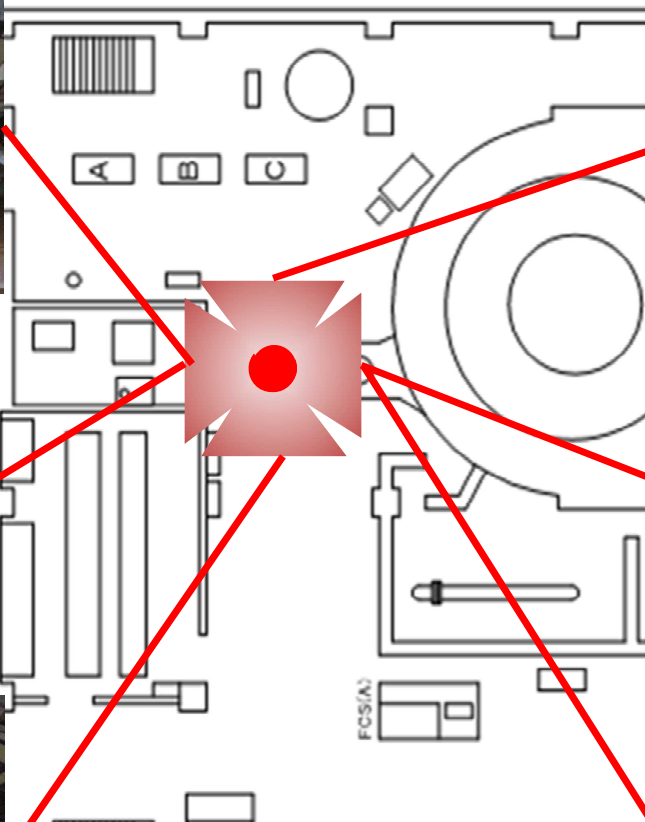
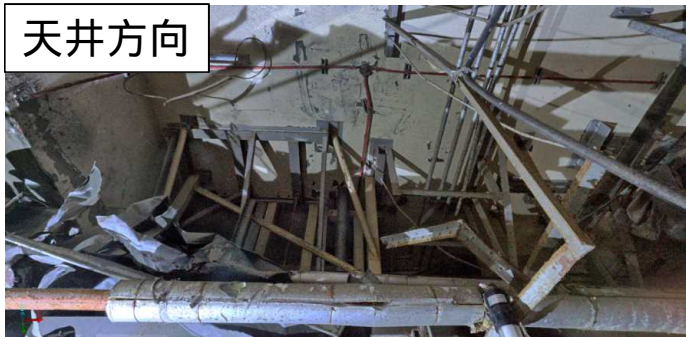
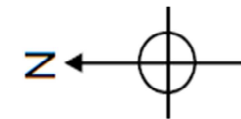


— 現地調査ルート
(令和2年8月6、7日)

● : スキャナ設置位置

東京電力福島第一原子力発電所における事故の分析に係る検討会第10回会合資料3より抜粋、一部加工

4号機原子炉建屋3階の状況(北側CRDリペア室付近)

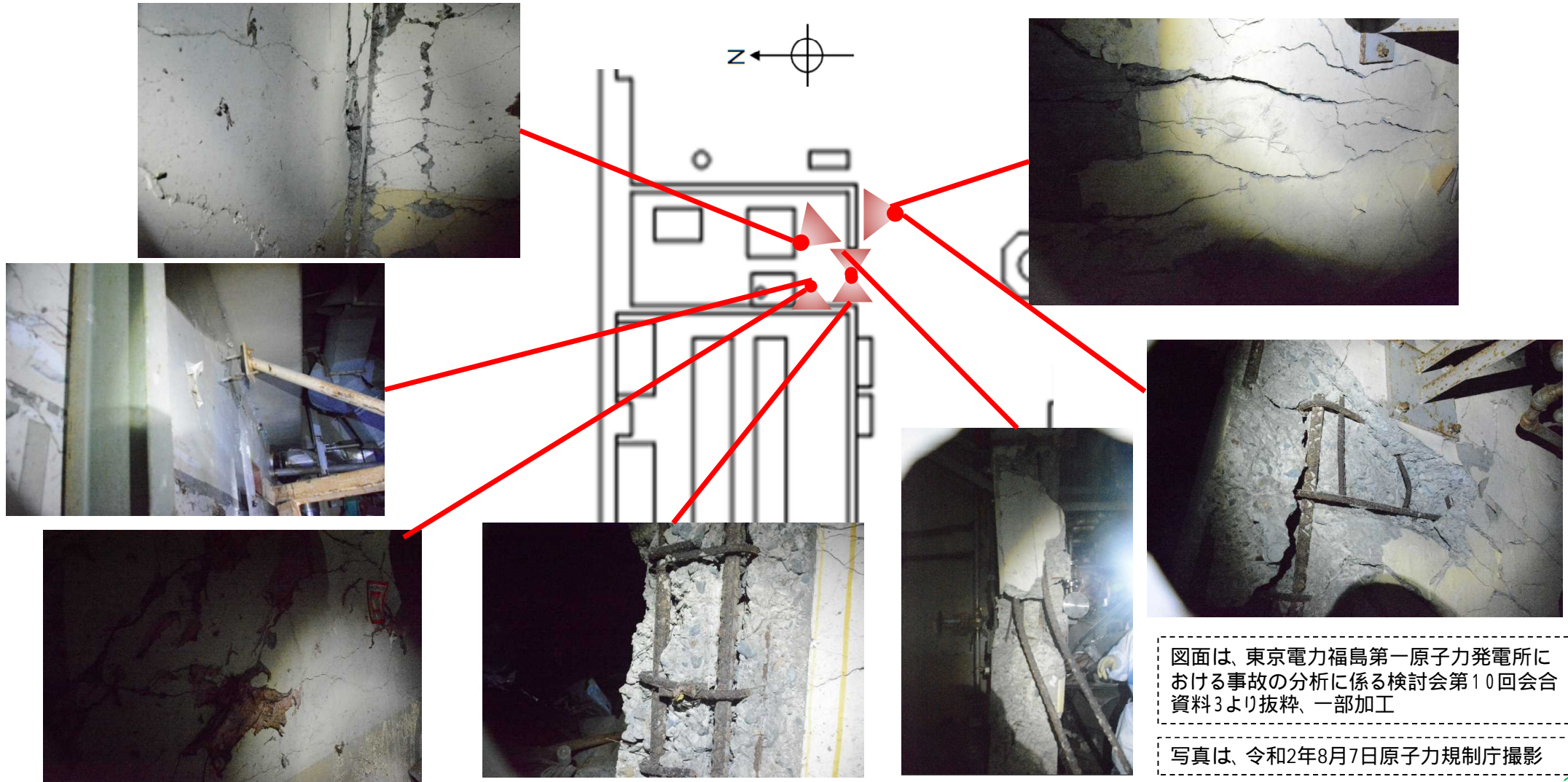


図面は、東京電力福島第一原子力発電所における事故の分析に係る検討会第10回会合資料3より抜粋、一部加工

写真は、令和2年8月6日原子力規制庁撮影

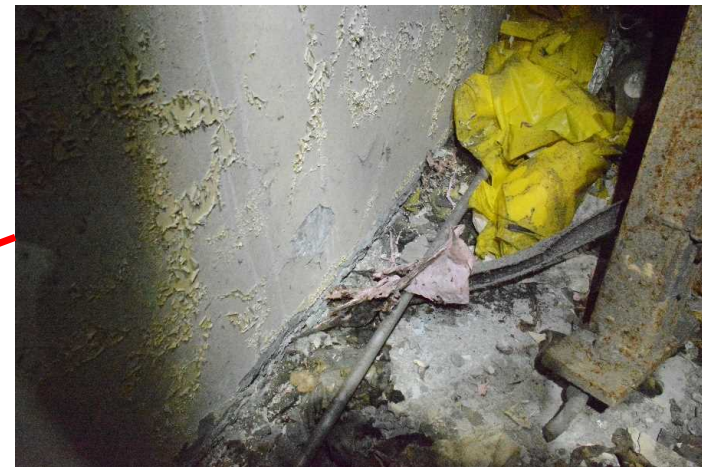
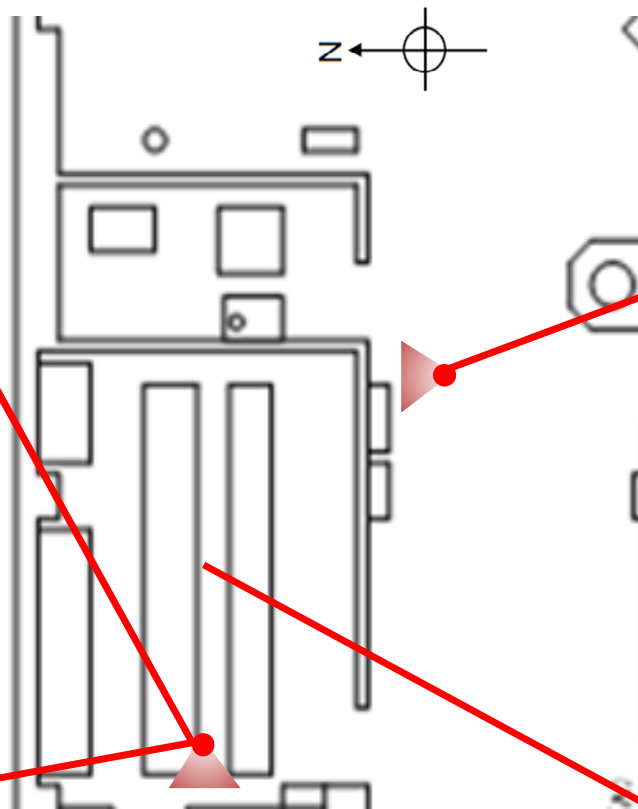


4号機原子炉建屋3階の状況(北側CRDリペア室)



図面は、東京電力福島第一原子力発電所における事故の分析に係る検討会第10回会合資料3より抜粋、一部加工
写真は、令和2年8月7日原子力規制庁撮影

4号機原子炉建屋3階の状況(北側CRDリペア室)

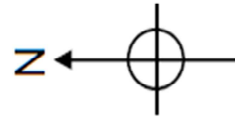


天井

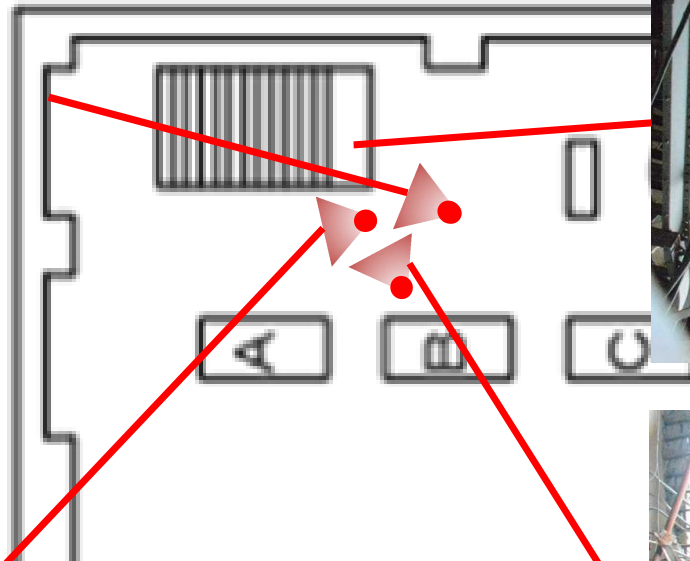
図面は、東京電力福島第一原子力発電所における事故の分析に係る検討会第10回会合資料3より抜粋、一部加工

写真は、令和2年8月7日原子力規制庁撮影

4号機原子炉建屋3階の状況(北東側階段付近)



天井方向

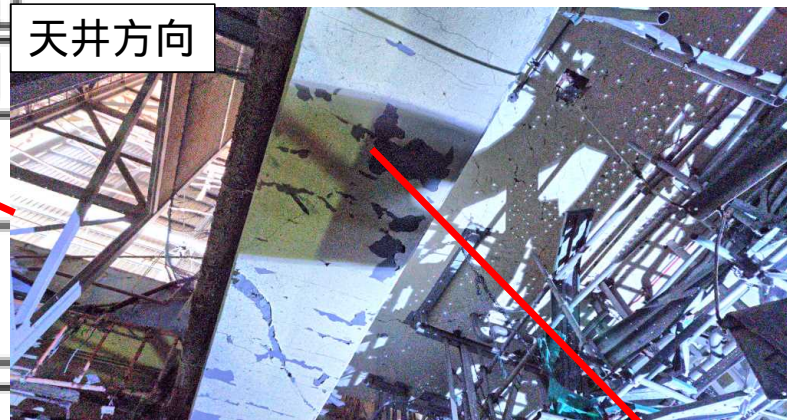
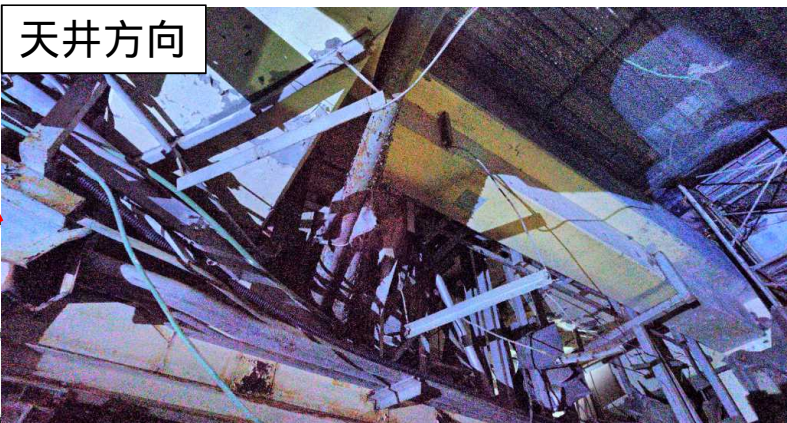
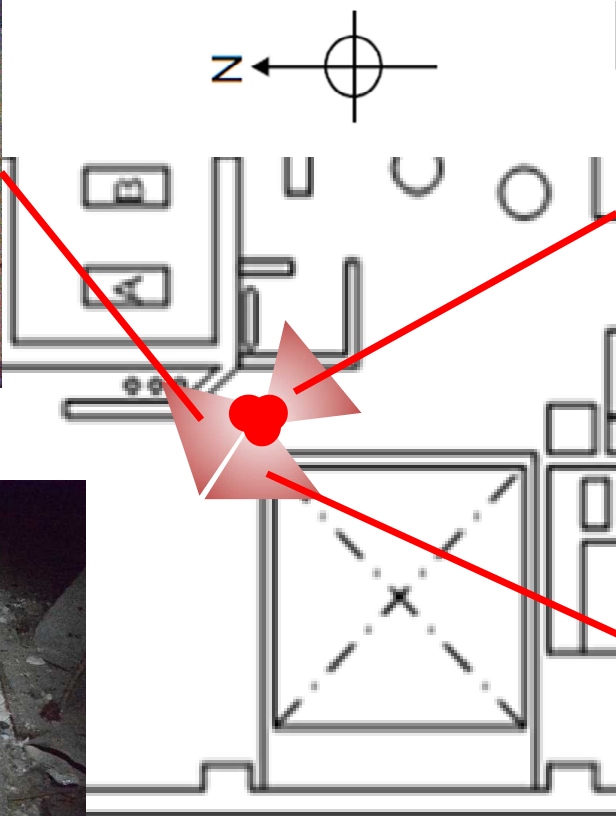


図面は、東京電力福島第一原子力発電所における事故の分析に係る検討会第10回会合資料3より抜粋、一部加工

写真は、令和2年8月7日原子力規制庁撮影



4号機原子炉建屋3階の状況(南西側ハッチ付近)

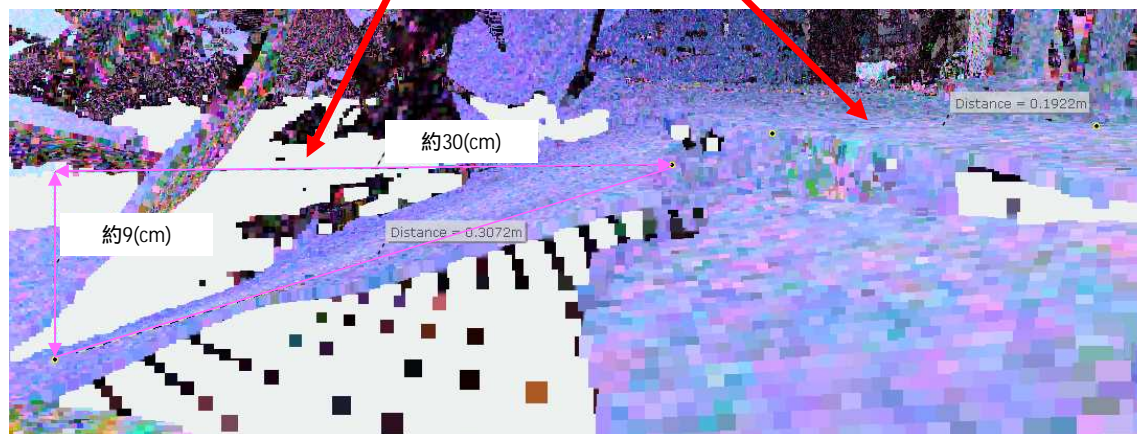
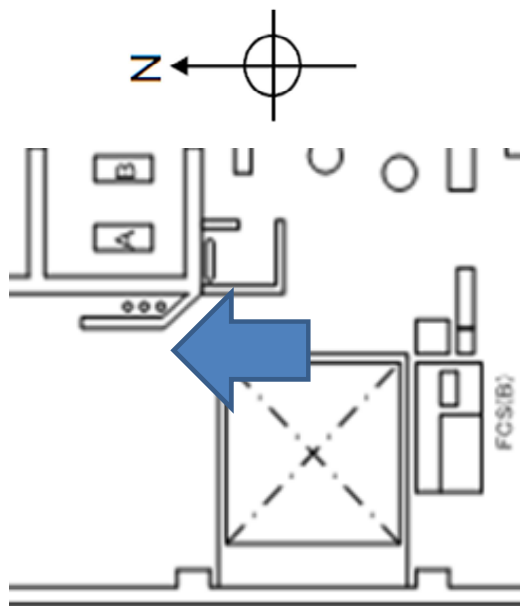


図面は、東京電力福島第一原子力発電所における事故の分析に係る検討会第10回会合資料3より抜粋、一部加工

写真は、令和2年8月6日、7日原子力規制庁撮影

梁

4号機原子炉建屋3階の状況(南西側ハッチ付近)



令和2年8月6日原子力規制庁にてデータ取得

(4) 4号機原子炉建屋4階の現地調査について

実施概要

(1) 調査日

令和2年7月2日、8月7日

(2) 調査実施者

令和2年7月2日 原子力規制庁職員 8名、外部専門家 1名

令和2年8月7日 原子力規制庁職員 7名、外部専門家 1名、東京電力職員 2名

(3) 被ばく線量

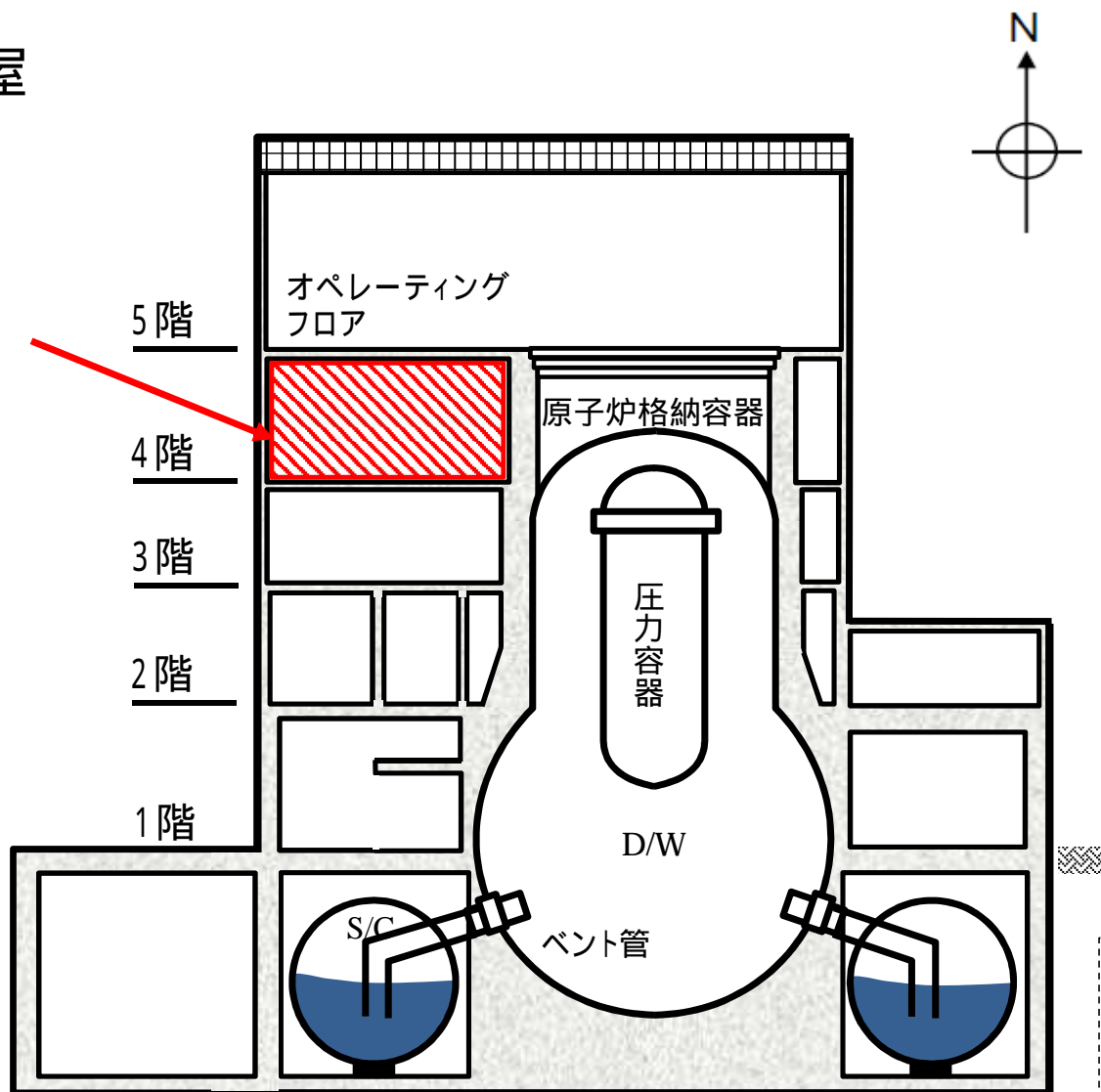
令和2年7月2日 最大:0.08mSv、最小:0.06mSv

令和2年8月7日 最大:0.04mSv、最小:0.03mSv

被ばく線量[mSv]の最大、最小は、調査実施者のうち、最も被ばく線量の高い人の値と低い人の値を1日の合計値(同日に複数の調査を実施した場合は、他の調査による被ばく線量との合算値)として示した。

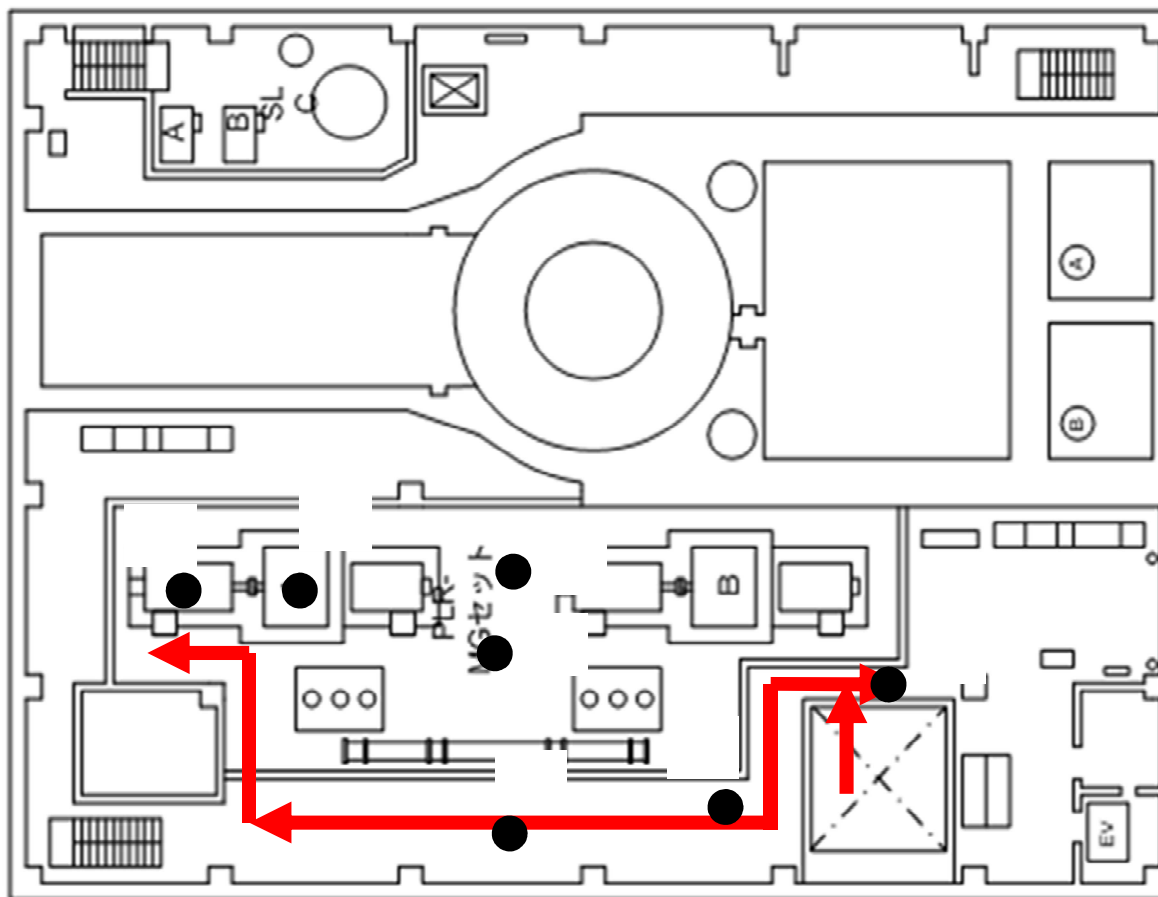
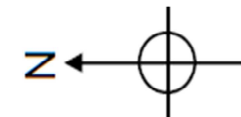
4号機原子炉建屋 (東西断面)

現地調査箇所



東京電力「福島第一原子力発電所
原子炉設置変更許可申請書」
(平成15年6月現在)を基に作成

4号機原子炉建屋4階(平面図)

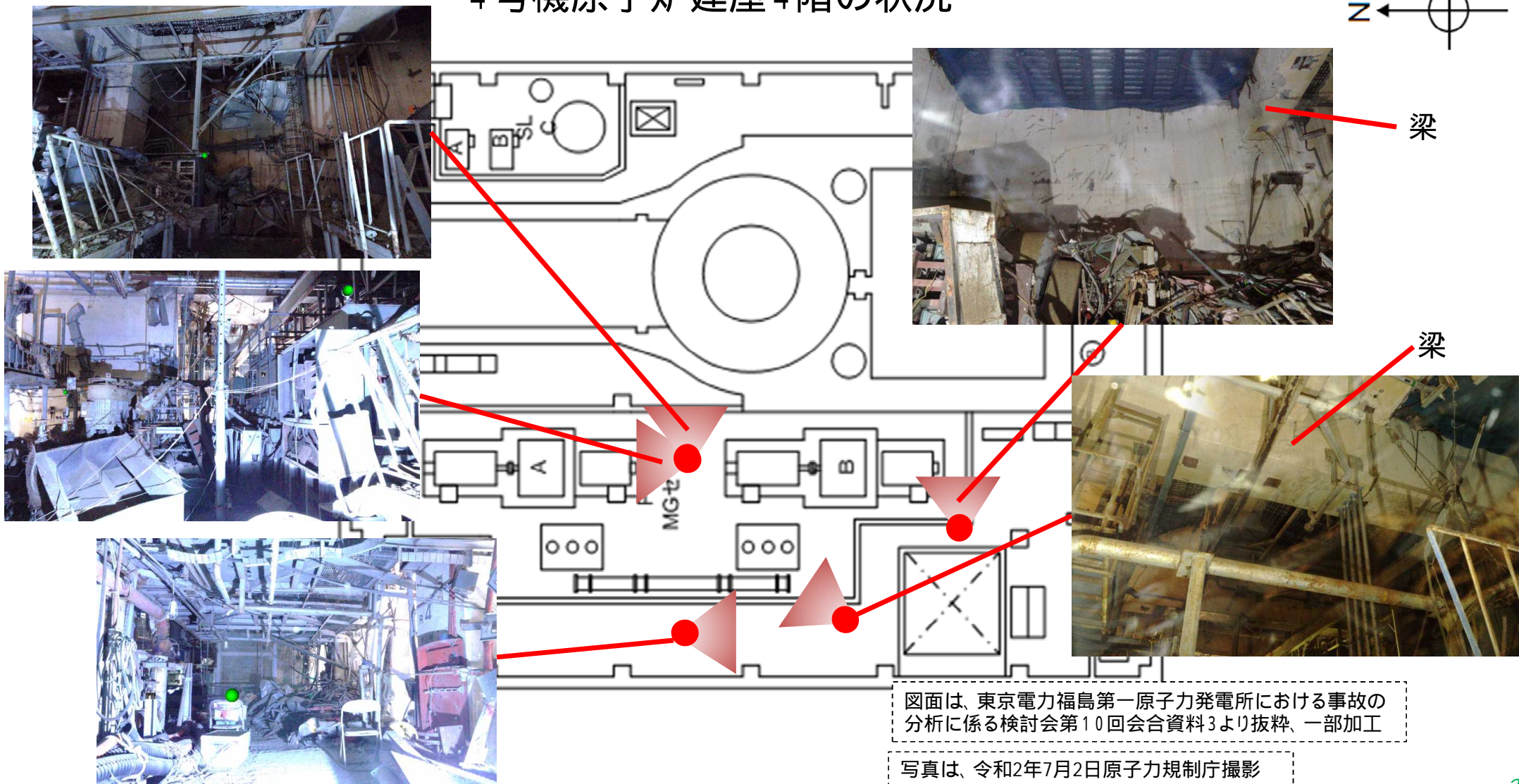
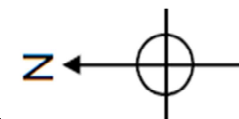


— 現地調査ルート
(令和2年7月2日、8月7日)

● : スキャナ設置位置

東京電力福島第一原子力発電所における事故の分析に係る検討会第10回会合資料3より抜粋、一部加工

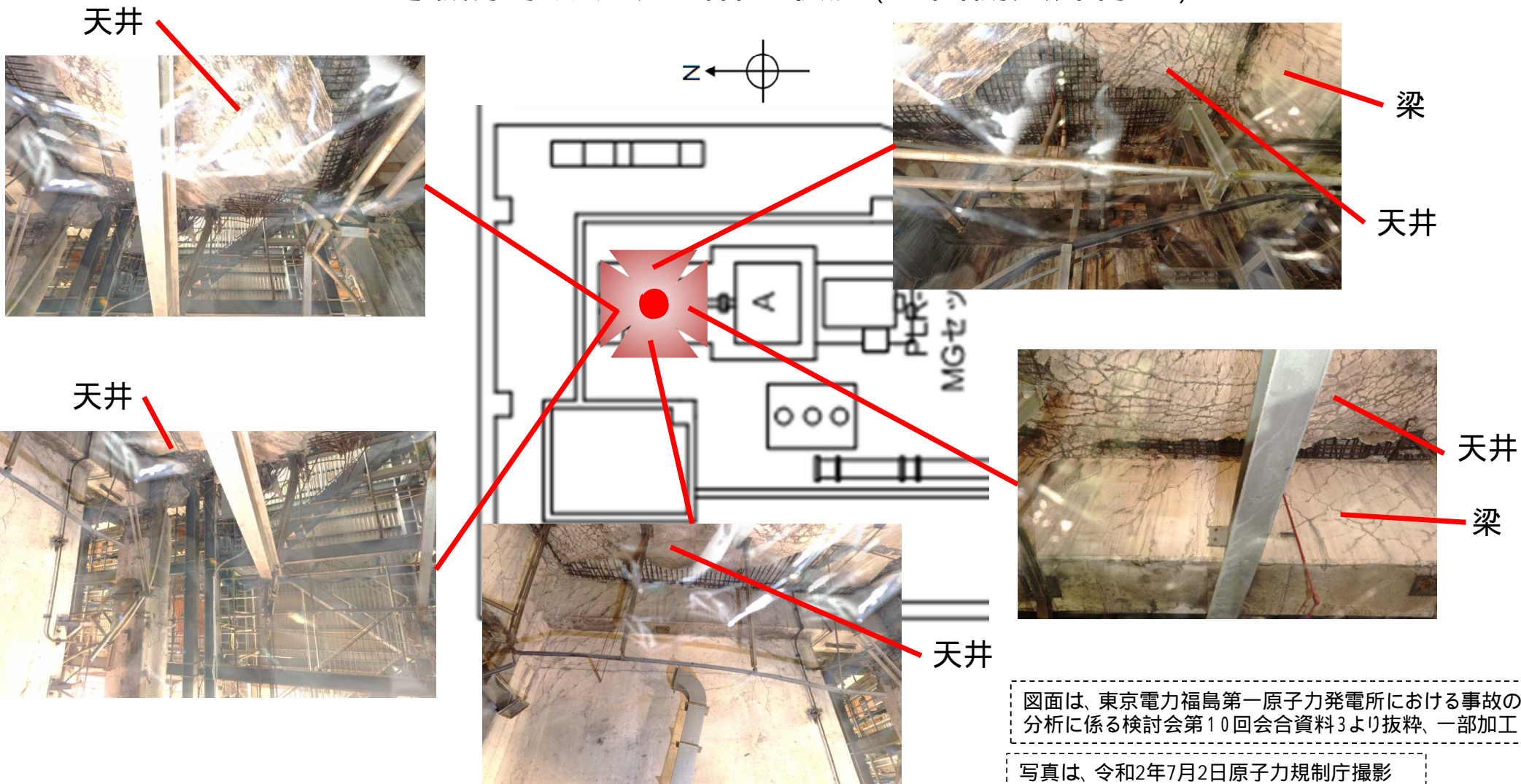
4号機原子炉建屋4階の状況



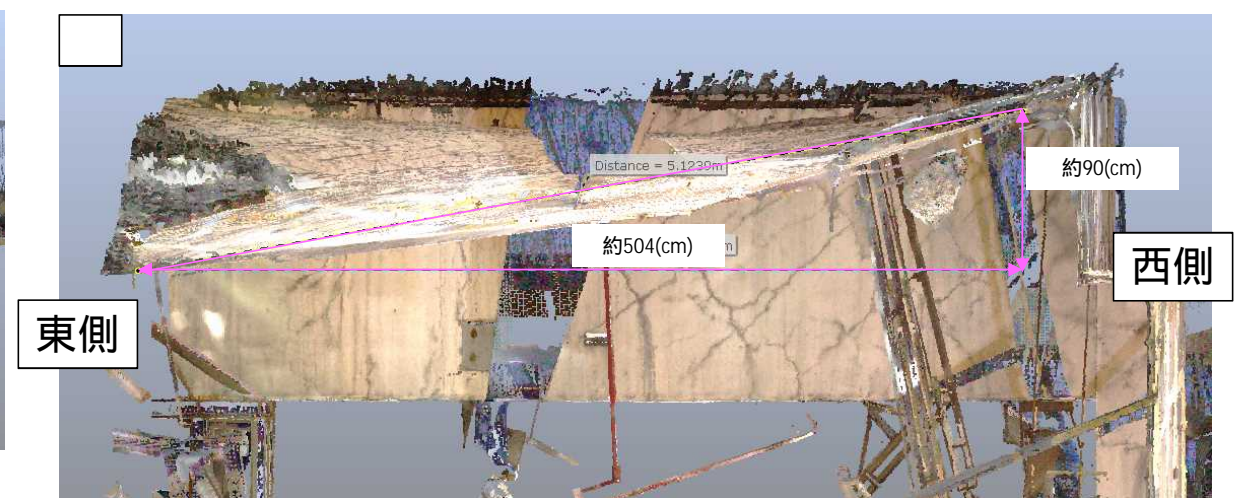
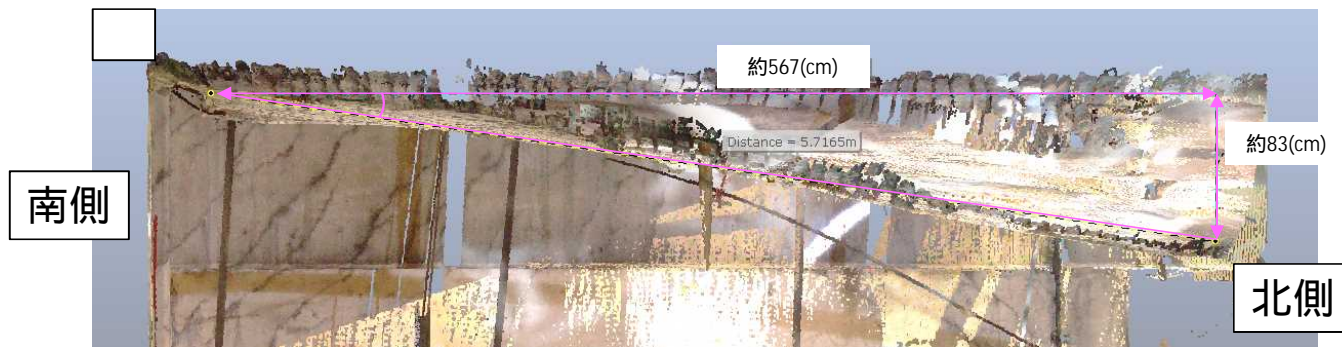
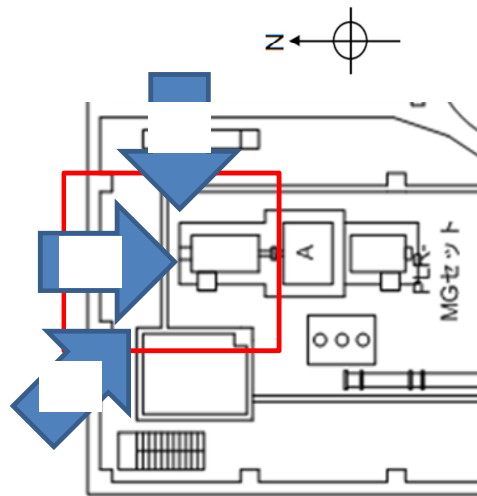
図面は、東京電力福島第一原子力発電所における事故の分析に係る検討会第10回会合資料3より抜粋、一部加工

写真は、令和2年7月2日原子力規制庁撮影

4号機原子炉建屋4階の状況(北西側天井付近)

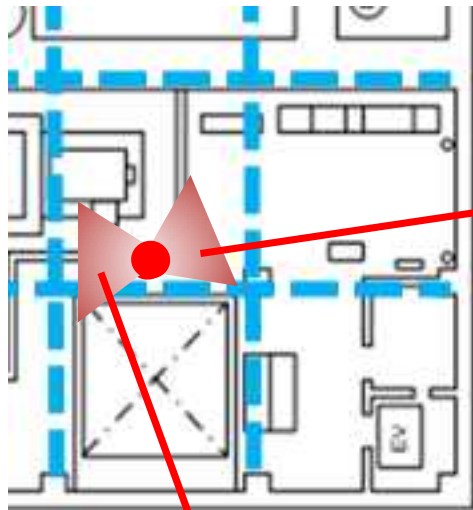
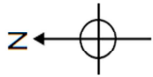


4号機原子炉建屋4階の状況(北西側天井)

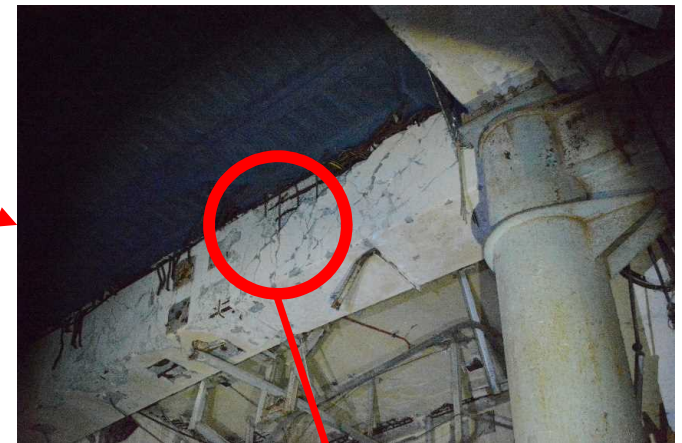


令和2年7月2日原子力規制庁にてデータ取得

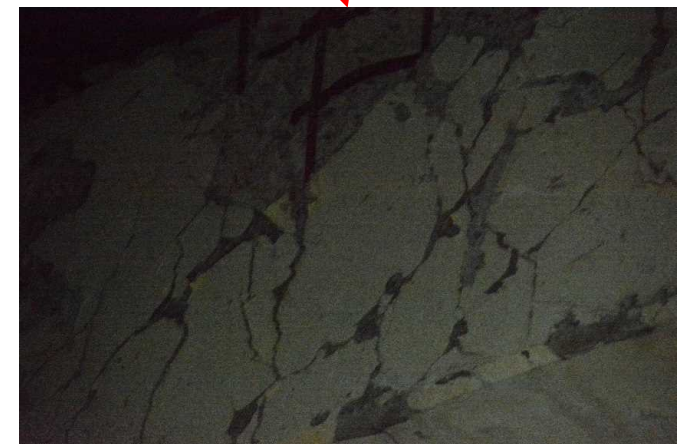
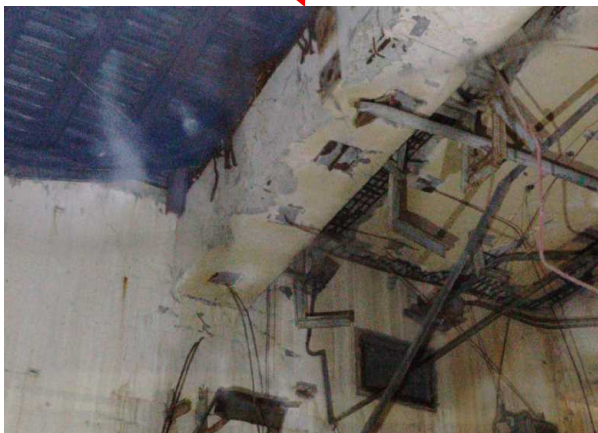
4号機原子炉建屋4階の状況(南西側の梁)



梁

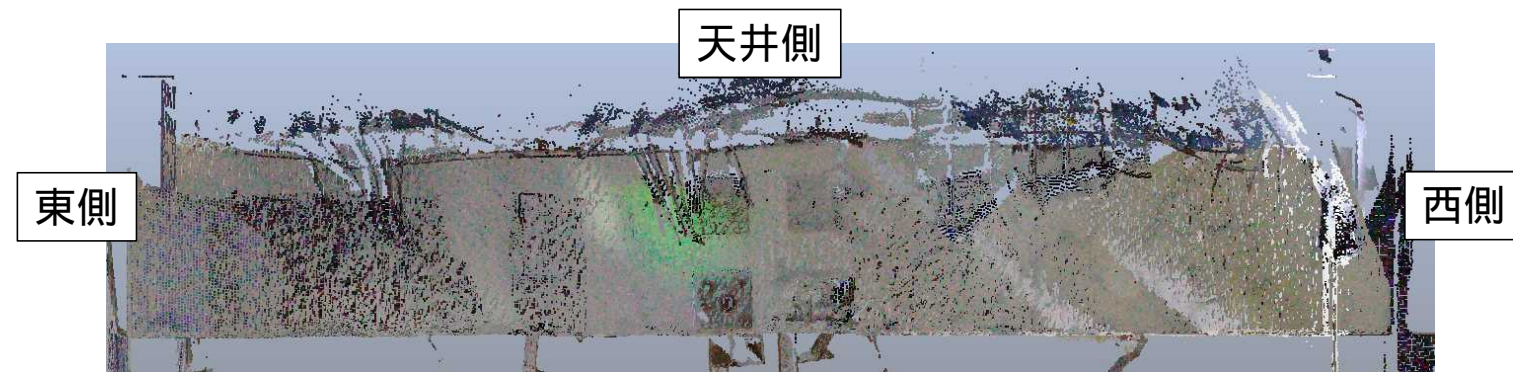
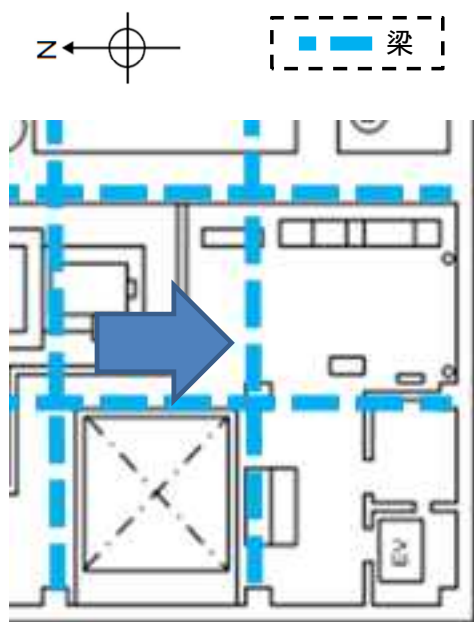


梁

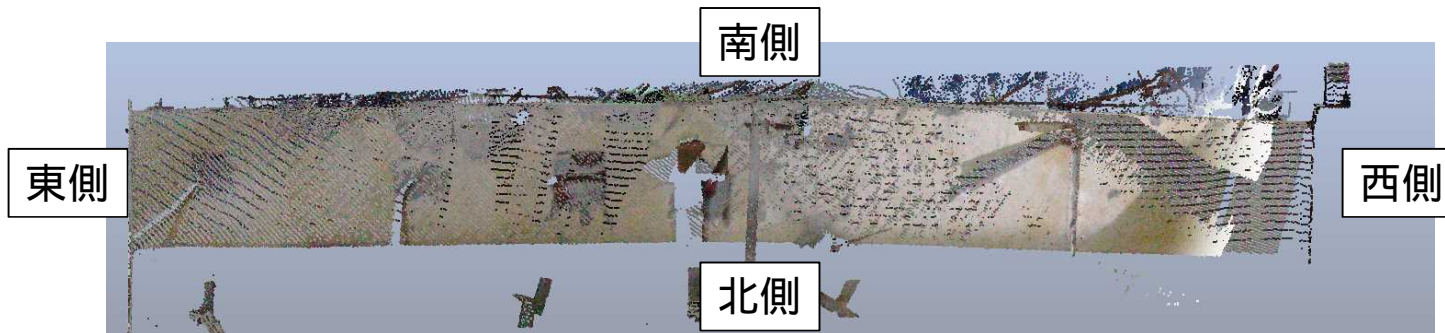


令和2年7月2日、8月7日原子力規制庁撮影

4号機原子炉建屋4階の状況(南西側の梁)



横から見た状況



下から見た状況

令和2年7月2日原子力規制庁にてデータ取得

(5) 1 / 2号機SGTS配管(排気筒基部付近)の
現地調査について

実施概要

(1) 調査日

令和2年7月3日、9日、10日、30日

(2) 調査実施者

令和2年7月 3日 原子力規制庁職員 4名

令和2年7月 9日、10日 原子力規制庁職員 9名

令和2年7月30日 原子力規制庁職員 5名、外部専門家 1名

(3) 被ばく線量

令和2年7月 3日 最大:0.41mSv、最小:0.28mSv

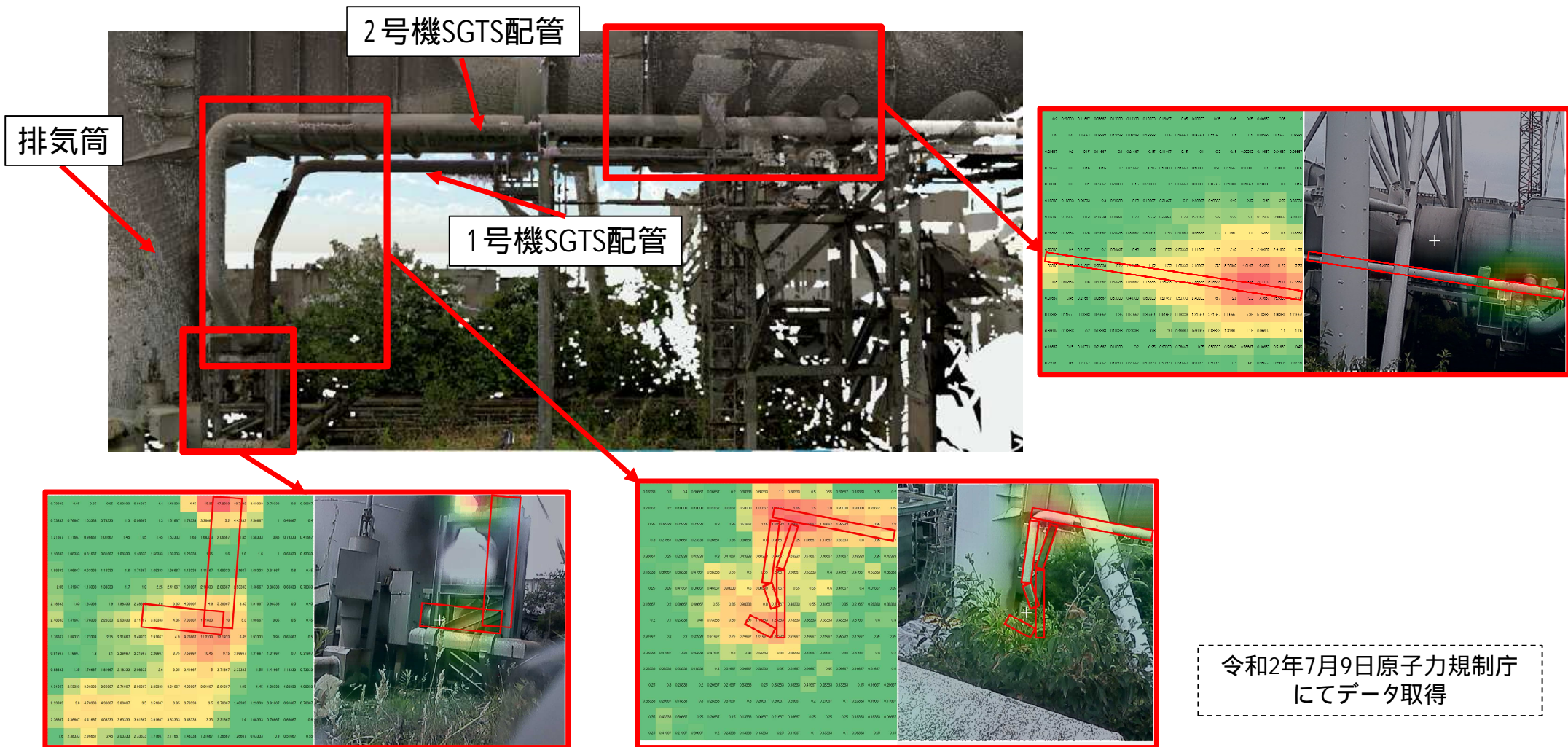
令和2年7月 9日 最大:0.72mSv、最小:0.23mSv

令和2年7月10日 最大:0.29mSv、最小:0.03mSv

令和2年7月30日 最大:1.34mSv、最小:0.53mSv

被ばく線量[mSv]の最大、最小は、調査実施者のうち、最も被ばく線量の高い人の値と低い人の値を1日の合計値(同日に複数の調査を実施した場合は、他の調査による被ばく線量との合算値)として示した。

ガンマカメラによる測定状況



(6) その他の現地調査について

実施概要

(1) 調査日

令和2年7月31日

(2) 調査実施者

原子力規制庁職員 4名

(3) 調査箇所

5号機原子炉建屋4階(原子炉ウェルプラグ脇の配管)

6号機原子炉建屋外側(SGTS配管モニター)

5号機原子炉建屋4階(原子炉ウェルプラグ脇の配管)



6号機原子炉建屋外側(SGTS配管モニター)



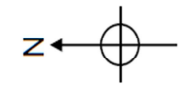
令和2年7月31日
原子力規制庁撮影

参考資料等

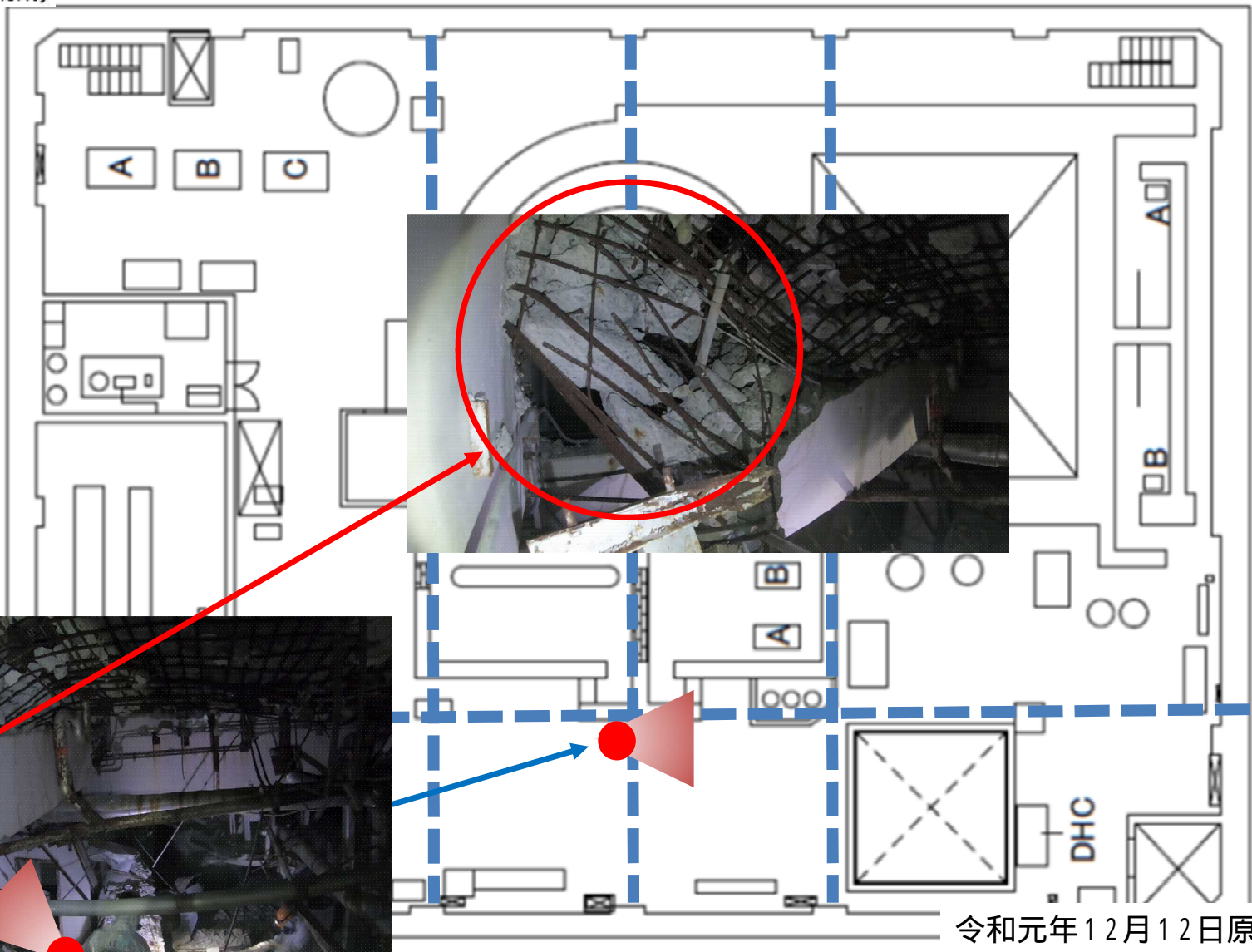
原子炉建屋の構造等

- 3号機原子炉建屋3階はり損傷に関する設計情報等
(3階柱、大はり、小はり、床、外壁の配筋設計等)
- 4号機原子炉建屋2階はり損傷に関する設計情報等
(2, 3階柱、大はり、小はり、床、外壁の配筋設計等)
- 1, 3, 4号機原子炉建屋外壁の壁厚等

- 3号機原子炉建屋3階はり損傷に関する設計情報等
(3階柱、大はり、小はり、床、外壁の配筋設計等)



3号機原子炉
建屋 3階



— 梁

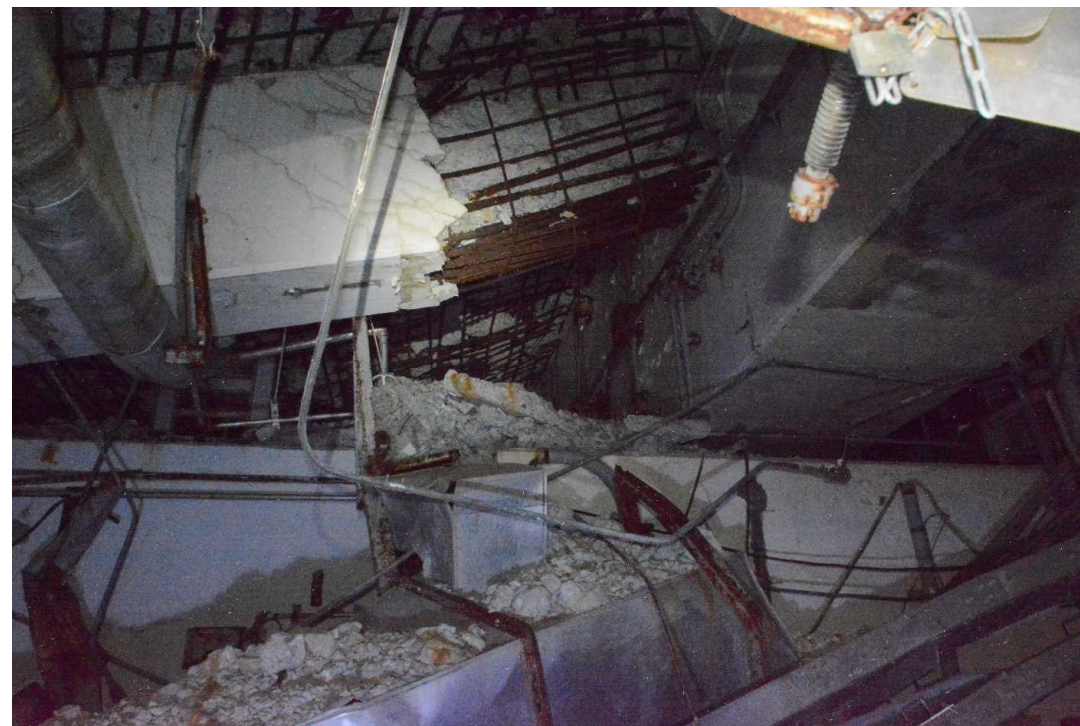
12/26の検討会において撮影箇所を修正しました。

令和元年12月12日原子力規制庁撮影

3号機原子炉建屋 3階



令和元年12月12日原子力規制庁撮影



令和元年12月12日原子力規制庁撮影

○ 3、4号機原子炉建屋の設計用応力の比較

	3号機		4号機	
建屋外壁	5階 柱(外壁) (120cm × 120cm[東西壁]、100cm × 100cm[南北壁]) 設計用応力(モーメント)	591.7 t・m[東西壁] 204.0 t・m[南北壁]	5階 柱(外壁) (120cm × 120cm[東西壁]、100cm × 100cm[南北壁]) 設計用応力(モーメント)	628.8 t・m[東西壁] 15.6 t・m[南北壁]
	4階 柱(外壁) (100cm × 120cm[東西壁]、100cm × 100cm[南北壁]) 設計用応力(モーメント)	235.3 t・m[東西壁] 124.5 t・m[南北壁]	4階 柱(外壁) (120cm × 120cm[東西壁]、100cm × 100cm[南北壁]) 設計用応力(モーメント)	304.2 t・m[東西壁] 69.7 t・m[南北壁]
建屋内	3階 柱 (110cm × 110cm) 設計用応力(軸力)	421.5 t	3階 柱 (110cm × 110cm) 設計用応力(軸力)	255.8 t
			2階 柱 (120cm × 120cm) 設計用応力(軸力)	435.5 t
	4階 大はり (95cm × 220cm) 設計用応力(剪断力)	165.1 t(E端)	3階 大はり (95cm × 220cm) 設計用応力(剪断力)	190.4 t(E端)
	4階 小はり (60cm × 105cm) 設計用応力(剪断力)	32.1 t	3階 小はり (60cm × 120cm) 設計用応力(剪断力)	34.8 t
4階 床 (厚さ 25cm、30cm) 設計用応力(剪断力)	7.2 t/m(25cm厚) 11.1 t/m(30cm厚)	3階 床 (厚さ 25cm) 設計用応力(剪断力)	5.48 t/m(25cm厚)	

赤字部 原子力規制庁の現地調査において損傷を確認。

1.3 使用材料の許容応力度

表1-1 コンクリートおよび鉄筋の許容応力度 (kg/cm²)

	長期			短期		
	圧縮	引張	せん断	圧縮	引張	せん断
コンクリート①	7.5	7.5	7.5	15.0	15	15
鉄筋②	2,000	2,000	-	8,800 8,000*	8,800	-

*せん断補強設計用

表1-2 付着許容応力度 (kg/cm²)

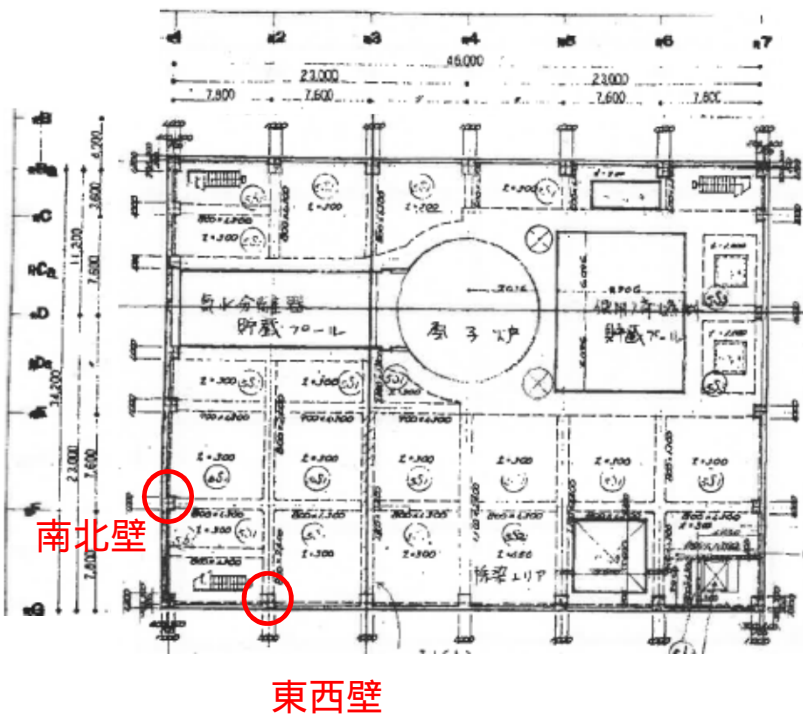
	長期			短期		
	曲げ材 一般	曲げ材 上端筋	定着 手	曲げ材 一般	曲げ材 上端筋	定着 手
典型鉄筋③	28.5	15.75	15.75	45.0	81.5	81.5

表2-1 柱の軸方向力表

柱	*1 階	クレーン	単位 (t)		柱の軸方向力	
			DL+(SL)+FL +PL+0.2LL	DL+(SL)+EL +PL+0.75LL	最小	最大
R2 - RF	5		2410	3498	2410	3498
	4		1522	1852	3932	5350
	3		1630	1950	5562	7300
	2		1689	1998	7251	9298
R3 - RE	5		229.2	327.2	229.2	327.2
	4		192.3	232.3	421.5	559.5
	3		258.7	318.3	680.2	877.8

原子力規制庁において、東京電力ホールディングス株式会社の工事計画認可申請書添付資料(原子炉建家の強度計算書)を一部加工

○ 柱(外壁)の設計



3号機原子炉建屋5階

原子力規制庁において、東京電力ホールディングス株式会社の工事計画認可申請書添付資料(原子炉建家の強度計算書)を一部加工

5階柱(外壁)
断面形
120cm × 120cm (東西壁)
100cm × 100cm (南北壁)

配筋
48-D38 (東西壁)
24-D38 (南北壁)

設計用応力
モーメント(t・m)
591.7 t・m(東西壁 外向き)
204.0 t・m(南北壁)

表5.7 柱の設計用応力及断面算定

	位置 ()内は本数	断面形状 b × D (mm) b × D b × D ²	設計用応力		N bD Kg/cm ²	M bD ² Kg/cm ²	必要鉄筋量		設計	配置図
			軸力(t) N又はfc・bD	モーメント(t・m) M			Pt (%)	at (cm ²)		
5階	RG.RBa 通り (10)	12 × 12 1.44 1.73	下向き 202 × 1.44	外向き 591.7	20.2	34.2	1.50	216.0	20-D38 (228 cm ²)	
39,92	R1.R7 通り (9)	10 × 10 1.0 1.0	137.5 × 1.0	204.0	13.8	20.4	0.56	56.0	8-D38 (91.0 cm ²)	

○ 柱(外壁)の設計

4階柱(外壁)

断面形

100cm × 120cm (東西壁)

100cm × 100cm (南北壁)

配筋

32-D38 (東西壁)

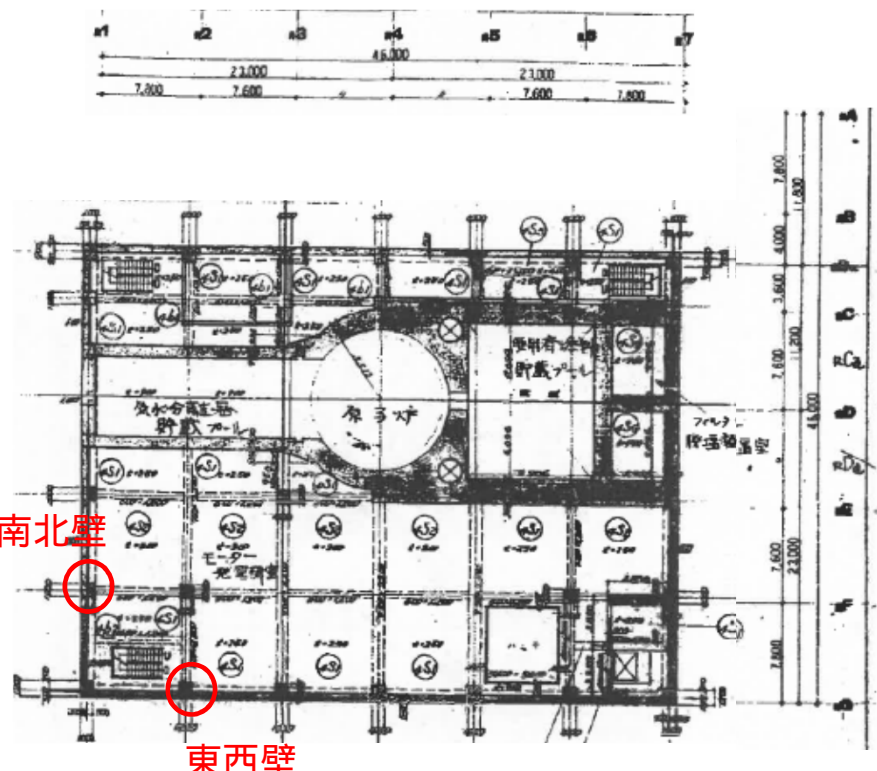
24-D38 (南北壁)

設計用応力

モーメント(t·m)

235.3 t·m(東西壁)

124.5 t·m(南北壁)



3号機原子炉建屋4階

原子力規制庁において、東京電力ホールディングス株式会社の工事計画認可申請書添付資料(原子炉建家の強度計算書)を一部加工

表5.7 柱の設計用応力&断面算定

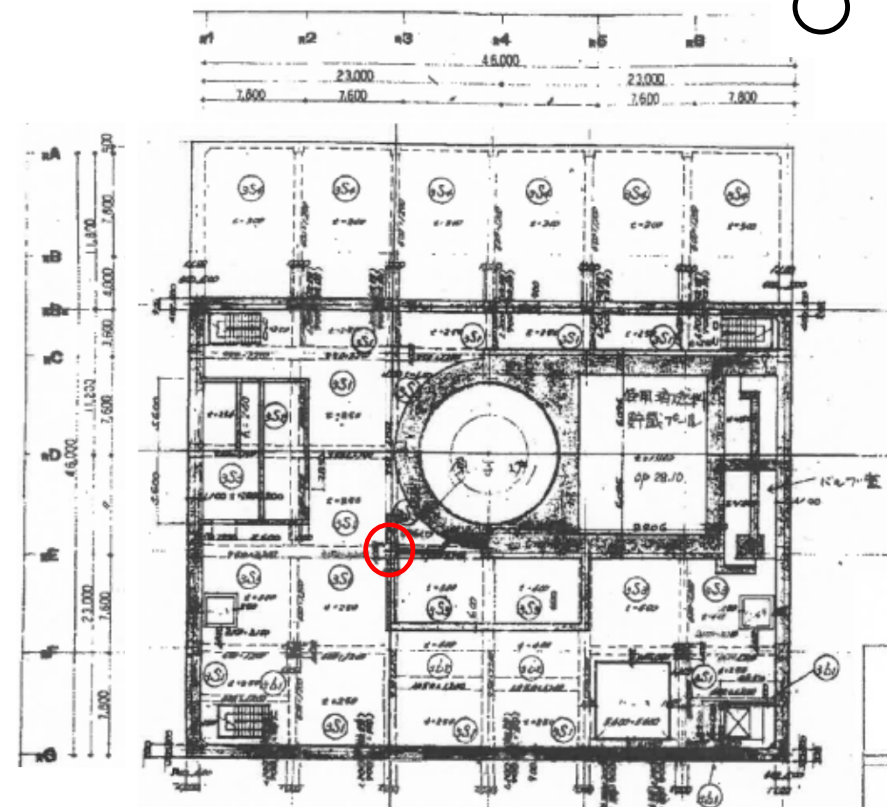
	位置 ()内は本数	断面形状 b × D (m) b × D b × D ²	設計用応力		N bD Kg/cm ²	M bD ² Kg/cm ²	必要鉄筋量		設計	配置図
			軸力 (t) N又はfc · bD	モーメント (t·m) M			Pt (%)	At (cm ²)		
4階	RG, RB ₂ 通り (10)	10 × 12 1.2 1.44	700.0 (長期) 456.6 (短期) 8.5 (配筋)	235.3 (鉛直) 165.7 (水平) 69.6	58.3	11.5	1.1	132.0	12 - D38 (137.0 cm ²)	4 - D29 12 - D38
	RI, R7 通り (9)	10 × 10 1.0 1.0	218.0 × 1.0	124.5 (鉛直) 84.9 (水平) 39.6	21.8	12.45 (0.4)		40.0	8 - D38 (91.0 cm ²)	4 - D29 8 - D38
32,30	RE, R3 通り (1)	10 × 10 1.0 1.0	327.2 (長期) 229.2 (短期) 2.9	東西 { 45.4 (鉛直) 91.2 (水平) } 南北 { 11.9 (鉛直) 35.4 (水平) } 26.5	32.7 (29.2)	9.1 (0.4)		40.0	8 - D38 (91.0 cm ²)	8 - D38

○ 柱の設計

3階柱
断面形
110cm × 110cm

配筋
28-D38
N-S 8-D38
E-W 8-D38

設計用応力
軸力
421.5t (短期)



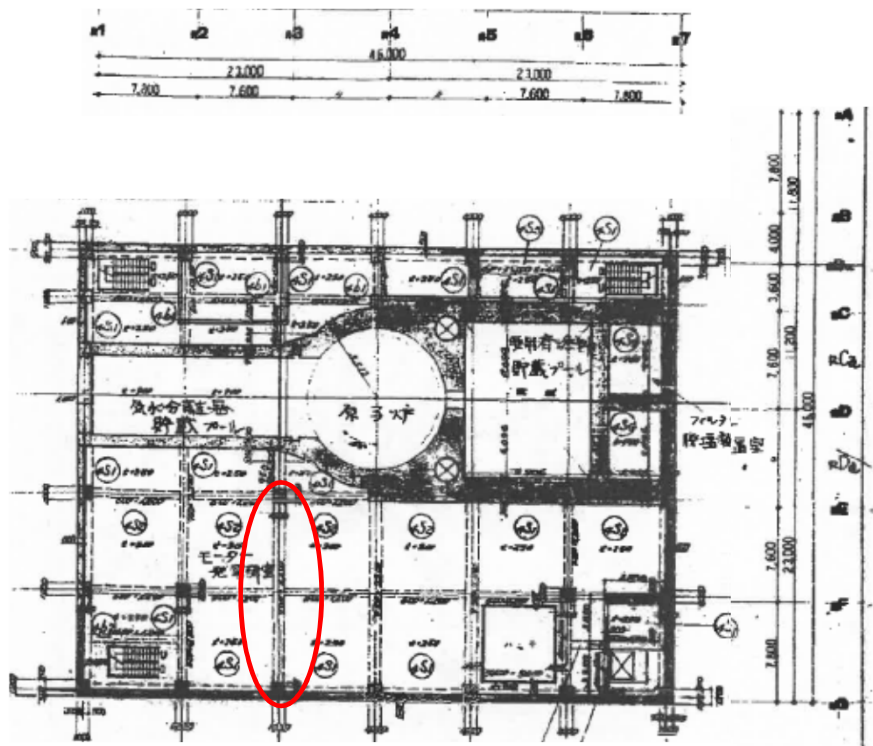
3号機原子炉建屋3階

原子力規制庁において、東京電力ホールディングス株式会社の工事計画認可申請書添付資料(原子炉建家の強度計算書)を一部加工

表5.7 柱の設計用応力及断面算定

	位置 ()内は本数	断面形状 b × D (mm) b × D b × D ^c	設計用応力		N bD Kg/cm ²	M bD ² Kg/cm ³	必要鉄筋量		設計	配置図
			軸力 (t) N又はfc · bD	モーメント (t·m) M			Pt (%)	at (cm ²)		
3階	RE.R3 通り (1)	1.1 × 1.1	559.5 (長期)	東面 142.2 { 74.4 (鉛直) 67.8 (水平)	46.2 (34.8)	10.7 7.9	(0.4)	40.0	8-D38 (91.0 cm ²)	
		1.33	421.5 (短期) 0.5	南面 155.8 { 105.4 (鉛直) 50.4 (水平)						
26.90	RG.RB.a 通り (8)	1.0 × 1.2	778.6 (長期)	上端 98.8 (鉛直) 145.6 { 46.8 (水平)	13.7	6.9	(0.4)	48.0	8-D38 (91.0 cm ²)	
		1.2 1.44		下端 113.0 (鉛直) 163.5 { 50.6 (水平)						

○ 大はりの設計

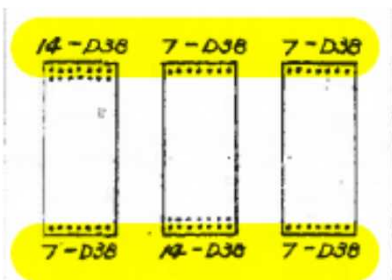


3号機原子炉建屋4階

原子力規制庁において、東京電力ホールディングス株式会社の工事計画認可申請書添付資料(原子炉建家の強度計算書)を一部加工

4階大はり
断面形
95cm × 220cm

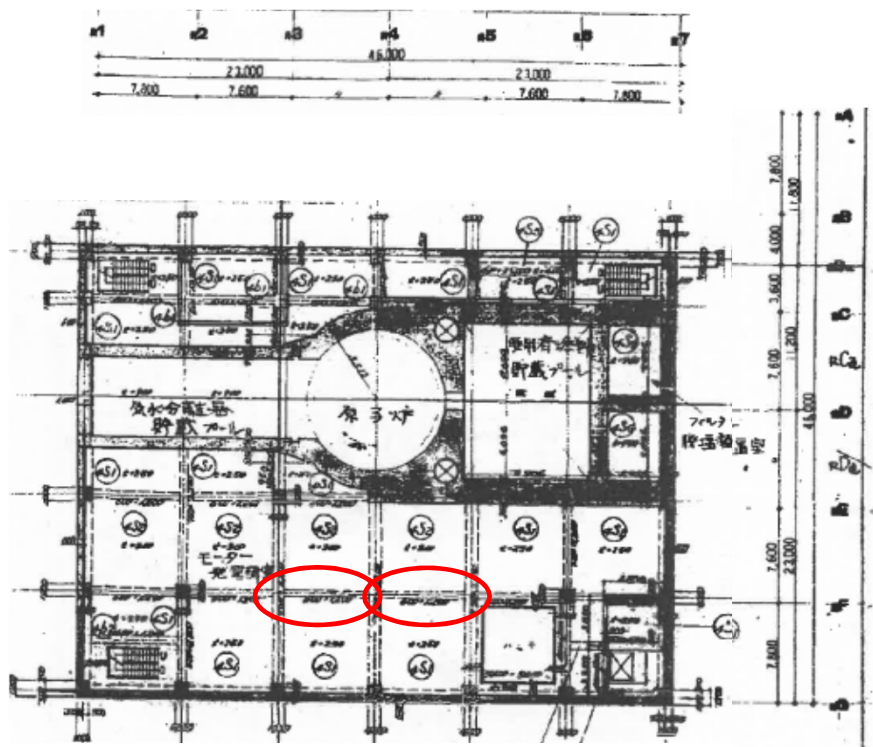
配筋
 上端筋 7-D38(G端)
 7-D38(中央)
 14-D38(E端)
 下端筋 7-D38(G端)
 14-D38(中央)
 7-D38(E端)



設計用応力
 剪断力
149.7 t(G端)
165.1 t(E端)

設計		OP 32.30		
架符号		R3 E ~ G		
		E端	中央	G端
断面形	b × D	95 × 220		
	d	203		
	J	178		
(G端)	$\frac{bd^2}{10^6}$	39.1		
曲げモーメント	MP	373.2	394.2	226.4
	ME	69.1		111.3
(G端)	MT	442.3		337.7
剪断力	QP	153.5		138.1
	QE	11.6		11.6
(G端)	QT	165.1		149.7
	MP / bd^2	9.5		5.8
	MT / bd^2	11.3		8.6
	P _{top} (r)	0.52		0.3 (0.4)
	P _{top} (r)	0.39		0.27
所鉄量	φ	100.0	110.7	77.2
	ψ	54.8		49.3
実鉄量	φ	14-D38	14-D38	7-D38
	ψ	160.0	160.0	79.8
補強の検討	φ	168.0	168.0	84.0
	ψ	9.1		8.2
鉄筋	φ	9.2		8.9
	ψ	153.5 P		138.1 P
鉄筋	φ	18.0		4.8
	ψ	4-D16@300		4-D16@300
鉄筋	φ	26.4		26.4
	ψ			
配筋	φ	14-D38	7-D38	7-D38
	ψ	7-D38	14-D38	7-D38

○ 小はりの設計



3号機原子炉建屋4階

原子力規制庁において、東京電力ホールディングス株式会社の工事計画認可申請書添付資料(原子炉建家の強度計算書)を一部加工

4階小はり
断面形
60cm × 105cm

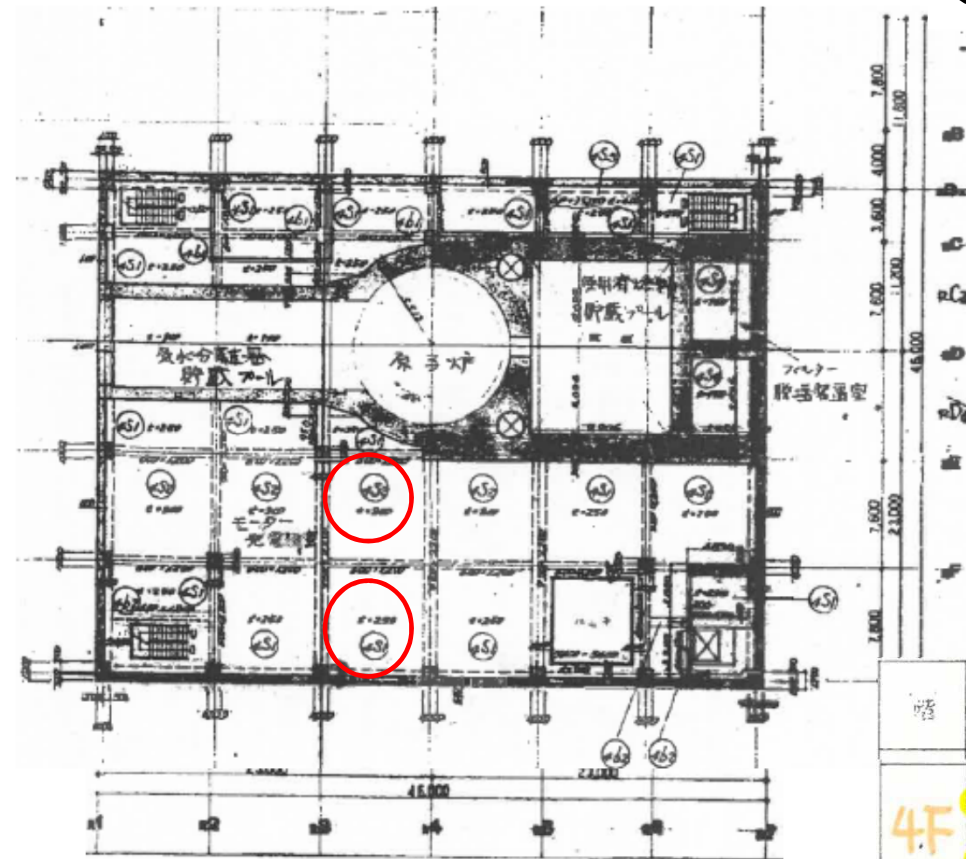
配筋
 上端筋 6-D29 (端部)
 5-D29 (中央部)
 下端筋 5-D29 (端部)
 5-D29 (中央部)

設計用応力
 剪断力
32.1 t (端部)

表 6.3 小はり b の応力算定と断面算定表

階	小名 架称	荷重状態 (書き込みなきは t/m)	スパン (m)	応力			設計用応力			断面積 (cm)			区 別	断面算定			配筋		備考
				C (t·m)	M ₀ (t·m)	Q (t)	曲げモーメント (t·m) 上端 下端	せん断 力 (t)	b	d	j	鉄筋断面 積 (cm ²)		間隔 (cm)	せん断 応力 度 (t/cm ²)	上	下		
4	b ₁		7.8	43.1	67.3	28.9	34.5	50.1	28.9	60	105	92	端部	188			5-D29	5-D29	
				中央	274	200	5.2	5-D29	6-D29										
4	b ₂		7.6	42.7	78.7	32.1	55.8	38.6	32.1	60	105	92	端部	30.3	22.2	5.8	6-D29	5-D29	
				中央	21.0			5-D29	5-D29										

○ 床の設計



4階床
 厚さ(t) 25cm、30cm
 短辺 760cm、760cm
 長辺 780cm、780cm

配筋
 短辺方向 D19@150、D-19@100
 長辺方向 D19@150、D-19@100

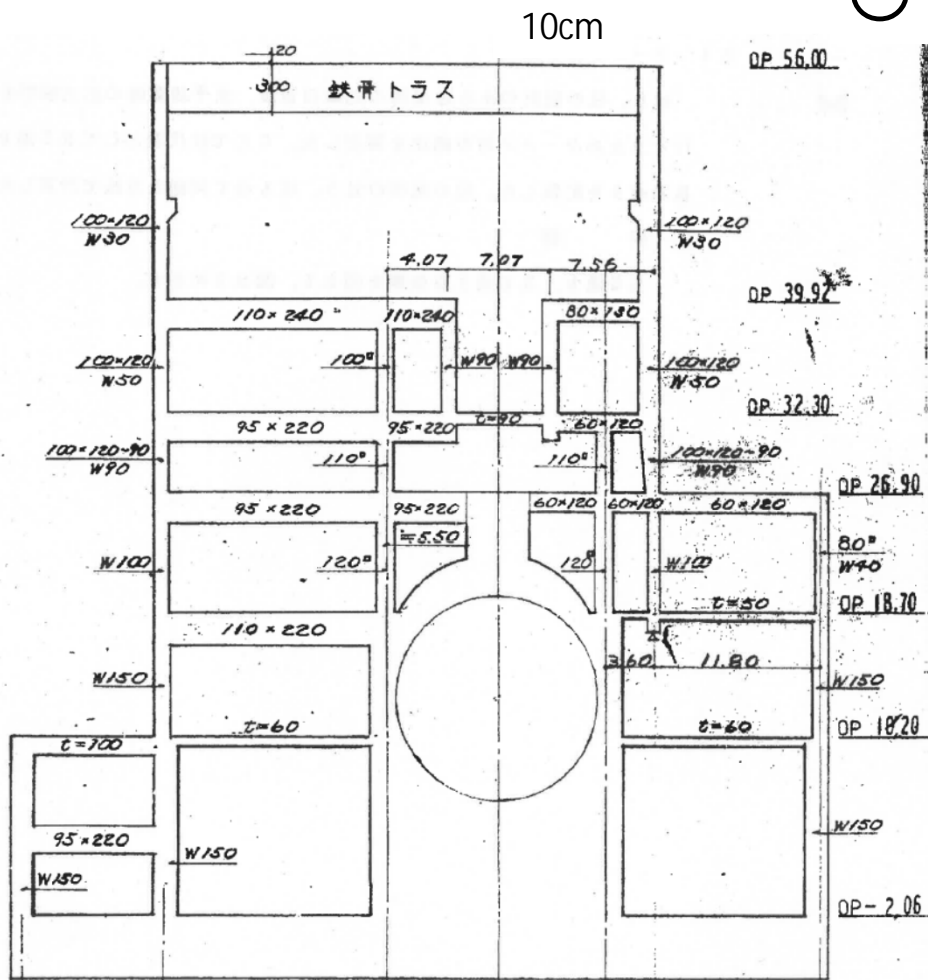
設計用応力
 剪断力
7.2 t/m (25cm厚)
11.1 t/m (30cm厚)

3号機原子炉建屋4階

原子力規制庁において、東京電力ホールディングス株式会社の工事計画認可申請書添付資料(原子炉建家の強度計算書)を一部加工

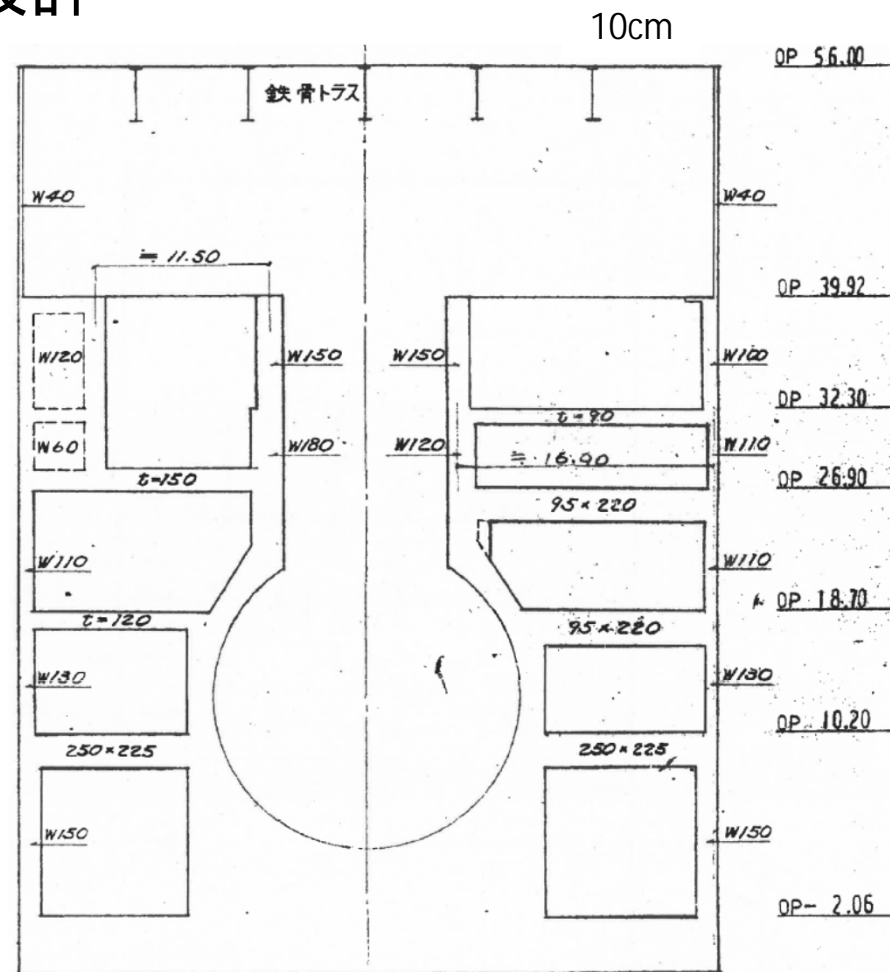
階	名棟	短辺×長辺 $lx \cdot ly$ (cm)	床厚 (cm)	分布荷重 (t/m^2)				集中荷重 (t)	短辺比 ly/lx	曲げモーメント($t\cdot m$)		せん断力 (t)	有効 深さ d (cm)	J (cm^4)	戸建鉄筋量		配筋 全上端筋・下端筋
				DL	EL+PL	LL	ST			端部	中央部				端部	中央部	
4F OP 32 30	4S1	7.6 × 7.8	25	0.6	0.5	1.0	2.1	1.03	5.4	3.6	7.2	20	17.5	15.5	9.4	18.9	短辺・長辺方向共に D19-@150 $af=19.4 cm^2/m$ $af=40 cm^2/m$
	4S2	7.6 × 7.8	30	0.78	(1.1) 0.5	1.0	3.92	1.03	8.7	5.4	11.1	25	21.9	18.5	11.2	22.5	2方向共に D19-@100
	4S3	3.6 × 7.6	40	0.96	(1.6) 0.5	1.0	4.06	2.1	4.2	2.8	7.6	35	30.6	4.2	2.9	11.0	2方向共に D19-@150
	4S4	単柱支持版 4.0	75	1.8	0.5	1.0	3.3	-	-	6.6	6.6	70	61	-	5.4	4.8	2方向共に D19-@200

○ 外壁の設計



3号機原子炉建屋
東西方向 (R3断面)

原子力規制庁において、東京電力ホールディングス株式会社の工事計画認可申請書添付資料(原子炉建家の強度計算書)を一部加工



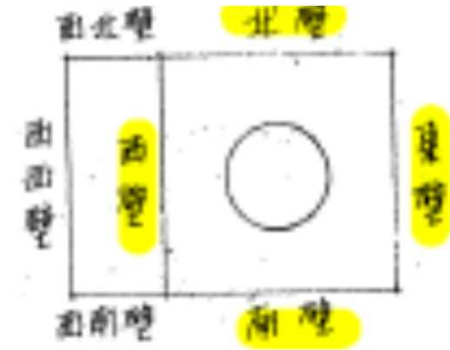
3号機原子炉建屋
南北方向 (RD断面)

- 5階
- 4階
- 3階
- 2階
- 1階

○ 外壁の設計

表 5.1.1 外壁の配筋計算表 (1)

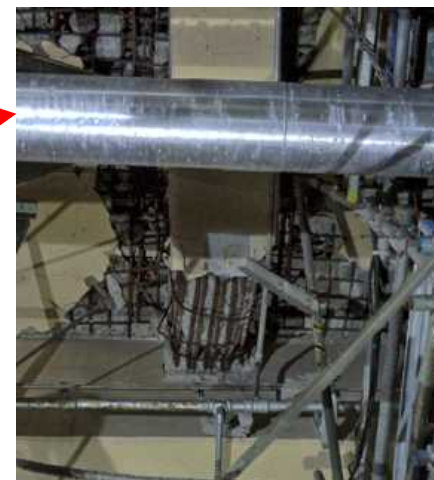
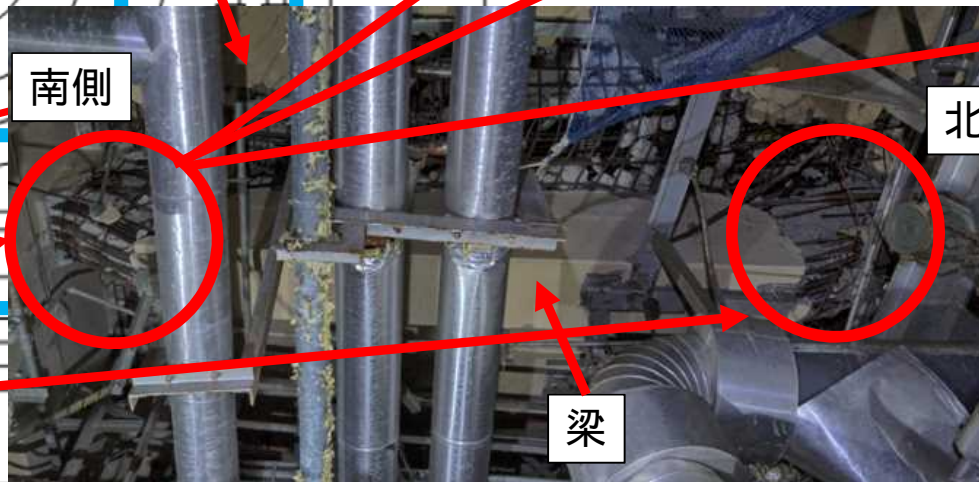
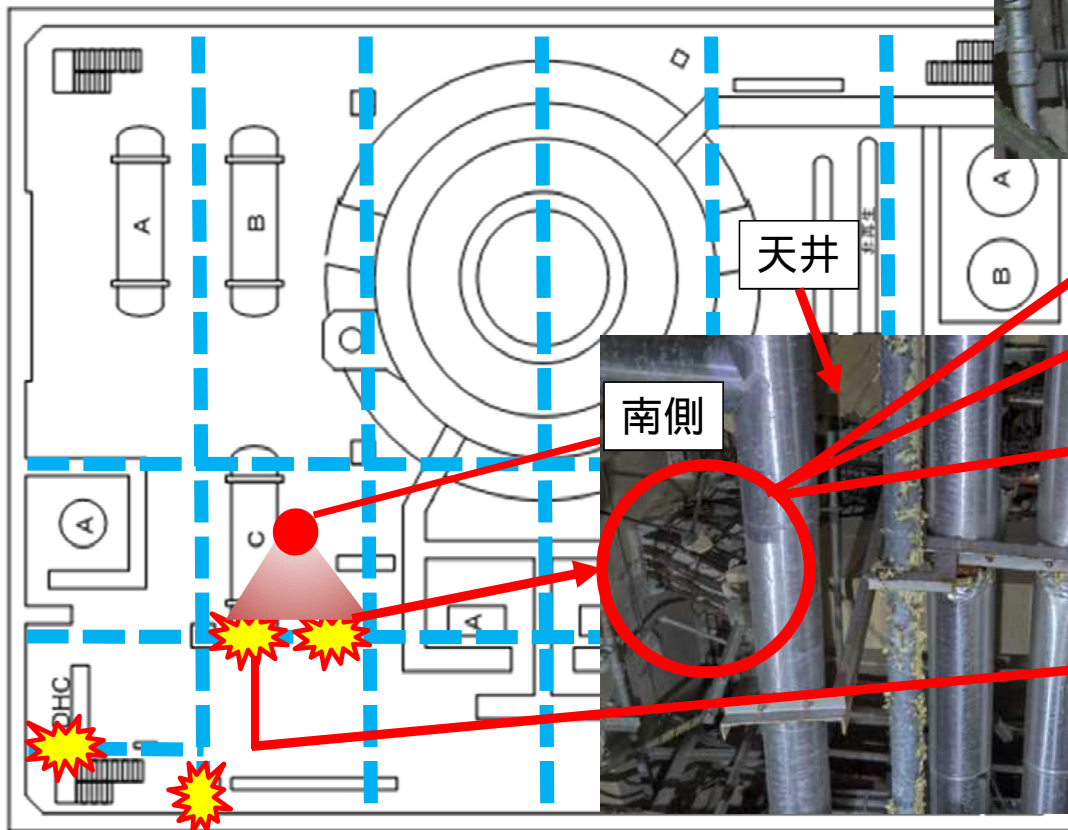
階	壁位置	せん断応力度 Kg/cm ²	(1)せん断補強筋		(2)転倒モーメントに対する検討					説明			
			$A_s = \frac{1}{2} \cdot \frac{V}{f_t \cdot b}$ (cm ² /m)	配筋 両面縦横共 (cm ² /m)	転倒モーメント M (t・m)	鉛直震度 (0.24)の 向き	軸力 P (t)	偏心距離 e (m)	コンクリートの 最大圧縮 応力度 (Kg/cm ²) *1		鉄筋の 最大引張り 応力度 (Kg/cm ²) *2		
5階	OP3992	東	13.7	6.85	D16, @ 200 (A _s =9.93)	上向き 53490 68590	上向き	2790	19.2	14.7	2820	せん断応力設計(算例) 東西で $\frac{Q}{A} = \frac{3804}{27.70} = 137 \text{ t/m}^2$ 南北で $\frac{4202}{27.70} = 152 \text{ t/m}^2$ 内圧による曲げモーメント (0.18 t/m ²) $M = w \cdot l^2 / 10 = 0.45 \text{ t/m} \cdot \text{m}$ A _s = 9.93 鉄筋の中心 $f_s = \frac{0.45}{9.93 \times 1.22} = 37.1 < 3300 \text{ Kg/cm}^2$ よって内圧による応力には安全である。 *偏心によるモーメント(上・下方向) 地震による転倒モーメントに建築 偏心による偏心モーメントを相加する。 以下同様とする。	
		西	13.7			下向き 78,051	下向き	4540	11.8	20.2	-		
	5階	北	15.2	10.15	D19 @ 200 (A _s =14.25)	上向き 48,290	上向き	2790	17.3	10.1	225		
		南	15.2			下向き	4540	10.6	13.75	-			
4階	OP3230	東	18.4	4.53	D22 @ 200 (A _s =19.4)	上向き 121,350 156,850	上向き	6840	17.7	20.5	2633	*偏心によるモーメント(上・下方向) 地震による転倒モーメントに建築 偏心による偏心モーメントを相加する。 以下同様とする。	
		西	18.4			下向き 179,218	下向き	11,150	10.9	30.1	-		
	4階	北	19.3	19.3	D25 @ 200 (A _s =25.35)	上向き 111,650 115,620	上向き	6840	16.9	15.3	280		
		南	19.3			下向き 118,117	下向き	11,150	10.6	21.8	-		
3階	OP2690	東	16.7	2.52	D25 @ 200 (A _s =25.35)	上向き 201,100 247,392	上向き	10,694	18.77	22.2	3183	() 内東→西を示す	
		西	16.7			下向き 276,629	下向き	17,443	11.53	26.4	-		
	3階	北	20.5	3.75	D32 @ 200 (A _s =39.60)	上向き 184,590 190,790	上向き	10,691	17.85	14.2	528		
		南	20.5			下向き 194,707	下向き	17,443	11.20	19.5	-		
2階	OP1870	中央壁	東	20.1	13.4	D19 @ 200 (A _s =14.25) D32 @ 200 (A _s =39.60)	上向き 339,100 393,034	上向き	14,940	22.69	16.1 (5.22)	211.0 (67.30)	() 内東→西を示す
			西	19.9			下向き 427,094	下向き	24,375	13.9	27.8 (2.16)	-	
	2階	北	17.2	2.87	D29 @ 200 (A _s =32.05)	上向き 323,940 336,190	上向き	14,940	22.5	18.4	227.4		
		南	17.2			下向き 343,928	下向き	24,375	14.1	20.9	-		



原子力規制庁において、東京電力ホールディングス株式会社の工事計画認可申請書添付資料(原子炉建家の強度計算書)を一部加工

- 4号機原子炉建屋2階はり損傷に関する設計情報等
(2, 3階柱、大はり、小はり、床、外壁の配筋設計等)

4号機原子炉建屋2階梁の損傷状況



4号機R/B 2階

図面は、東京電力福島第一原子力発電所における事故の分析に係る検討会第12回会合資料5 - 1より抜粋、一部加工

写真は、令和2年8月7日原子力規制庁撮影

○ 3、4号機原子炉建屋の設計用応力の比較

	3号機		4号機	
建屋外壁	5階 柱(外壁) (120cm × 120cm[東西壁]、100cm × 100cm[南北壁]) 設計用応力(モーメント)	591.7 t・m[東西壁] 204.0 t・m[南北壁]	5階 柱(外壁) (120cm × 120cm[東西壁]、100cm × 100cm[南北壁]) 設計用応力(モーメント)	628.8 t・m[東西壁] 15.6 t・m[南北壁]
	4階 柱(外壁) (100cm × 120cm[東西壁]、100cm × 100cm[南北壁]) 設計用応力(モーメント)	235.3 t・m[東西壁] 124.5 t・m[南北壁]	4階 柱(外壁) (120cm × 120cm[東西壁]、100cm × 100cm[南北壁]) 設計用応力(モーメント)	304.2 t・m[東西壁] 69.7 t・m[南北壁]
建屋内内部	3階 柱 (110cm × 110cm) 設計用応力(軸力)	421.5 t	3階 柱 (110cm × 110cm) 設計用応力(軸力)	255.8 t
			2階 柱 (120cm × 120cm) 設計用応力(軸力)	435.5 t
	4階 大はり (95cm × 220cm) 設計用応力(剪断力)	165.1 t(E端)	3階 大はり (95cm × 220cm) 設計用応力(剪断力)	190.4 t(E端)
	4階 小はり (60cm × 105cm) 設計用応力(剪断力)	32.1 t	3階 小はり (60cm × 120cm) 設計用応力(剪断力)	34.8 t
	4階 床 (厚さ 25cm、30cm) 設計用応力(剪断力)	7.2 t/m(25cm厚) 11.1 t/m(30cm厚)	3階 床 (厚さ 25cm) 設計用応力(剪断力)	5.48 t/m(25cm厚)

赤字部 原子力規制庁の現地調査において損傷を確認。

1.3 使用材料の許容応力度

表 1.1 コンクリートの許容応力度 (Kg/cm^2) $F_0 = 2.25 Kg/cm^2$

	長 期			短 期		
	圧 縮	引張り	せん断	圧 縮	引張り	せん断
普通コンクリート	7.5	-	7.25	1.50	-	10.875

表 1.2 鉄筋の許容応力度 (Kg/cm^2)

		長 期		短 期	
		引張りおよび 圧 縮	せん断補強	引張りおよび 圧 縮	せん断補強
		SD35	D29未満	2200	2000
	D29以上	2000	2000	3300	3000

表 1.3 鉄筋のコンクリートに対する許容付着応力度 (Kg/cm^2)

	長 期		短 期	
	上 端 筋	その他の鉄筋	上 端 筋	その他の鉄筋
異形鉄筋	1.5	2.25	2.25	3.375

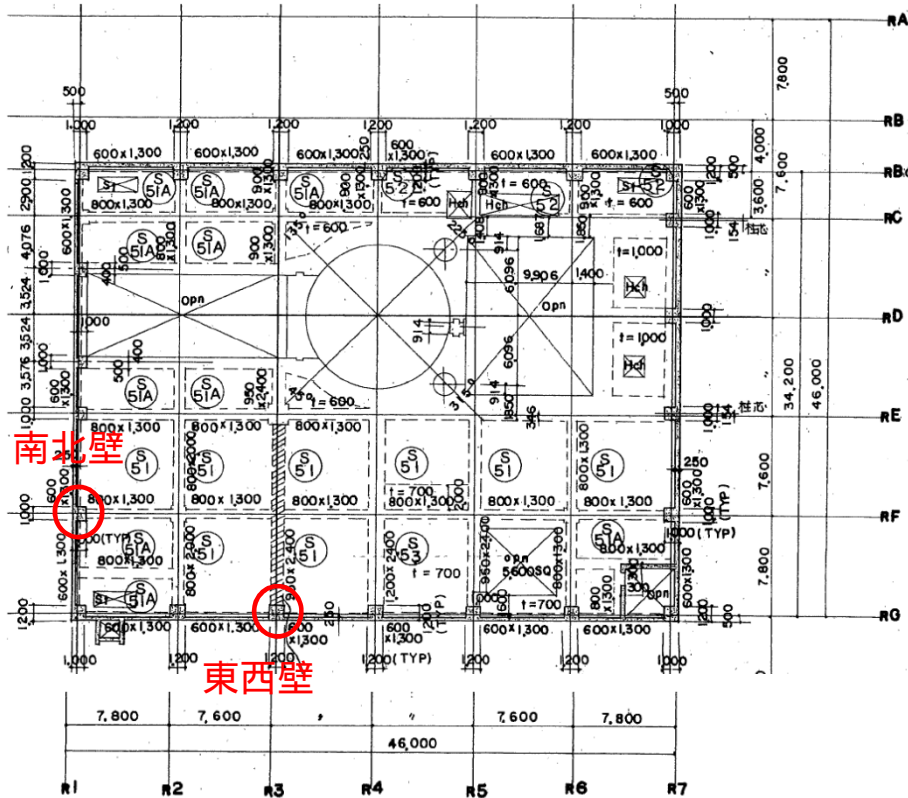
表 2.1 柱の軸方向力表

単位 (t)

柱	階	ゲージ	DL+EL+PL +LL _m	DL+EL+PL +SwL+0.75LL	柱の軸方向力	
					最小	最大
RF-r2	5		262.0	355.8	199.1	324.9
	4		169.6	199.1	128.9	210.3
	3		129.6	176.3	98.5	160.7
	2		176.0	222.9	133.8	218.2
	1		100.0	100.0	100.0	100.0

原子力規制庁において、東京電力ホールディングス株式会社の工事計画認可申請書添付資料(原子炉建家の強度計算書)を一部加工

○ 柱(外壁)の設計



4号機原子炉建屋5階

- 5階柱(外壁)
- 断面形
- 120cm × 120cm (東西壁)
- 100cm × 100cm (南北壁)
- 配筋
- 50-D38 (東西壁)
- 24-D38 (南北壁)

設計用応力
モーメント(t・m)
628.8 t・m (東西壁)
15.6 t・m (南北壁)

原子力規制庁において、東京電力ホールディングス株式会社の工事計画認可申請書添付資料(原子炉建家の強度計算書)を一部加工

表5-5 柱断面算定表

OP.39.920

柱番号	C0.1		C0.4	
	D	C	D	C
断面形	b × D (j)	100 × 100 (90)	120 × 120 (110)	
断面形状	bD · 10° (bD · 10°)	10.0 [26.6] (10.0)	14.4 [30.4] (17.28)	
垂直荷重時 (t・m)	N _v (鉛直)	131.6	241.4	201.5
	M _x (○)	13.8	310.9	201.5
	M _y (土圧)			
	M _y (7L→)			
	Q _y (鉛直)	0.9	31.8	
水平荷重時 (t・m)	N _v (鉛直)	97.9	159.7	172.4
	M _x (○)	7.3	11.9	203.1
	M _x (7L→)			7.3
	M _x (地震)	3.7	3.7	38.2
	Q _y (鉛直)	0.5	0.7	200
短距離 (t・m)	N _v (鉛直)	97.9	159.7	172.4
	M _x (t・m)	11.0	15.6	553.0
	Q _y (t)	0.8	1.0	62.6
	N _v / bD	4.9	7.9	18.0
	M _x / bD ²		1.4	1.46
長期	N / bD	3.7	6.0	5.7
	M / bD ²	1.1	1.6	14.4
	P ₂ (%)			32.0
配筋	東西壁	8-D38	22-D38	
	南北壁	6-D38	7-D38	
せん断	Q / f _{vj} (t)	96.0	264.0	
	f _s · b · j	0.5	18.8	
	判定	OK	OK	
	柱の	a _c (cm ²)		
	強さ	N / bD · F _v		
検討	M _y 2環*			
	M _y			
	h'			
	Q ₀			
	判定			
配筋	東西壁	24-D38	50-D38	
	南北壁	6-D38	22-D38	
帯筋	東西壁	4-D16 @200	4-D16 @200	

○ 柱(外壁)の設計

4階柱(外壁)

断面形

120cm × 120cm (東西壁)

100cm × 100cm (南北壁)

配筋

26-D38 (東西壁)

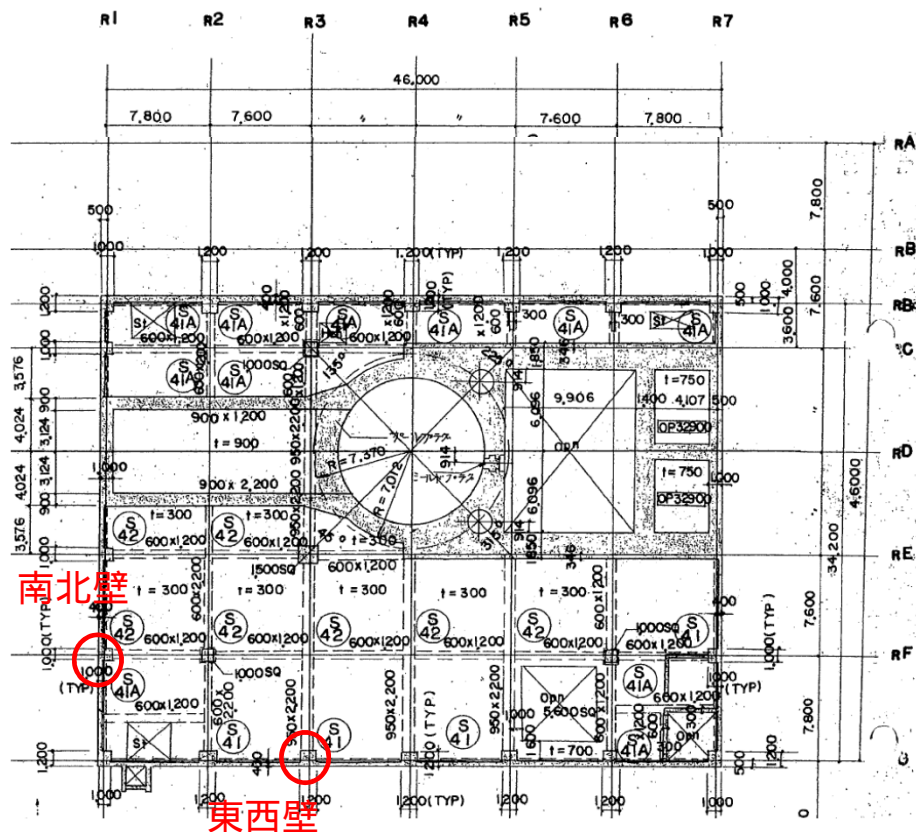
24-D38 (南北壁)

設計用応力

モーメント (t·m)

304.2 t·m (東西壁)

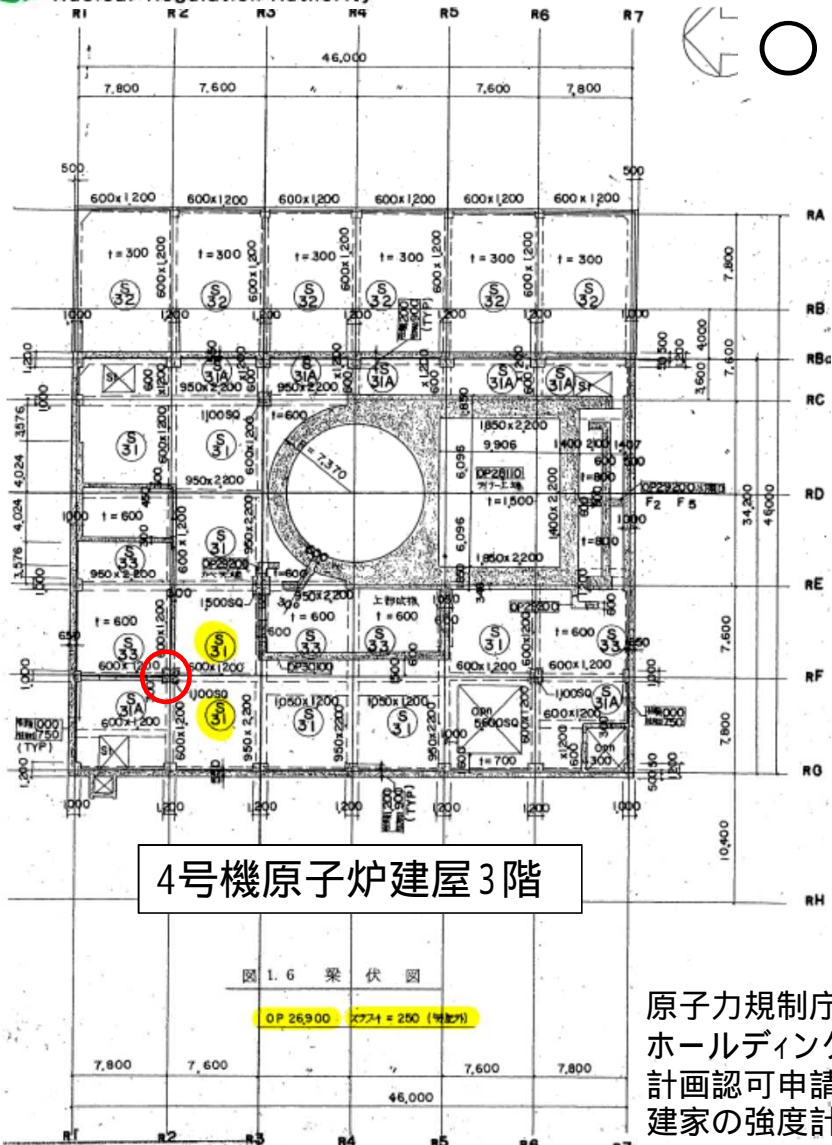
69.7 t·m (南北壁)



4号機原子炉建屋4階

原子力規制庁において、東京電力ホールディングス株式会社の工事計画認可申請書添付資料(原子炉建家の強度計算書)を一部加工

柱番号	OP 32300				
	4C-E		4C-G		
柱頭	柱脚	柱頭	柱脚		
断面形	b × D (j)	D	C	D	C
断面形	bD × 10 (90)	100 [36.6] (10.0)	120 × 120 (11.0)	14.4 [40.0] (17.28)	
長期耐震時	sN _v (鉛直)	324.5		586.7	
	sM _v (○)	34.5	21.7	138.2	113.2
	sM _v (土圧)				
	sM _v (7L→)				
	sQ _v (鉛直)	7.4		33.0	
	sQ _v (土圧)				
	sQ _v (7L→)				
水平耐震時	sN _v (鉛直)	206.3	360.9	345.2	605.5
	sM _v (○)	18.8	12.7	30.7	20.7
	sM _v (土圧)			64.4	62.7
	sM _v (7L→)			85.0	33.6
	sM _v (地震)	39.0	30.7	同左	同左
	sQ _v (鉛直)	4.1	6.7	16.7	27.2
	sQ _v (7L→)			15.6	同左
	sQ _v (地震)	9.2	同左	28.9	同左
短期耐震時	tN _b (土)	206.3	360.9	345.2	605.5
	tM _b (t·m)	57.8	43.4	89.7	51.4
	tQ _b (t)	17.9	20.5	83.5	94.0
長期	tN _b / bD	8.9		14.7	
	tM _b / bD ²	3.5		8.0	
	P _t (%)	—		0.27	
短期	N / bD	5.6	9.9	6.6	15.1
	M / bD ²	5.8	7.0	15.2	17.6
	P _t (%)	0.13	0.10	0.45	0.45
	a ₂ (a ₂ min) (cm ²)	13.0 (80.0)		64.8 (115.2)	
配筋		8 - D38		9 - D38	
		6 - ○		6 - ○	
		24 - ○		26 - ○	
せん断補強筋の検討	Q / t a _j (l)	96.0		108.0	
	f _s b _j	6.0		22.1	
	判定	85.7		125.7	
		OK		OK	
柱の強度の検討	a ₂ (cm ²)				
	0.8 a ₂ f _c D				
	N / bD f _c				
	M _y / a ₂ f _c D				
	M _y				
	h				
	Q _b				
	判定				
	帯筋 (P ₂ -22 ³)				
断面		24-D38		26-D38	
		6-D38		9-D38	
		8-D38		6-D38	
帯筋		4-D16 @200		4-D16 @200	



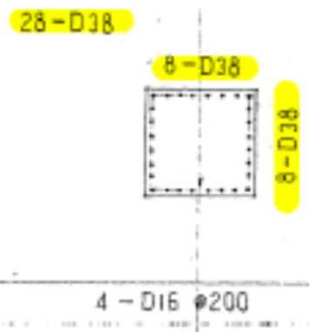
4号機原子炉建屋3階

図 1.6 梁 伏 図
OP 269.00 変位 = 250 (mm)

○ 柱の設計

3階柱
断面形
110cm × 110cm

配筋
28-D38
N-S 8-D38
E-W 8-D38

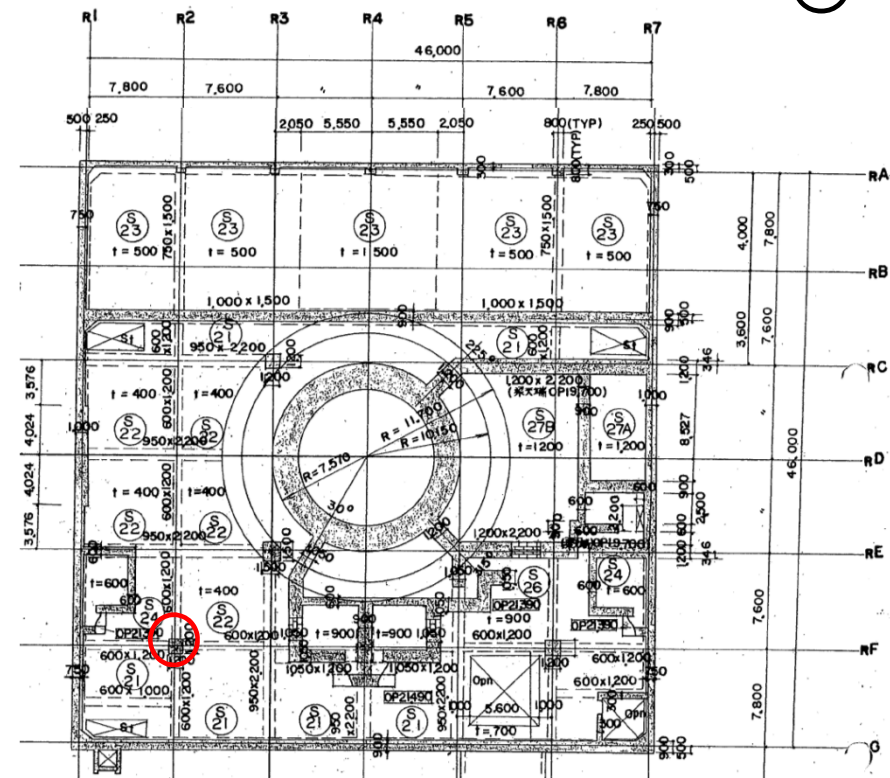


原子力規制庁において、東京電力ホールディングス株式会社の工事計画認可申請書添付資料(原子炉建家の強度計算書)を一部加工

設計用応力
軸力
224.6 t(N-S)
255.8 t(E-W)

柱番号 位置	OP269.00 C.c.c(N-S)				C.c.c(E-W)			
	D		C		D		C	
断面形 b × D (mm) bD × 10 ⁴ (mm ²)	110 × 110 (100)		同左		同左		同左	
長期 sN _v (鉛直) sM _v (○) sM _v (土圧) sM _v (7L-2) sQ _v (鉛直) sQ _v (土圧) sQ _v (7L-2)	210.7 12.2	266			210.7 2.7	10.5		
短期 sN _v (鉛直) sM _v (○) sM _v (7L-2) sM _v (地震)	107.2 8.8	16.8	224.6 14.4	27.4	76.0 1.5	6.5	255.8 2.5	10.6
短期 sQ _v (鉛直) sQ _v (7L-2) sQ _v (地震)	4.7	7.7			15		2.4	
短期 sN _s (土) sM _s (土) sQ _s (土)	107.2 65.1	95.8	224.6 106.4	106.4	76.0 80.9	77.7	255.8 81.9	81.8
長期 sN _s / bD sM _s / bD ² P _s (%)	17.4 8.9	2.0			17.4 6.3	0.8		21.1
短期 N / bD ² M / bD ³ P _s (%)	7.2 0.13	18.6			8.0 0.12	6.1	6.2	
a _c (a _c min.) (cm ²)	15.8	(96.8)			14.6	(96.8)		
配筋	8-D38		8-D38		8-D38		8-D38	
せん断 Q / fa _v (t) f _s × b × j 判定	96.0 11.1		96.0 10.3		96.0 10.47		96.0 10.47	
せん断補強筋の検討	OK		OK		OK		OK	
配筋	28-D38		8-D38		8-D38		8-D38	

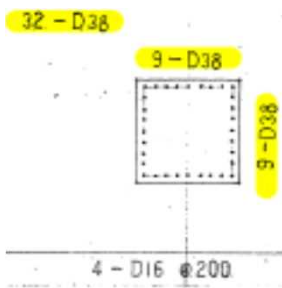
○ 柱の設計



4号機原子炉建屋2階

2階柱
断面形
120cm × 120cm

配筋
32-D38
N-S 9-D38
E-W 9-D38



原子力規制庁において、東京電力ホールディングス株式会社の工事計画認可申請書添付資料(原子炉建家の強度計算書)を一部加工

設計用応力
軸力
426.3 t(N-S)
435.5 t(E-W)

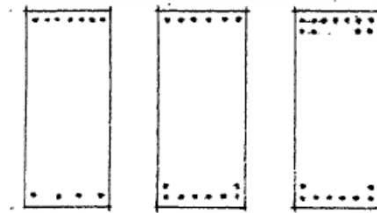
柱番号	OP 18.700				OP 18.700			
	C ₂ c(N-S)				C ₂ c(E-W)			
	柱頭	柱脚	柱頭	柱脚	柱頭	柱脚	柱頭	柱脚
断面形	120×120(110)				同左			
長期	sN _v (鉛直)	377.1		377.1				
短期	sM _v (+)	25.5	12.8	11.4	5.7			
	sM _v (-)							
長期	sQ _v (鉛直)	4.7		2.1				
	sQ _v (土圧)							
短期	sQ _v (土圧)							
	sQ _v (土圧)							
長期	sN _v (鉛直)	178.3	426.3	169.1	435.5			
	sM _v (+)	15.4	7.7	25.2	12.6	7.1	3.6	11.6
短期	sM _v (-)							
	sM _v (地震)	95.9	88.8	同左	53.7	63.3	同左	
長期	sQ _v (鉛直)	2.8	4.6	1.3	2.1			
	sQ _v (土圧)							
短期	sQ _v (土圧)							
	sQ _v (土圧)							
長期	sN ₀ (土)	178.3	426.3	169.1	435.5			
	sM ₀ (土)	111.3	96.5	121.1	101.4	60.8	66.9	65.3
短期	sQ ₀ (土)	36.6	38.4	22.8	23.6			
	sQ ₀ (土)							
長期	sN ₀ /bD	26.2		26.2				
	sM ₀ /bD ²	1.5		0.7				
短期	P ₀ (%)							
	N/bD	12.4	29.6	11.7	30.2			
長期	M/bD ²	6.4	7.0	3.9	4.0			
	P ₀ (%)	0.04						
長期	a _c (a _{c min.})(cm ²)	5.8	(115.2)	(115.2)				
	配筋		9-D38	9-D38				
長期	せん断	Q/f _{aj} (t)	108.0	108.0				
	せん断	f _s b _j	8.3	50				
長期	せん断	判定	OK	OK				
	せん断	判定						
長期	せん断	a _c (cm ²)						
	せん断	0.8a _c f _c D						
長期	せん断	N/bD _c						
	せん断	M _y /bD _c ²						
長期	せん断	M _y						
	せん断	判定						
長期	せん断	判定						
	せん断	判定						
長期	せん断	判定						
	せん断	判定						
長期	せん断	判定						
	せん断	判定						

○ 大はりの設計

3階大はり
断面形
95cm × 220cm

配筋
 上端筋 7-D38 (G端)
 7-D38 (中央)
 11-D38 (E端)
 下端筋 4-D38 (G端)
 8-D38 (中央)
 8-D38 (E端)

7-D38 7 11



4-D38 8 8

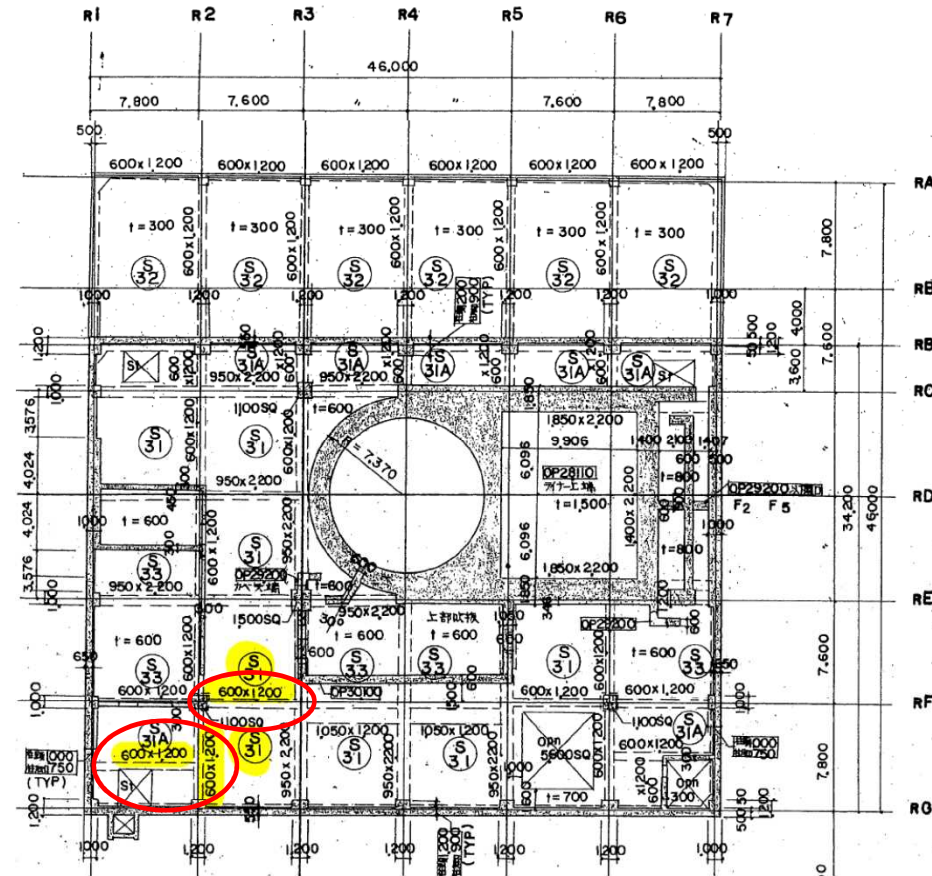
設計用応力
 剪断力
137.7 t (G端)
190.4 t (E端)

4号機原子炉建屋3階

はり記号 位置	9号-E		
	G端	中央	E端
断面形	b × D d (j) bD' × 10%	95 × 220 203 (177.6) 39.1	
長期荷重時	M _s (鉛直) M _s (土圧) M _e (7L-→) Q _s (鉛直) Q _s (土圧)	195.1 304.4 410.7	195.1 304.4 410.7
(t-m)	Q _e (7L-→) Q _e (鉛直)	107.0 26.9	154.8
短期荷重時	M _s (鉛直) M _s (7L-→) M _s (土圧) Q _s (鉛直) Q _s (7L-→) Q _s (土圧)	196.5 297.8 411.2 63.4 164.0 359.9 297.8 575.2 105.7 158.4	196.5 297.8 575.2 105.7 158.4
(t-m)	Q _e (鉛直) Q _e (土圧)	21.3 21.3	21.3
長期	M _s (鉛直) M _s (7L-→) M _s (土圧) Q _s (鉛直) Q _s (150)	127.0 42.7 179.7 359.9 304.4 575.2 137.7	190.4
M	長期	5.0	7.8 10.5
bD'	短期	9.2	7.6 14.7
Pt (9%)	長期	0.28	0.44 0.60
短期		0.32	0.25 0.51
a _c (a _c min) (cm)		61.3	85.7 115.6
配筋	上端筋	7-D38	7 11
	下端筋	4-D38	8 8
せん断補強筋の検討	Q/f _{aj} (cm)	84.0	132.0
	判定	OK	OK
	f _s b _j 長期	122.5 (183.8)	OUT
	判定	OK	OUT
	M/Qd	1.31 (158)	
	α	1.73 (155)	
	αf _s b _j	211.9 (284.9)	OK
	a _c (cm) 上(下)		
	M _y (t-m) 上(下)		
	ΣM _y /l'		
ΣM _y /l'			
Q			
αQ (αQ/b _j)			
P _u (%)		0.2	
おはらし筋		2-D16 @ 200	
配筋		7-D38	7 11
		4-D38	8 8

原子力規制庁において、東京電力ホールディングス株式会社の工事計画認可申請書添付資料(原子炉建家の強度計算書)を一部加工

○ 小はりの設計



4号機原子炉建屋3階

3階小はり
断面形
60cm × 120cm

配筋
端部 5-D29
中央部 7-D29

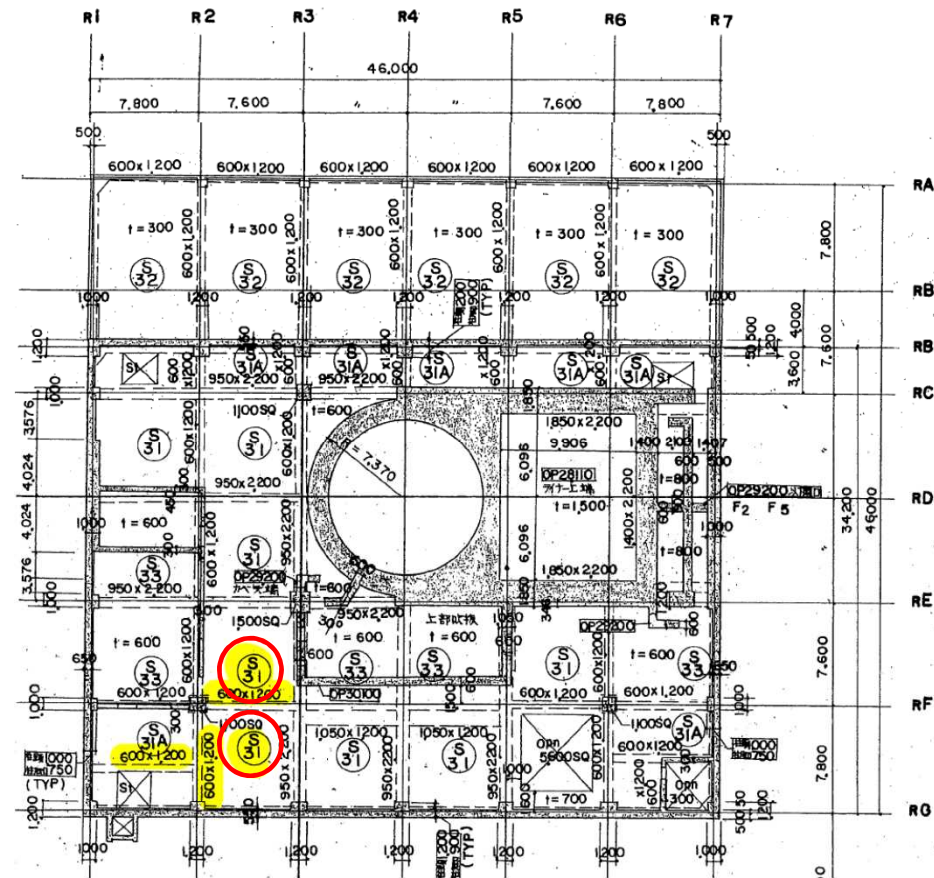
設計用応力
剪断力
34.8 t

表 6.2 小梁の応力算定と断面算定表

標号	符号	b (cm)	D (cm)	断面状態 (t, t/m, t/m ²)	スパン (m)	C (m)	M (t-m)	Q	M _端	M _中	設計用 配筋 端部 中央部
								(t)	(t-m)	(t-m)	
OP2690U	3d1	60	120	1.37 3.51	7.8	48.48	81.63	34.8	41.3	81.7	5-D29
			110					24.2	26.4	42.3	7-D29
	3d2	60	120	1.37 2.88	7.8	38.33	58.92	25.7	30.6	59.0	5-D29
			110					17.9	26.4	30.4	5-D29

原子力規制庁において、東京電力ホールディングス株式会社の工事計画認可申請書添付資料(原子炉建家の強度計算書)を一部加工

○ 床の設計



3階床
厚さ(t) 25cm
短辺 683cm
長辺 700cm

配筋
短辺方向 D19@150
長辺方向 D19@150

設計用応力
剪断力
5.48 t/m(25cm厚)

表 6.1 床版断面算定表

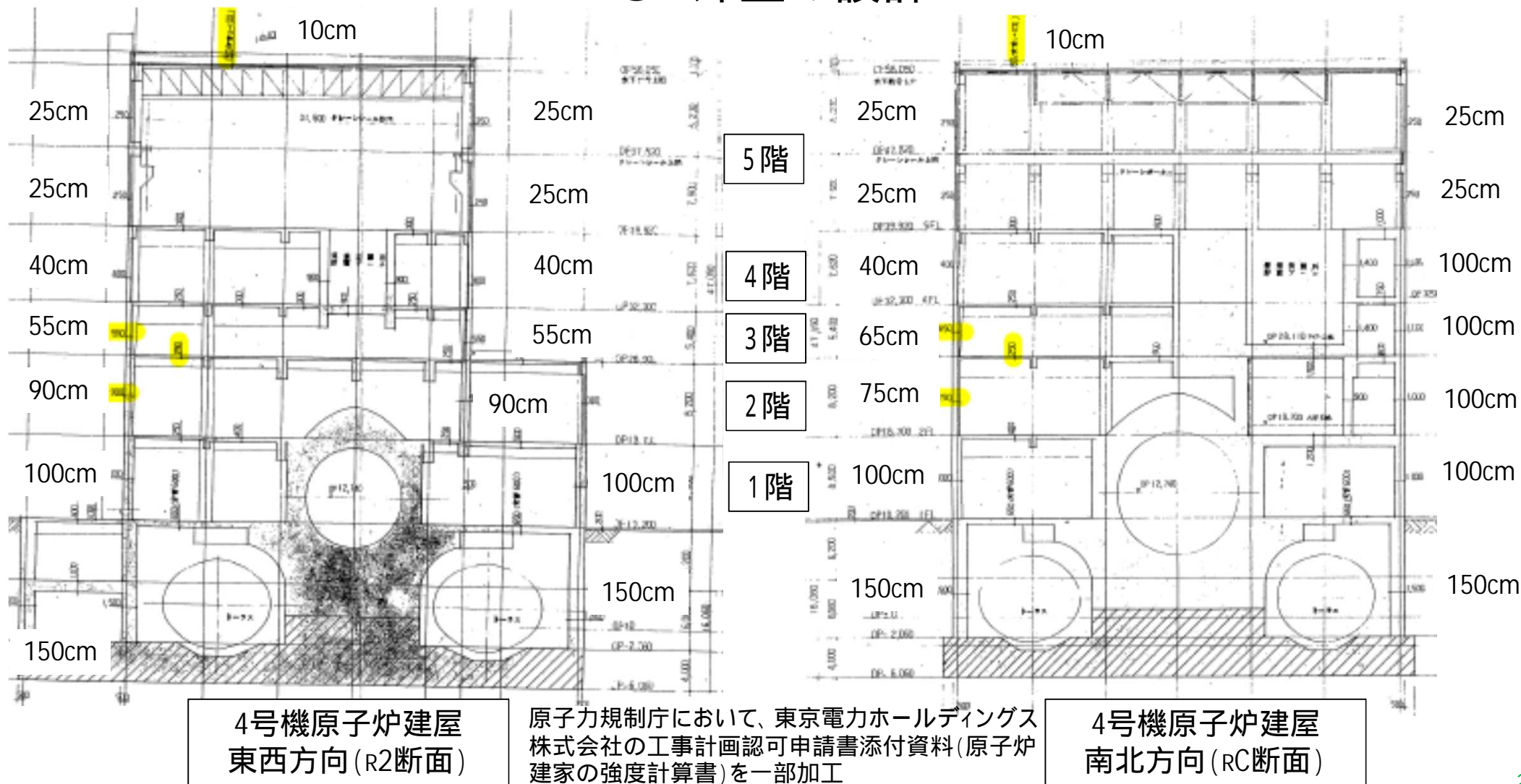
標高	符号	t (cm)	W (t/m ²)	短辺方向			長辺方向						
				短辺	長辺	短辺比	設計用 配筋	Tx (kg/cm ²)	My ₁ (t/m ²)	Oy (t/m ²)	My ₂ (t/m ²)	設計用 配筋	Ty (kg/cm ²)
OP26.900	S32	30	0.18	7.25	11.20	1.55	D19@150	2.19	2.84	4.34	1.89	D19@200	2.16
		2.5	0.845						6.43	14.40	4.28		
		2.5	1.00	6.83	7.00	1.03	D19@150	3.13	3.53	5.48	2.36	D19@150	3.47
		2.0	0.80						10.20	15.50	6.80		

4号機原子炉建屋3階

3階床損傷が確認されている床の設計(厚さ、形状)に近いS1の設計を記載している。

原子力規制庁において、東京電力ホールディングス株式会社の工事計画認可申請書添付資料(原子炉建家の強度計算書)を一部加工

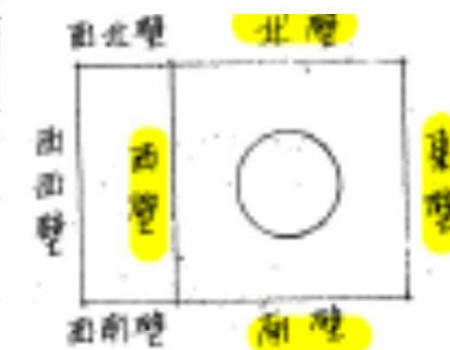
○ 外壁の設計



○ 外壁の設計

表B.1.3 外壁の配筋計算表(t)

階高	壁位置	せん断応力度 kg/cm ²	(1) せん断補強筋		(2) 配筋モーメント配筋率						説明
			$A_s = \frac{1}{2} f_t b$ cm/m	配筋 断面総積欠 cm ² /m	配筋モーメント M t-m	配筋率 (0.24) %	軸力 N t	偏心距離 e m	コンクリートの 最大引張 応力度 kg/cm ²	鉄筋の 最大引張 応力度 kg/cm ²	
5階	東	27.9	11.6	D19 @ 200 ($A_s = 14.35$)	62068	上向き	3103	20.3	16.8	113.9	せん断応力度(計算例) 東西 $r = \frac{Q}{A} = \frac{4879 \times 10^3}{1.748 \times 10^4} = 27.9$ 級 南北 $r = \frac{Q}{A} = \frac{5256 \times 10^3}{2.356 \times 10^4} = 22.5$ 級 Q: 5階以上のせん断力 A: * の壁断面 内圧による巻げモーメント(0.18 t/m ²) $M = w \cdot l^2 / 10 = 0.431 \cdot m^2 / m \cdot A_s = 3.93 \text{ cm}^2/m$ 鉄筋の応力度 $f_s = \frac{0.45}{0.93 \times 1.22} = 571 < 3300$ 級 よって内圧による応力に対して安全である。 * 偏心によるモーメント(上、下方向)
	西	27.9			62998	下向き	5063	12.6	20.9	—	
	北	22.5	9.4	D19 @ 200 ($A_s = 14.35$)	66986	上向き	3103	27.9	5.9	94.2	
	南	22.5			86555	下向き	5063	19.5	22.6	39.4	
4階	東	23.4	16.7	D22 @ 200 ($A_s = 19.35$)	129548	上向き	5803	22.5	21.5	202.1	
	西	24.1			130709	下向き	9467	13.9	24.8	—	
	北	30.8	20.5	D25 @ 200 ($A_s = 25.35$)	131773	上向き	5803	29.5	6.3	122.8	
	南	30.3			171253	下向き	9467	20.7	28.8	120.9	
3階	東	25.2	23.1	D29 @ 200 ($A_s = 32.10$)	198328	上向き	9006	22.8	22.1	205.5	
	西	24.8			205533	下向き	14694	14.3	25.8	—	
	北	29.0	31.4	D32 @ 200 ($A_s = 39.70$)	202280	上向き	9006	28.5	26.7	456.8	
	南	29.0			256317	下向き	14694	19.8	29.5	96.7	
2階	東	12.3	6.2	D19 @ 200 ($A_s = 14.35$)	316744	上向き	13203	25.8	23.0	349.0	
	西	8.4			340509	下向き	21541	16.6	25.6	65.3	
	北	29.8	37.6	D32 @ 200 ($A_s = 39.70$)	342362	上向き	15203	30.7	5.6	160.6	
	南	30.2			405135	下向き	21541	20.7	42.7	630.8	



原子力規制庁において、東京電力ホールディングス株式会社の工事計画認可申請書添付資料(原子炉建家の強度計算書)を一部加工

➤ 1, 3, 4号機原子炉建屋外壁の壁厚等

○ 原子炉建屋 外壁の壁厚等(鉄筋コンクリート) [cm]

		1号機	3号機	4号機
屋根		コンクリートスラブ 要確認	コンクリートスラブ 10cm	コンクリートスラブ 10cm
5階	E-W	鋼板 ¹	30cm	25cm
	N-S	鋼板 ¹	40cm	25cm
4階	E-W	40/50cm	50cm	40cm
	N-S	50/90cm	50/100cm	40/100cm
3階	E-W	70/80cm	90cm	55cm
	N-S	90/110cm	110cm	65/100cm
2階	E-W	80/90cm	100cm	90cm
	N-S	110cm	110cm	75/100cm
1階	E-W	120cm	150cm	100cm
	N-S	120cm	130cm	100cm

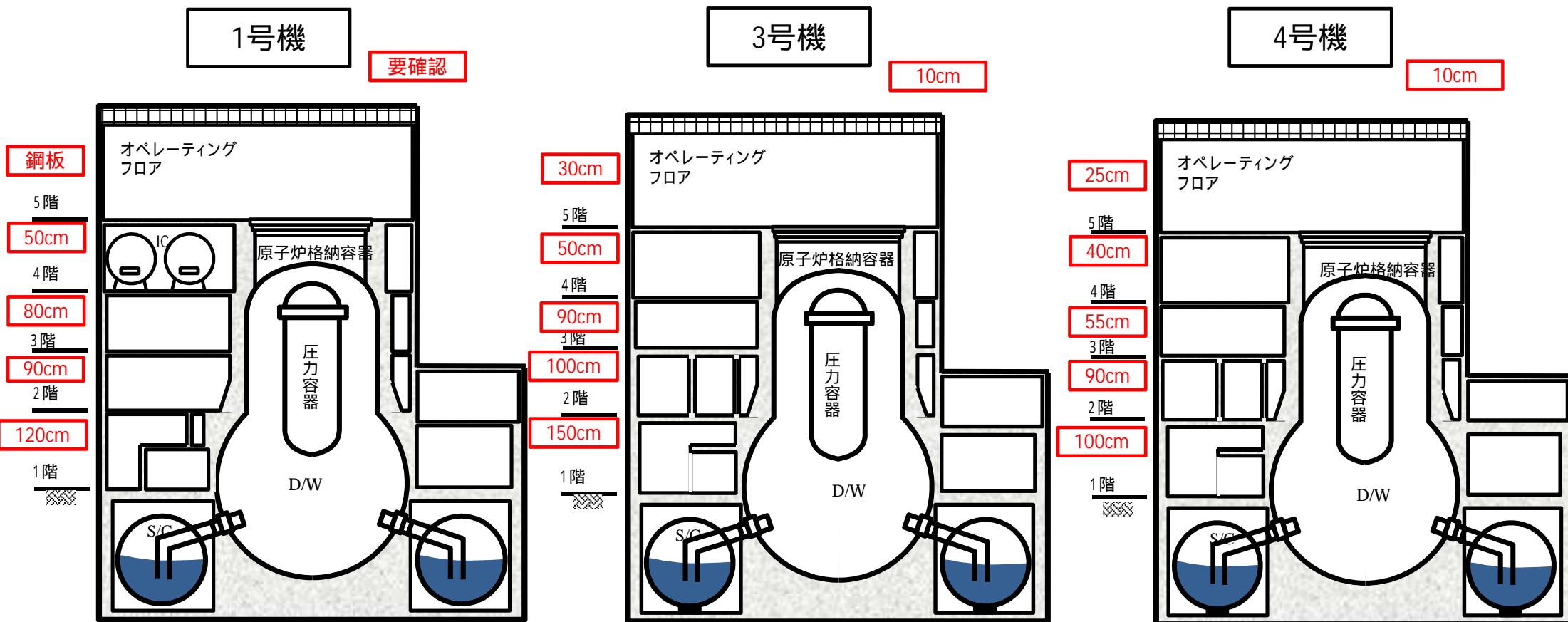
1 鋼板は、M-16のボルト2本でブラケット部材を介して鉄骨架構に固定。

○ 原子炉建屋5階 ブローアウトパネルの設計

	1号機	3号機	4号機
設置枚数	1枚	1枚	1枚
1枚あたりのパネルの大きさ	約4.1 m × 6.3 m	約6.3 m × 5.9 m	約6.3 m × 5.9 m
作動圧力	352 kg/m ² (3.45 kPa)	342 kg/m ² (3.35 kPa)	342 kg/m ² (3.35 kPa)
作動方法	所定の圧力が作用するとパネルを固定している金物が塑性変形を起こし動作する。		
固定具の仕様	炭素鋼	炭素鋼	炭素鋼
パネルの設置箇所数	1箇所に設置	1箇所に設置	1箇所に設置

○ 原子炉建屋 外壁の壁厚等 (鉄筋コンクリート) [cm]

原子炉建屋 (東西断面)



○ 原子炉建屋(屋根部)

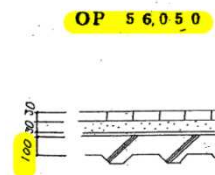
1号機

3号機

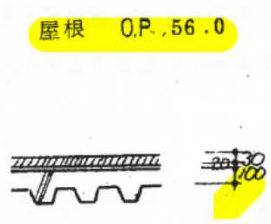
4号機

(2) 固定荷重

屋根面	押へコンクリートブロック	100 kg/m ²
	アスファルト防水層	15 //
	ならしモルタル	40 //
	コンクリートスラブ	240 //
	母屋鉄骨トラス	50 //
	計	445 kg/m ²



OP 56050	コンクリートブロック(3.0×2.0)	60
	均し砂敷 (3.0×1.6)	48
	アスファルト防水	15
	コンクリートスラブ(1.20×2.4)	288
	デッキプレート	15/430 (床版設計用)
	母屋	45/480 (母屋設計用)
	鉄骨トラス	120
		595 → 600 kg/m ²



屋根 O.P. 56.0	(t=30)	
	コンクリートブロック	60
	アスファルト防水	15
	(t=120)	
	コンクリートスラブ	290
	デッキプレート	15
	母屋	40
	鉄骨トラス	110
		530 kg/m ²

母屋設計用 420 kg/m²

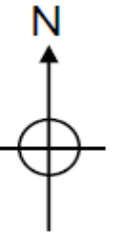
屋根

屋根

屋根

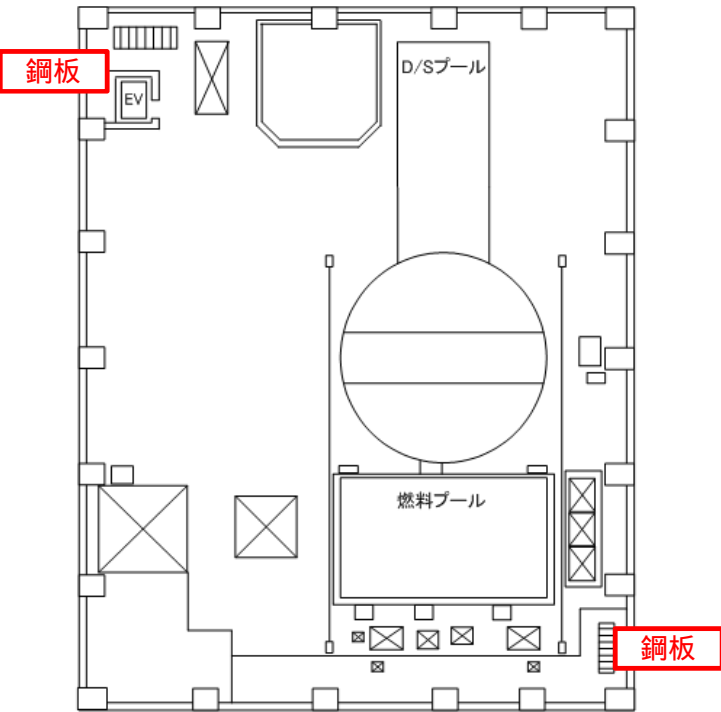
原子力規制庁において、東京電力ホールディングス株式会社の工事計画認可申請書添付資料(原子炉建家の強度計算書)を一部加工

○ 原子炉建屋(平面図)



1号機

鋼板

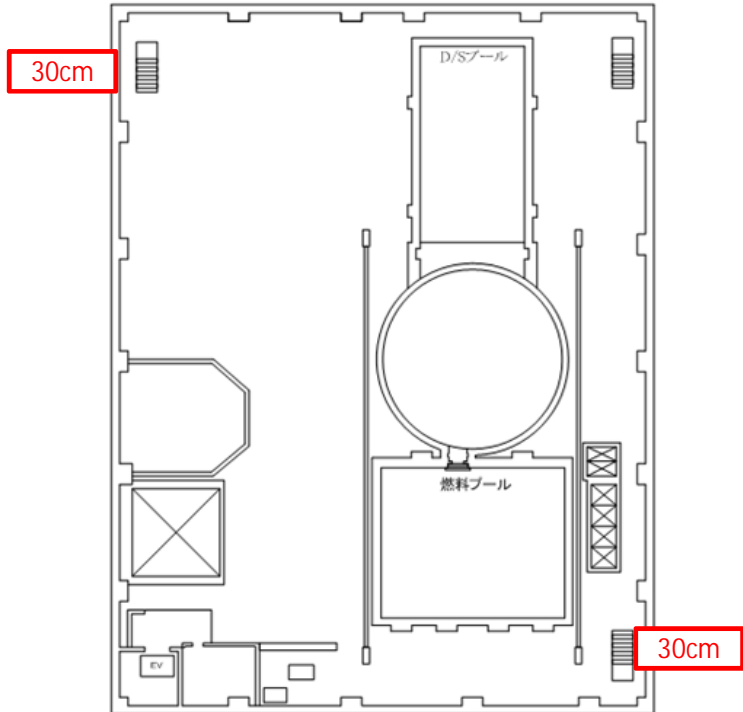


鋼板

5階

3号機

40cm

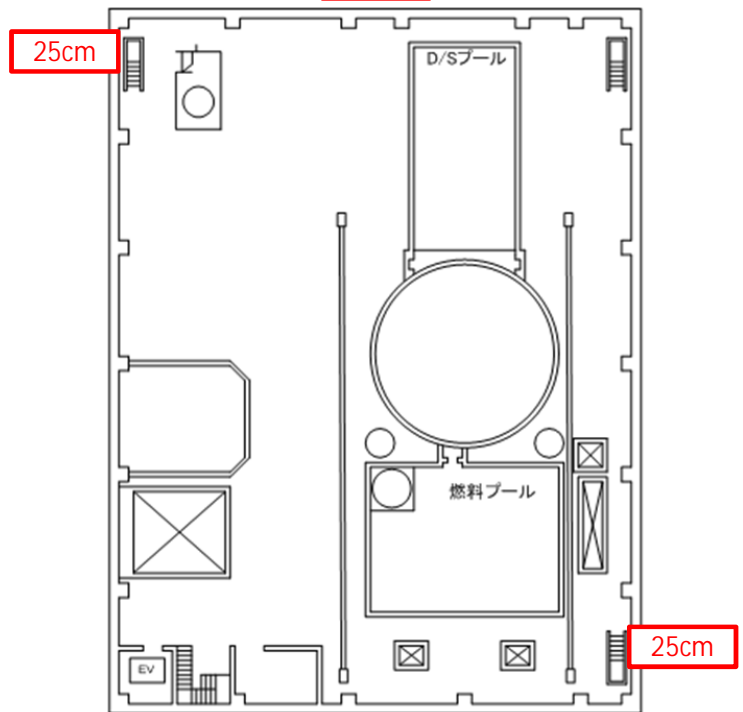


40cm

5階

4号機

25cm

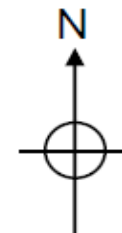


25cm

5階

東京電力ホールディングス株式会社資料より抜粋一部加工

○ 原子炉建屋(平面図)



1号機

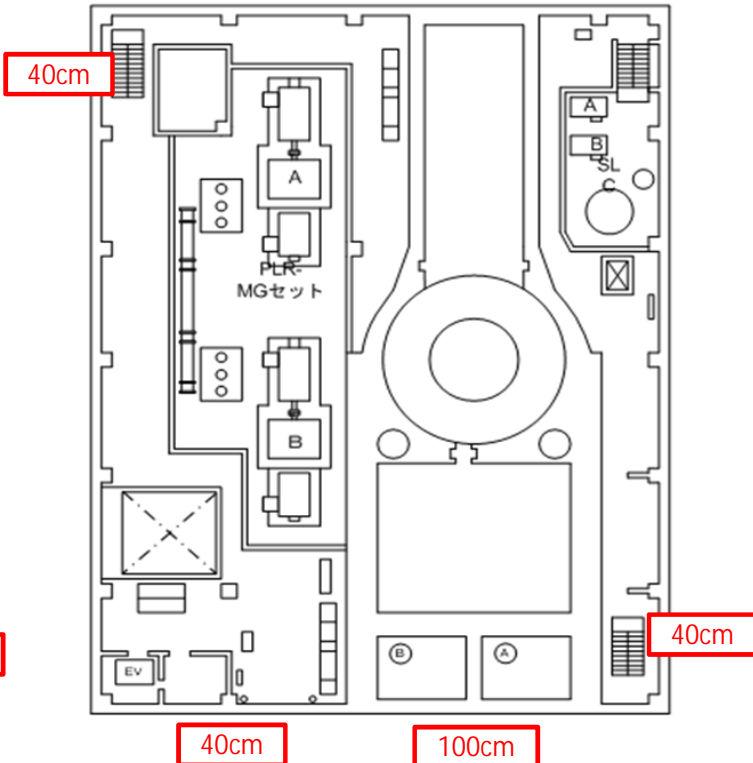
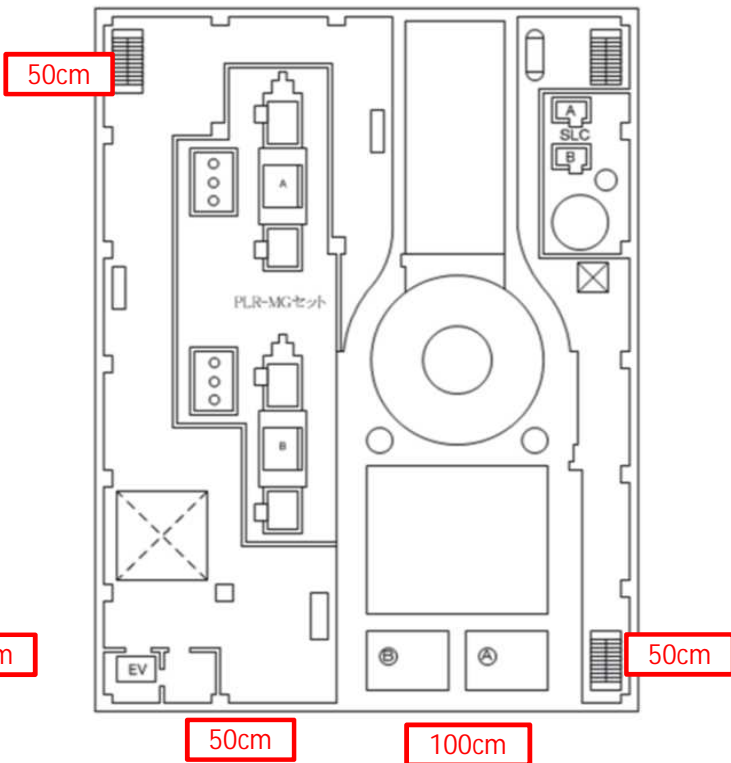
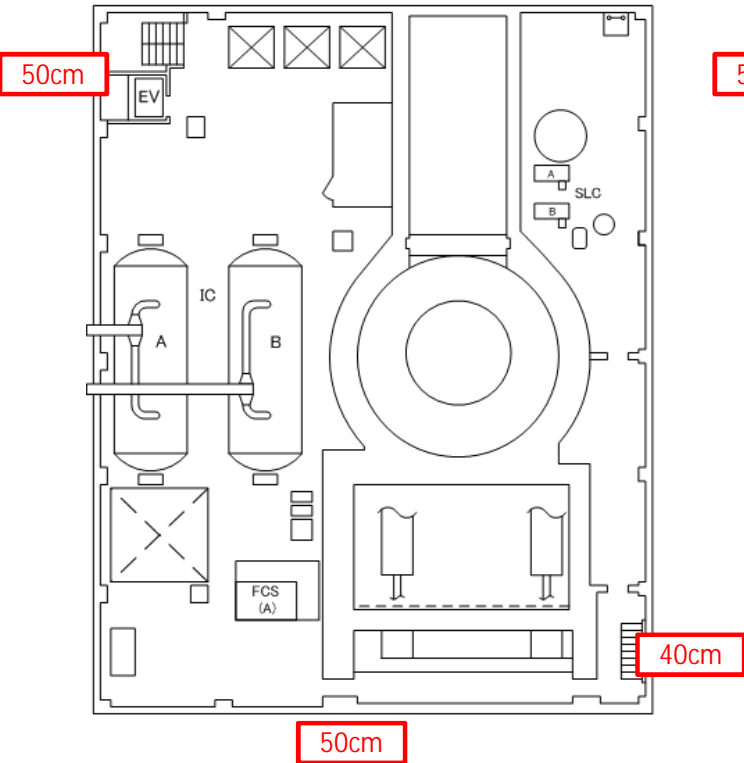
3号機

4号機

50cm 90cm

50cm 100cm

40cm 100cm



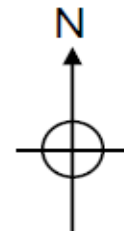
4階

4階

4階

東京電力ホールディングス株式会社資料より抜粋一部加工

○ 原子炉建屋(平面図)

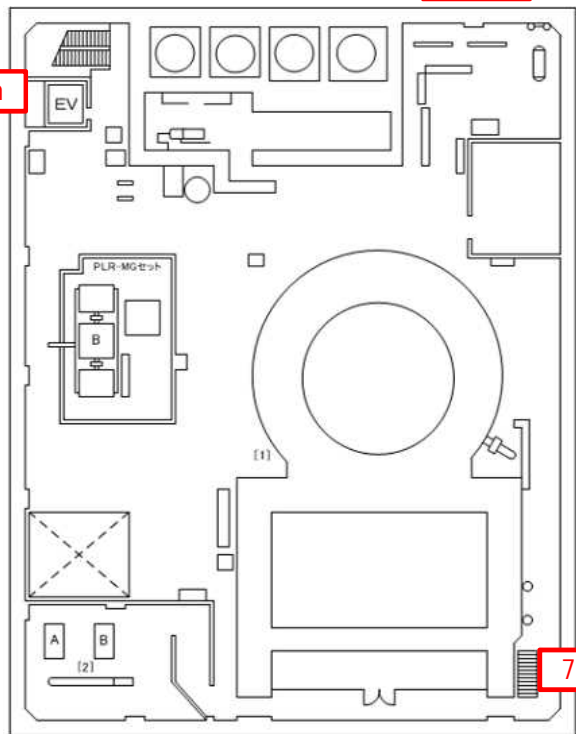


1号機

110cm

90cm

80cm



90cm

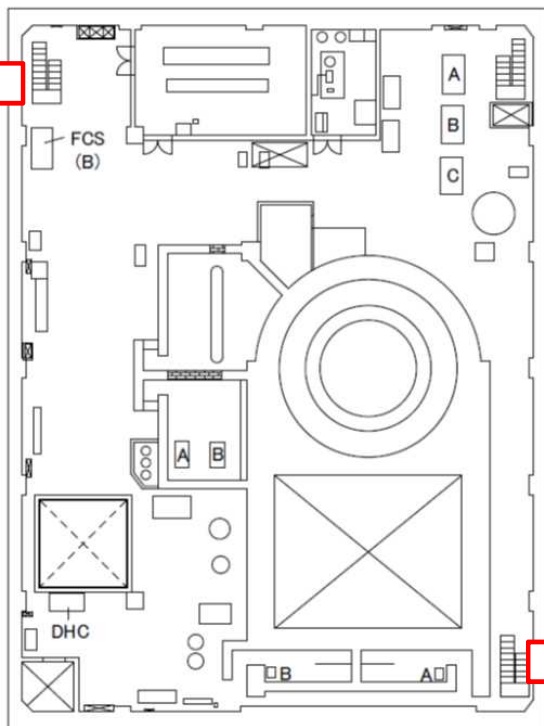
3階

3号機

90cm

110cm

90cm



90cm

110cm

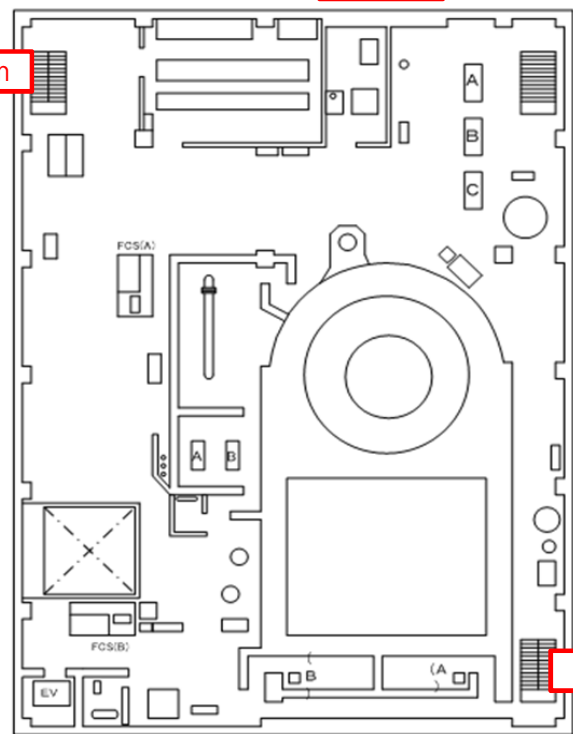
3階

4号機

65cm

100cm

55cm



65cm

100cm

3階

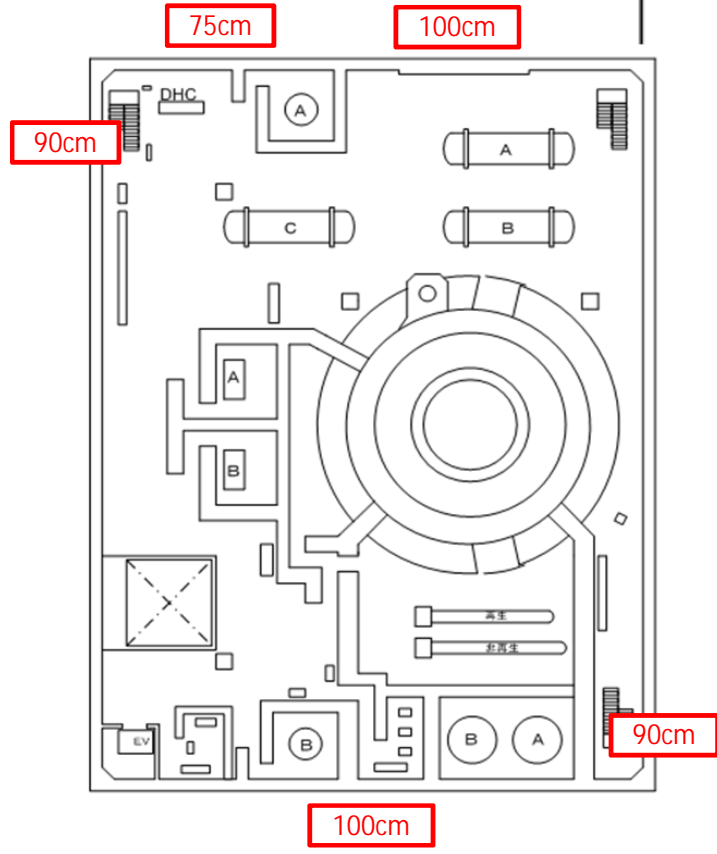
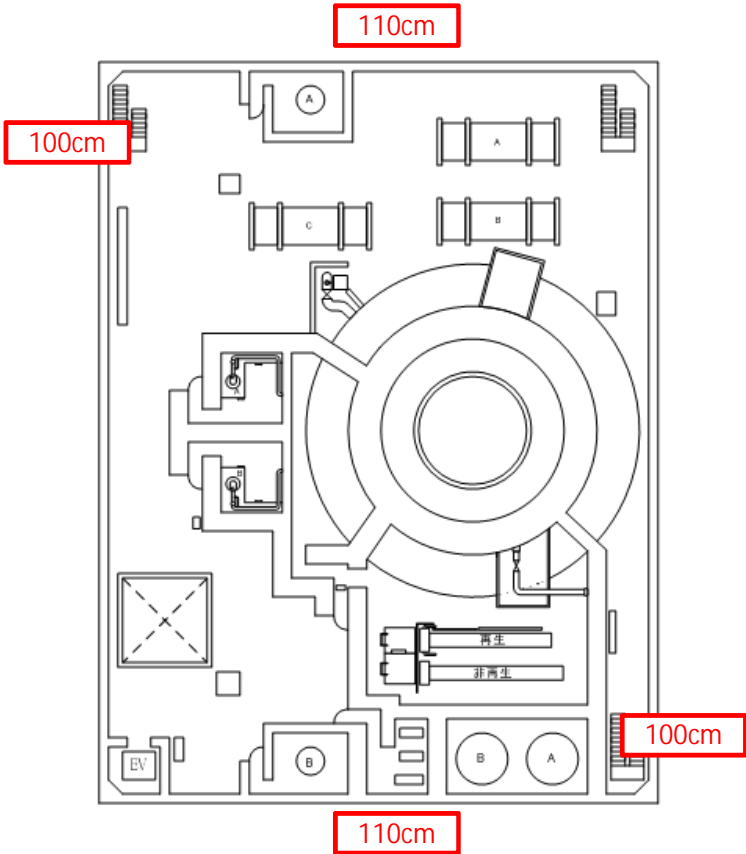
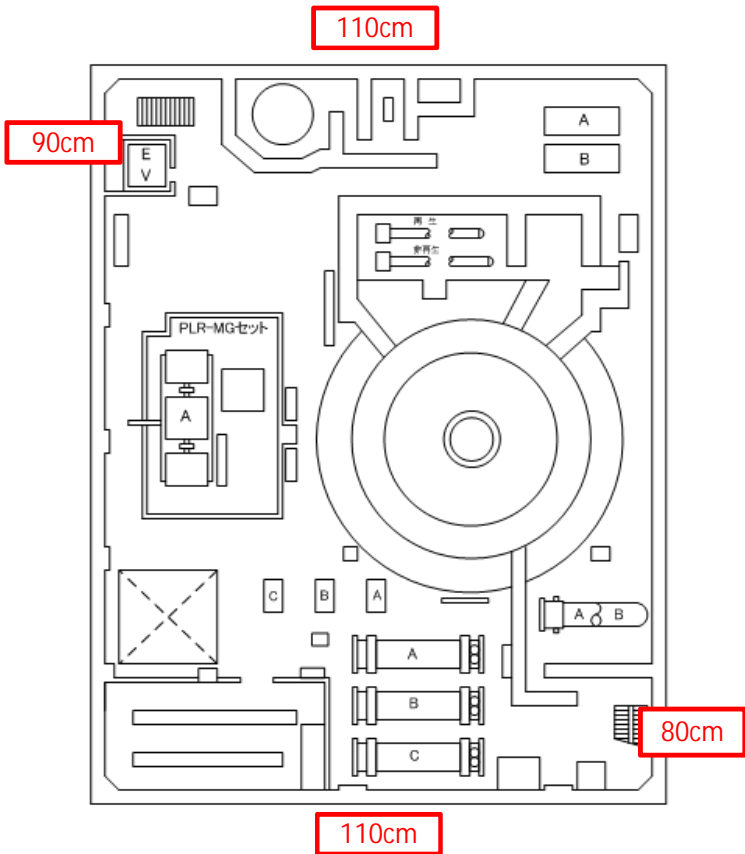
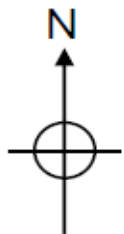
東京電力ホールディングス株式会社資料より抜粋一部加工

○ 原子炉建屋(平面図)

1号機

3号機

4号機



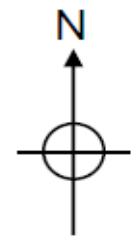
2階

2階

2階

東京電力ホールディングス株式会社資料より抜粋一部加工

○ 原子炉建屋(平面図)



1号機

3号機

4号機

120cm

150cm

100cm

120cm

130cm

100cm

120cm

130cm

100cm

120cm

150cm

100cm

1階

1階

1階

東京電力ホールディングス株式会社資料より抜粋一部加工

これまでの事故分析検討会における論点の整理

1～3号機シールドプラグの汚染状況

1～3号機オペレーティングフロアの線源調査

- 大気中に出た放射性物質が15PBqで済んだのは、シールドプラグで70PBq(2号機)、30PBq(3号機)が捕獲されたからか。
- 1号機のシールドプラグの下が0.1PBqであったことは、放出はされたがシールドプラグに捕獲されなかったからか、落下している屋根の下にあるのか、もともと出なかったのか。
- シールドプラグの垂直面の隙間、外周部の汚染の寄与を考慮するべき。
- 2号機と3号機の場合は、水蒸気で運ばれて凝縮してシールドプラグに付着したのに対し、1号機の場合は、そのような現象があまり顕著ではなかったことも考えられる。

核分裂生成物のトータルの発生量

- シールドプラグの汚染が全体の何割なのか重要である。シールドプラグの1面、2面、3面だけではなく、ウェルも汚染していると考えられるため、合わせて推計することが必要である。
- 格納容器のトップヘッドのところからの放射性物質の抜けやすさがどう違っていたのか。
- 注水及び水蒸気による駆動説について、モデル化と輸送計算を行う価値がある。

3号機原子炉格納容器内の圧力挙動

主蒸気逃がし安全弁、自動減圧系の作動

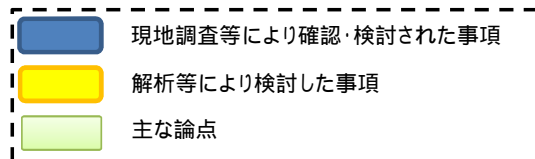
- 複数の逃がし安全弁が同時に動作していた可能性について、アキュムレータの窒素が大分減少してしまったのは、開信号がきていても全開にできなくなってしまって、中間開のような状態だったからか。
- HPCIが停止した後のSR弁の動作は、逃がし弁として機能しているのか、安全弁として機能しているのか。窒素の供給は回復したのか。

耐圧強化ベントにおける有効なベント回数

- ADS(自動減圧系)の開によって減圧された後の弁の開状態が維持されて、圧力容器の減圧状態が維持されたのか。
- 格納容器圧力について、PCVのベント成功回数は2回でよいか、3回目以降のベントは失敗したかどうか。

耐圧強化ベントの設計・設定値

- ベントが成功する直前に、ADSの起動によってPCVの圧力が一気にラプチャーディスクの設定圧を超えたことによって、ベントが成功したと見られているが、意図的なベントの開始を制御できていたか。
- 逃がし弁の噴き出し圧7.4以上、閉止圧7.1のいずれにも達していないのに圧力が振動しているメカニズムは何か。
- ベントの弁の開度は15%で一定のため、減圧速度が変わることは考えがたい。



第12回検討会
(R2.6.25)

1, 2号機及び3, 4号機ベント配管の汚染に関する解析

1号機の原子炉圧力及び格納容器圧力の推移

- 真空破壊弁でのバイパスによるD/W気相部からW/W気相部への直接放出の可能性
- 微少なバイパス部におけるエアロゾルの捕集の効果
- 環境への放出量と真空破壊弁バイパス時の沈着量の関係
- 真空破壊弁バイパス時のD/WとW/Wの圧力差
- 1F2、2F1での真空破壊弁の作動状況との比較
- 格納容器圧力の推移におけるヘッドフランジ部からの漏れモデル

検討会(第11回以降)

3号機の原子炉圧力及び格納容器圧力の推移

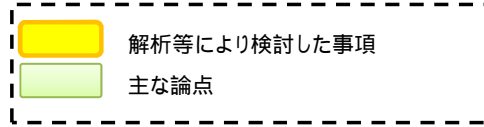
- 3号機のベントは1回目(3/13 9:20)と2回目(3/13 12:30)のみ成功と仮定
- 炉心損傷開始時間とHPCIによる炉心への注水量の関係
- S/Cスプレイ流量と格納容器圧力(D/W及びW/W)またはS/C水位の推移との関係
- HPCI注水量と原子炉圧力または原子炉水位の推移との関係
- 格納容器圧力及び原子炉圧力の推移における非凝縮性ガスによる加圧
- 炉心損傷開始時間、発生水素量、ベント時の炉心損傷割合

検討会(第11回以降)

ベントによる主要なFP移行経路の比較

- 1号機はFPが燃料デブリからD/Wへ直接放出された後、ベントを実施
- 1号機のベントはD/Wに存在するFP量が極めて多い
- 3号機は1回目ベントまでの炉心損傷の度合いが低いが、2回目ベントまでに炉心損傷が進展
- 3号機のベントは一度スクラッピングされるため存在するFP量は少ない
- ベント時のスクラッピング効果は原子炉容器下部ヘッド破損前の場合、破損後よりも除染効果が高い

検討会(第11回以降)



第10回検討会
(R2.2.4)

2号機原子炉建屋オペフロの汚染状況

汚染密度の分布

- 北側壁及び東側壁の汚染が高く、天井部の汚染は低い。
- 壁部分の汚染は比較的残っているが、床部分は除染の結果、汚染は比較的低い
- 南側壁(燃料取扱い室上部)、北側壁(ダクト部)に局所的に高い汚染箇所がある
- オペフロ内での蒸気の流れや汚染核種の情報が得られる可能性

試料分析

- ドレンサンプル水は、スペクトルサーベイメータ(LaBr3検出器)の測定で1.5MeVのエネルギーピークを観測
- ゲルマニウム検出器による詳細分析、α、β、γ線等の測定が必要
- 主な放射性物質の存在比を取得する

直接線と散乱線の影響

- シールドプラグ付近は比較的汚染が高く、シールドプラグの下からくる散乱線の影響について、直接線との比較が必要
- 解析の精度、分析の幅を広げるため、ベータ核種のデータ(ベータ核種による汚染データ)が必要

ベントラインの流量分配

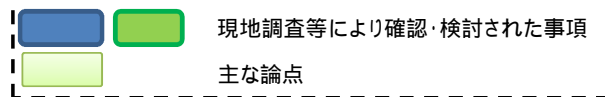
- 可能な限り、実機の配管系や配管の敷設状態を模擬
- 流量分配の律速となる圧力損失の要因を検討
- 圧力損失としては、配管長さよりも流路の断面積が重要
- 配管等の汚染状況と流量分配の結果を比較
- 圧力損失の実測を検討

建屋DF

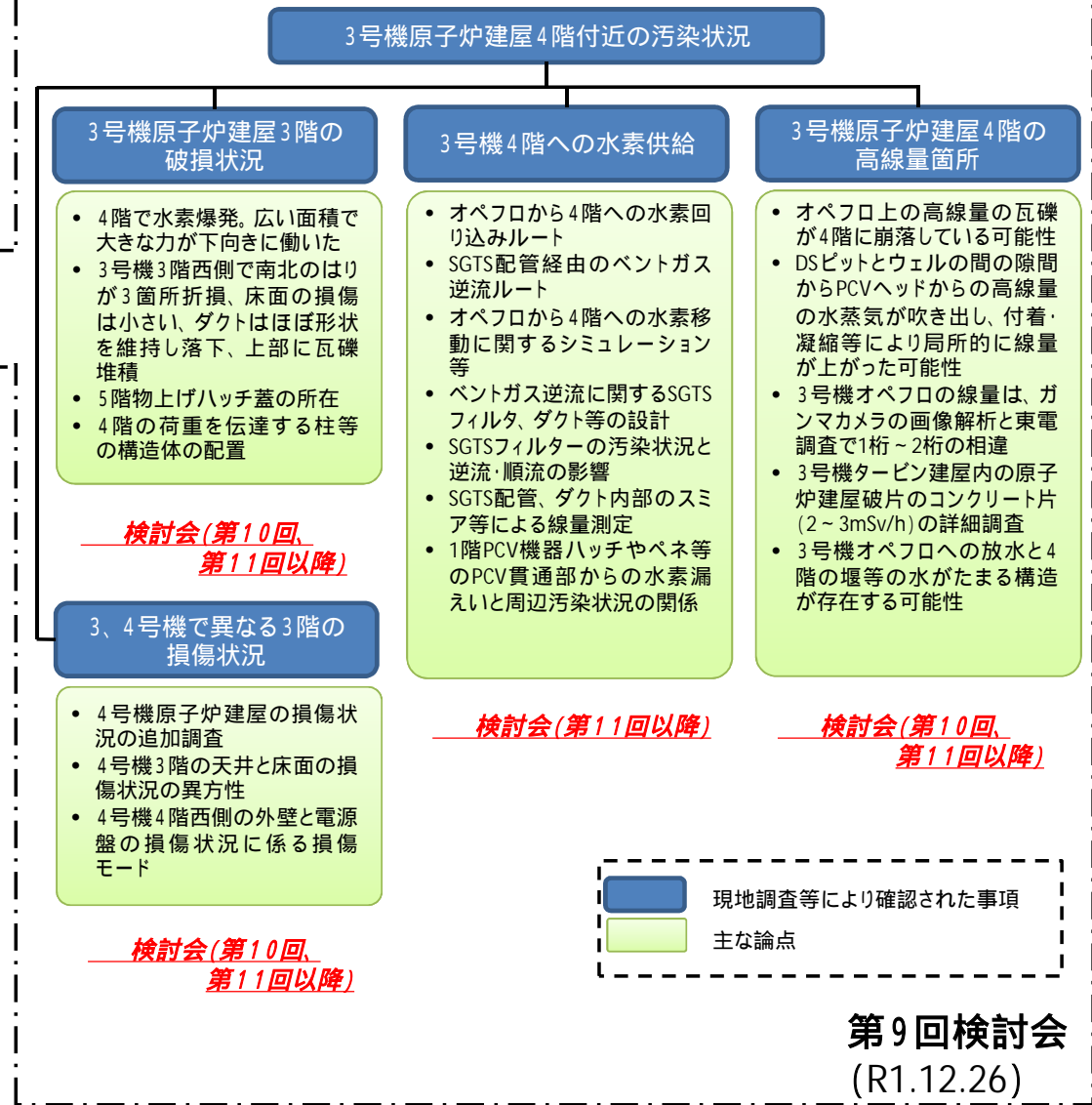
- 壁部と天井部、床部で汚染の程度が異なる。
- 局所的に高い汚染箇所があり、オペフロ内での蒸気の流れが想定される

SGTS配管内部調査

- 比較的局所で4.3Sv/hの高い線量を測定
- ドレンサンプル水において、減衰を考慮しても高濃度の値が続いている
- 水酸基等を考慮した水による汚染源の供給と除去の関係
- 全ベータ値の精査が必要(ストロンチウム以外の主要構成要素)



第11回検討会
(R2.3.27)



前回会合(6月25日)における論点の整理(案)

～ 1～3号機シールドプラグの汚染状況等 ～

調査・分析項目等	第12回会合(R2.6.25)における論点整理(案)	
<p>2) 放射性物質の放出経路 【1 / 2】 3号機原子炉建屋(R/B) 4階付近の汚染 3号機原子炉格納容器(PCV)フランジヘッド 各号機漏えい(PCVペネ、トップヘッドフラン(THF)) 建屋除染係数(DF) 1号機R/Bオペフロ ウェルプラグ</p> <p>内容・論点</p> <ul style="list-style-type: none"> ✓ 3号機R/B 4階付近の高い汚染 ✓ 1,2号機R/B内部の3,4号機よりも高い汚染 ✓ モニタリングポスト(MP)観測データと放射性物質の放出経路・時期(THFの破損及びイベント等)等 	<p>オペレーティングフロアを中心とした線量測定の結果から、どの程度の放射性物質がシールドプラグの周辺に滞留してとどまっているか検討</p>	<p>大気中に出た放射性物質が15PBqで済んだのは、シールドプラグで70PBq(2号機)、30PBq(3号機)が捕獲されたからか。</p> <p>1号機のシールドプラグの下が0.1PBqであったことは、放出はされたがシールドプラグに捕獲されなかったからか。落下している屋根の下にあるのか、もともと出なかったのか。(外部のモニタリングポストの議論ができるときに併せて議論)</p> <p>シールドプラグの垂直面の間隙、外周部の汚染の寄与を考慮すべき。(測定することに制約があるため、どこまで考慮する意味があるか今後議論)</p> <p>シールドプラグの汚染が全体の何割なのかが重要である。シールドプラグの1面、2面、3面だけでなく、ウェルも汚染していると考えられるため、合わせて推計することが必要である。</p> <p>格納容器のトップヘッドのところからの放射性物質の抜けやすさがどう違っていたのか。</p>

調査・分析項目等	第12回会合(R2.6.25)における論点整理(案)	
<p>2) 放射性物質の放出経路 【1 / 2】 3号機原子炉建屋(R/B) 4階付近の汚染 3号機原子炉格納容器(PCV)フランジヘッド 各号機漏えい(PCVペネ、 トップヘッドフラン(THF)) 建屋除染係数(DF) 1号機R/Bオペフロ ウェルプラグ</p> <p>内容・論点</p> <ul style="list-style-type: none"> ✓3号機R/B 4階付近の高い汚染 ✓1,2号機R/B内部の3,4号機よりも高い汚染 ✓モニタリングポスト(MP)観測データと放射性物質の放出経路・時期(THFの破損及びベント等)等 	<p>オペレーティングフロアを中心とした線量測定の結果から、どの程度の放射性物質がシールドプラグの周辺に滞留してとどまっているか検討</p> <p style="text-align: center;">➡</p>	<p>注水及び水蒸気による駆動説について、モデル化と輸送計算を行う価値がある。</p> <p>2号機と3号機の場合は、水蒸気で運ばれて凝縮してシールドプラグに付着したのに対し、1号機の場合は、そのような現象があまり顕著ではなかったことも考えられる。</p>

調査・分析項目等	第12回会合(R2.6.25)における論点整理(案)	
<p>3) 原子炉の冷却に関する設計等【1 / 2】</p> <p>1号機非常用復水器(IC) 3号機自動減圧系(ADS) 消防車による原子炉注水 (設計、運転記録等の基礎情報)</p> <div style="border: 1px solid red; padding: 5px; margin-top: 10px;"> <p>内容・論点</p> <ul style="list-style-type: none"> ✓ 炉心冷却系におけるICの設計(起動条件、機能要求等) ✓ ADSの設計(作動条件、インターロック設定、S/C過圧状態の考慮等) ✓ 注水に係るライン(経路)、バイパス流、注入水量等 </div>	<p>圧力容器及び格納容器の圧力による設備や機器の動作の状況及び内包されている水の状態に関する検討</p>	<p>複数の逃がし安全弁が同時に動作していた可能性について、アキュムレータの窒素が大分減少してしまったのは、開信号がきていても全開にできなくなってしまって、中間開のような状態だったからか。</p>
		<p>HP CIが停止した後のSR弁の動作は、逃がし弁として機能しているのか、あるいは安全弁として機能しているのか。窒素の供給は回復したのか。</p>
		<p>ADS(自動減圧系)の開によって減圧された後の弁の開状態が維持されて、圧力容器の減圧状態が維持されたのか。</p>
		<p>格納容器圧力について、PCVのベント成功回数は2回でよいか、3回目以降のベントは失敗したかどうか。</p> <p>ベントが成功する直前に、ADSの起動によってPCVの圧力が一気にラプチャーディスクの設定圧を超えたことによって、ベントが成功したと見られているが、意図的なベントの開始を制御できていたか。</p>

調査・分析項目等	第12回会合(R2.6.25)における論点整理(案)	
<p>3) 原子炉の冷却に関する設計等【1 / 2】</p> <p>1号機非常用復水器(IC) 3号機自動減圧系(ADS) 消防車による原子炉注水 (設計、運転記録等の基礎情報)</p> <div style="border: 1px solid red; padding: 5px; margin-top: 10px;"> <p>内容・論点</p> <ul style="list-style-type: none"> ✓ 炉心冷却系におけるICの設計(起動条件、機能要求等) ✓ ADSの設計(作動条件、インターロック設定、S/C過圧状態の考慮等) ✓ 注水に係るライン(経路)、バイパス流、注入水量等 </div>	<p>圧力容器及び格納容器の圧力による設備や機器の動作の状況及び内包されている水の状態に関する検討</p>	<p>逃がし弁の噴き出し圧7.4以上、閉止圧7.1のいずれにも達していないのに圧力が振動しているメカニズムは何か。</p>
		<p>S R弁が全開にならないと閉まらないというようなロジックがあるか。</p>
		<p>原子炉出口のところまでサブクール水がきてほとんど水蒸気がなくなっている。RCICから入れた水で全部冷やされたか。</p>
		<p>ベントの弁の開度は15%で一定のため、減圧速度が変わることは考えがたい。</p>

これまでの事故分析検討会における論点の整理

～ 第8～11回検討会 ～

調査・分析項目等	第11回会合(R2.3.27)における論点整理		対応状況
<p>2)放射性物質の放出経路 【1 / 1】</p> <p>3号機原子炉建屋(R/B) 4階付近の汚染 3号機原子炉格納容器(PCV)フランジヘッド 各号機漏えい(PCVペネ、トップヘッドフランジ(THF)) 建屋除染係数(DF) 1号機R/Bオペフロウエルプラグ</p> <p>内容・論点</p> <ul style="list-style-type: none"> ✓3号機R/B 4階付近の高い汚染 ✓1,2号機R/B内部の3,4号機よりも高い汚染 ✓モニタリングポスト(MP)観測データと放射性物質の放出経路・時期(THFの破損及びイベント)等 	<p>2号機オペレーティングフロアのガンマカメラによる測定結果を基にトップヘッドフランジの汚染状況、建屋DFを検討</p>	<p>海側となる東側壁にブローアウトパネルの開口部があり、北側壁及び東側壁に汚染が偏っている。天井部位の汚染は高くない。</p>	-
		<p>壁部分の汚染は比較的残っているが、床部分は除染の結果、汚染が比較的低くなっている。</p>	-
		<p><u>シールドプラグ付近は比較的汚染が高く、シールドプラグの下からくる散乱線の影響について、直接線との比較を含めて検討が必要。(次回以降議論)</u></p>	第12回会合で資料提示
		<p>→ <u>シールドプラグ付近の直接線と散乱線の比較検討において、解析の精度、分析の幅を広げるため、ベータ核種のデータ(ベータ核種による汚染)の検討を進めたい。(次回以降議論)</u></p>	
		<p><u>南側壁燃料取扱い室の上部、北側壁ダクト部に局所的に高い汚染箇所があることから、オペフロ内での蒸気の流れや汚染核種の情報が得られるのではないかと。(次回以降議論)</u></p>	

調査・分析項目等	第11回会合(R2.3.27)における論点整理		対応状況
<p>1) <u>耐圧強化ベント(AM対策)</u> <u>【1/3】</u> 1,2号機ベント配管の汚染 1～3号機耐圧強化ベント SGTS逆流汚染 RDの動作</p> <p><u>内容・論点</u></p> <ul style="list-style-type: none"> ✓ 1,2号機ベント配管の高い汚染 ✓ S/CにおけるDFの効果、蒸気凝縮の影響、真空破壊装置の機能維持 ✓ 1-3号機のベント成立性 	<p>1,2号機排気筒ドレンサンプル水のスペクトル分析結果の速報から試料分析の方向を検討</p>	<p>現場でのスペクトルサーベイメータ(LaBr3検出器)の測定から、ドレンサンプル水では、1.5Mevのエネルギー値にピークが観測された。</p>	-
		<p>試料分析として、排気筒に流入した放射性物質の組成の推定に有効な情報、特に主な放射性物質の存在比を取得する。</p>	-
		<p><u>試料分析にあたっては、現場測定でセシウム以外の核種のエネルギーピークが観測されているため、ゲルマニウム検出器による詳細分析、α、β、γ線等の測定が必要。(次回以降議論)</u></p>	
		<p><u>ドレンサンプル水の試料分析については、複数施設での分析をできないか検討する。(次回以降議論)</u></p>	

調査・分析項目等	第11回会合(R2.3.27)における論点整理		対応状況
<p>1) 耐圧強化ベント(AM対策) 【2/3】</p> <p>1,2号機ベント配管の汚染 1～3号機耐圧強化ベント SGTS逆流汚染 RDの動作</p> <p>内容・論点</p> <ul style="list-style-type: none"> ✓ 1,2号機ベント配管の高い汚染 ✓ S/CにおけるDFの効果、蒸気凝縮の影響、真空破壊装置の機能維持 ✓ 1-3号機のベント成立 	<p>1号機でベントされた気体が1号機原子炉建屋、2号機原子炉建屋、1,2号機主排気筒に各々どれくらい流入したのか格納容器ベントラインの流量分配について解析の方向を検討</p>	<p>可能な限り、実機の配管系や配管の敷設状態を模擬して流量分配を評価する。</p>	-
		<p><u>流量分配については、圧力損失としてSGTSのグラビティダンパやフィルタ等の何が律速になるのか。(次回以降議論)</u></p>	<p>第12回会合で資料提示</p>
		<p><u>圧力損失は、似た体系の圧損が把握できれば十分なので、例えば5,6号機での実測は検討できないか。(次回以降議論)</u></p>	
		<p>圧力損失としては、配管長さよりも流路の断面積の情報が重要と考えられる。</p>	-
		<p><u>測定された主排気筒及びSGTS配管の汚染の状況から逆算して圧力損失が推測できるか検討を行う。(次回以降議論)</u></p>	

調査・分析項目等	第11回会合(R2.3.27)における論点整理		対応状況
<p>1) 耐圧強化ベント(AM対策) 【3/3】 1,2号機ベント配管の汚染 1～3号機耐圧強化ベント SGTS逆流汚染 RDの動作</p> <p>内容・論点</p> <ul style="list-style-type: none"> ✓ 1,2号機ベント配管の高い汚染 ✓ S/CにおけるDFの効果、蒸気凝縮の影響、真空破壊装置の機能維持 ✓ 1~3号機のベント成立性 	<p>1/2号機SGTS配管の内部調査について、配管穿孔、内部確認、スミア測定等の調査概要を検討</p>	<p>1/2号機主排気筒へのSGTS配管の接続部の比較的局所で4.3Sv/hの高い線量が測定されている。主排気筒内部の構造を踏まえて線量の測定を行う。</p>	-
		<p>主排気筒のドレンサンプルピットの内包水の継続的な分析において、高濃度の値が継続しているが、減衰を考えれば、汚染源が供給され続けていることになる。</p>	-
		<p>ドレンサンプルピットの内包水の分析のため、水によって洗い流される量、水に溶けて供給される量については、<u>水酸基等の化学形を押さえて検討すべき。</u>（次回以降議論）</p>	
		<p><u>全ベータの測定値がストロンチウムの1,000倍の数値となっている。このベータのストロンチウム以外の主要な構成要素をきちんと把握すべき。</u>（次回以降議論）</p>	

調査・分析項目等	第10回会合(R2.2.4)における論点整理		対応状況
<p>1) 耐圧強化ベント(AM対策) 【1/5】 1,2号機ベント配管の汚染 1～3号機耐圧強化ベント SGTS逆流汚染 RDの動作</p> <p>内容・論点</p> <ul style="list-style-type: none"> ✓ 1,2号機ベント配管の高い汚染 ✓ S/CにおけるDFの効果、蒸気凝縮の影響、真空破壊装置の機能維持 ✓ 1-3号機のベント成立性 	<p>1号機と3号機のベントガスに含まれたセシウム量に相違が生じた主たる要因として、1号機真空破壊弁でのバイパスの可能性を検討</p>	<p>ベント時の系統の汚染に関する解析には非常に多くのパラメータを含むので感度解析の繰り返しが必要となる。</p>	-
		<p>今回の解析は、真空破壊弁を通してどういう挙動が、どれくらいの影響を持って起きるのかを主眼としており、起きたことを全て説明しようとするものではない。</p>	-
		<p>真空破壊弁のバイパスは、微小なものがあつたかもしれないが、全体の挙動に大きな影響を与えるものではないと考えられる。</p>	-
		<p><u>真空破壊弁への負荷については、作動状況に加えて過温状態の検討が必要。また、シーリング材への過温影響も考慮すべき。</u> (次回以降議論)</p>	<p>第11回会合で資料提示</p>
		<p><u>微小なバイパス部におけるエアロゾルの捕集による除染効果については、実験の適用範囲としてエアロゾルの流量等の確認が必要。</u> (次回議論)</p>	<p>第11回会合で資料提示</p>



調査・分析項目等	第10回会合(R2.2.4)における論点整理		対応状況
<p>1) 耐圧強化ベント(AM対策) 【2/5】 1,2号機ベント配管の汚染 1～3号機耐圧強化ベント SGTS逆流汚染 RDの動作</p> <p>内容・論点</p> <ul style="list-style-type: none"> ✓ 1,2号機ベント配管の高い汚染 ✓ S/CにおけるDFの効果、蒸気凝縮の影響、真空破壊装置の機能維持 ✓ 1-3号機のベント成立性 	<p>1号機と3号機のベントガスに含まれたセシウム量に相違が生じた主たる要因として、1号機真空破壊弁でのバイパスの可能性を検討</p>	<p>1号機格納容器は圧力が計測されるくらいの漏えい率の状態、3号機格納容器はほぼ大気圧と同じくらいの状態となっていた。</p>	-
		<p><u>1号機D/WとW/Wの圧力差の推移と実測値はベント時に整合していない。圧力差の議論では留意すべき。(次回以降議論)</u></p>	第11回会合で資料提示
		<p><u>D/WとW/Wの圧力差については、格納容器ヘッドフランジからの漏えい量と格納容器圧力の定量的な評価が必要ではないか。(次回以降議論)</u></p>	第11回会合で資料提示 第12回会合で資料提示
		<p><u>D/WとW/Wの圧力差については、安全弁の系統の温度上昇による水素のシートリークの可能性等の検討が必要。(次回以降議論)</u></p>	第11回会合で資料提示
		<p><u>D/W及びW/Wの圧力挙動については、1F2号機及び2F1号機の真空破壊弁の不調とその際の各圧力の実測値をもとに検討が必要。(次回議論)</u></p>	第11回会合で資料提示



調査・分析項目等	第10回会合(R2.2.4)における論点整理		対応状況
<p>1) 耐圧強化ベント(AM対策) 【3/5】 1,2号機ベント配管の汚染 1～3号機耐圧強化ベント SGTS逆流汚染 RDの動作</p> <p>内容・論点</p> <ul style="list-style-type: none"> ✓ 1,2号機ベント配管の高い汚染 ✓ S/CにおけるDFの効果、蒸気凝縮の影響、真空破壊装置の機能維持 ✓ 1-3号機のベント成立性 	<p>1号機と3号機のベントガスに含まれたセシウム量に相違が生じた主たる要因として、1号機真空破壊弁でのバイパスの可能性を検討</p> <p style="text-align: right;">➡</p>	<p><u>環境への放出量と沈着量については、1号機S/C上部の線量調査の不確かさを踏まえた検討が必要。(次回以降議論)</u></p>	
		<p><u>S/Cのベローズの漏えいによるFPDの沈着等への影響の確認が必要。(次々回以降議論)</u></p>	
		<p><u>環境への放出量はベント時のSGTS配管及びスタックへの沈着量を踏まえた検討が必要。(次回以降議論)</u></p>	<p><u>第11回会合で資料提示</u> <u>第12回会合で資料提示</u></p>
	<p>1号機と3号機の事故進展(炉心損傷時期と状態等)及びベント時の格納容器内の状態を比較検討</p>	<p>1号機のベントは、炉心損傷から約20時間程度と考えられる。ほぼ全量が炉心損傷し、下部ヘッドも破損していたと考えられる。</p>	-
		<p>3号機のベントは、1回目は炉心損傷から約5時間程度、2回目は約9時間程度と考えられる。下部ヘッドは健全であったと考えられる。</p>	-
		<p>➡</p> <p><u>1号機のベント回数については、スタック解体に伴うスタック内側のスミアによる核種分析により物理的にチェックすべきではないか。(次々回以降議論)</u></p>	<p><u>第11回会合で資料提示</u> <u>第12回会合で資料提示</u></p>

調査・分析項目等	第10回会合(R2.2.4)における論点整理		対応状況
<p>1) 耐圧強化ベント(AM対策) 【4/5】 1,2号機ベント配管の汚染 1～3号機耐圧強化ベント SGTS逆流汚染 RDの動作</p> <p>内容・論点</p> <ul style="list-style-type: none"> ✓ 1,2号機ベント配管の高い汚染 ✓ S/CにおけるDFの効果、蒸気凝縮の影響、真空破壊装置の機能維持 ✓ 1-3号機のベント成立性 	<p>1号機と3号機の事故進展(炉心損傷時期と状態等)及びベント時の格納容器内の状態を比較検討</p>	<p>1号機の場合には、ベント開始までに原子炉容器の下部ヘッドが破損しており、D/Wに多量のFPが存在していたと考えられる。</p>	-
		<p>3号機の場合には、ベントガスが2回スクラビングされ、D/Wの汚染状況が少なかったと考えられる。</p>	-
		<p>3号機のベント前後において、D/Wの圧力がW/Wの圧力よりも高い。原子炉容器から格納容器への直接パス等の要因の検討が必要。(次回以降議論)</p>	<p>第11回会合で資料提示 第12回会合で資料提示</p>
		<p>D/WとW/Wの圧力差については、圧力計のドリフトも考えられるが、事象の解明は困難と考えられる。</p>	-
		<p>ベント時のスクラビングの効果は、原子炉容器の下部ヘッド破損前の場合、主としてクエンチャー出口でプールスクラビングされるため、除染の効果が高いと考えられる。</p>	-

調査・分析項目等	第10回会合(R2.2.4)における論点整理		対応状況
<p>1) <u>耐圧強化ベント(AM対策)</u> <u>[5/5]</u> 1,2号機ベント配管の汚染 1～3号機耐圧強化ベント SGTS逆流汚染 RDの動作</p> <p>内容・論点</p> <ul style="list-style-type: none"> ✓ 1,2号機ベント配管の高い汚染 ✓ S/CにおけるDFの効果、蒸気凝縮の影響、真空破壊装置の機能維持 ✓ 1-3号機のベント成立性 	<p>1号機と3号機の事故進展(炉心損傷時期と状態等)及びベント時の格納容器内の状態を比較検討</p>	<p><u>ベント時のスクラビング効果は、水位の影響が大きい。S/Cスプレイを行っていた3号機と行っていない1号機の比較検討も必要ではないか。(次回以降議論)</u></p>	<p>第11回会合で資料提示</p>
	<p>→</p>	<p><u>1号機と3号機のベント時のスクラビング効果の差は、現地調査で確認されたSGTS配管の汚染程度の差と整合しているのか検討が必要。(次回以降議論)</u></p>	<p>第11回会合で資料提示</p>
		<p><u>D/Wに存在するFP量については、米国サンディア国立研究所の解析でMSLの破壊によるD/Wへの大量のFP放出の意見もあり、議論が必要。(次々回以降議論)</u></p>	<p>第11回会合で資料提示</p>

調査・分析項目等	第9回会合(R1.12.26)における論点整理		対応状況
<p>2) 放射性物質の放出経路 【1 / 3】</p> <p>3号機原子炉建屋(R/B) 4階付近の汚染 3号機原子炉格納容器(PCV)フランジヘッド 各号機漏えい(PCVペネ、 トップヘッドフランジ(THF)) 建屋除染係数(DF) 1号機R/Bオペフロウエル プラグ</p> <p>内容・論点</p> <ul style="list-style-type: none"> ✓ 3号機R/B 4階付近の高い汚染 ✓ 1,2号機R/B内部の3,4号機よりも高い汚染 ✓ モニタリングポスト(MP)観測データと放射性物質の放出経路・時期(THFの破損及びベント等)等 	<p>3号機原子炉建屋3階の損傷状況から4階で水素爆発が起きたのではないか。</p> <ul style="list-style-type: none"> ・3階西側で南北のはりが3箇所折損 ・3階床面は4号機と比べて損傷が少ない ・ダクトは、ほぼ形状を維持して落下、その上に天井からの瓦礫が堆積 ・明確な燃焼痕は見られない 	<p>はり等の損傷状況から、4階で水素爆発が起きて、広い面積で大きな力が下向きに(4階から3階に向けて)働いたと考えられる。</p>	-
	<ul style="list-style-type: none"> ・ダクト、床面の損傷状況からは、3階で爆発はなかったと考えられる。 		-
	<ul style="list-style-type: none"> ・ダクトは、ほぼ形状を維持して落下、その上に天井からの瓦礫が堆積 	<p><u>物上げハッチの蓋は5階で閉まっており、爆発の起点の検討(5階または4階)のため蓋がどこに行ったのか確認が必要。(次回以降議論)</u></p>	
		<p><u>爆発の荷重伝達の検討のため、3号機4階の構造(柱等)の確認が必要。(次回議論)</u></p>	第10回会合で資料提示
	<p>3号機と4号機では原子炉建屋3階の損傷状況が異なる。</p>	<p><u>爆発の損傷モードを比較検討するため、4号機原子炉建屋の損傷状況の追加調査が必要。(次回以降議論)</u></p>	第10回会合で資料提示
	<p><u>4号機4階西側の外壁損傷と外壁手前の電源盤の損傷に係る損傷モードの検討が必要。(次々回以降議論)</u></p>		

調査・分析項目等	第9回会合(R1.12.26)における論点整理		対応状況
<p>2)放射性物質の放出経路 【2 / 3】 3号機原子炉建屋(R/B) 4階付近の汚染 3号機原子炉格納容器(PCV)フランジヘッド 各号機漏えい(PCVペネ、 トップヘッドフランジ(THF)) 建屋除染係数(DF) 1号機R/Bオペフロウェル プラグ</p> <p>内容・論点 ✓3号機R/B 4階付近の高い汚染 ✓1,2号機R/B内部の3,4号機よりも高い汚染 ✓モニタリングポスト(MP)観測データと放射性物質の放出経路・時期(THFの破損及びベント等)等</p>	<p>3号機原子炉建屋4階で水素爆発があった場合、水素の供給はどのように行われたのか。 PCVヘッドからオペフロに放出された水素が物上げハッチ等の開口部を通過して4階に降りてくる経路 ベント時の水素がSGTS配管を通過して4階に供給される経路</p>	<p><u>オペフロの水素供給から4階への水素の移動に関する既存シミュレーション等の確認が必要。(次回以降議論)</u></p>	
		<p><u>SGTS配管からのベントガスの逆流は、SGTSフィルターの汚染状況の確認、原子炉建屋内のダクトルート(配置図、吸込口位置等)の確認が必要。(次回以降議論)</u></p>	<p>第12回会合で資料提示</p>
		<p>3号機、4号機のSGTSフィルターには、スタック側から建屋側に線量分布の傾斜(逆流した形跡)が見られる。</p>	<p>-</p>
		<p><u>SGTSフィルターはA系とB系で汚染状況が異なるため、逆流・順流の検討が必要。(次回以降議論)</u></p>	
	<p>3号機1階PCV機器ハッチやペネ等のPCV貫通部からの水素漏えいの可能性。</p>	<p><u>格納容器から放出される水素はFPを伴うため、3号機1階の汚染状況と整合しているか確認が必要。(次回以降議論)</u></p>	<p>第11回会合で資料提示 第12回会合で資料提示</p>

調査・分析項目等	第9回会合(R1.12.26)における論点整理		対応状況
<p>2)放射性物質の放出経路 【3 / 3】 3号機原子炉建屋(R/B) 4階付近の汚染 3号機原子炉格納容器(PCV)フランジヘッド 各号機漏えい(PCVペネ、 トップヘッドフランジ(THF)) 建屋除染係数(DF) 1号機R/Bオペフロウェル プラグ</p> <p>内容・論点 ✓3号機R/B 4階付近の高い汚染 ✓1,2号機R/B内部の3,4号機よりも高い汚染 ✓モニタリングポスト(MP)観測データと放射性物質の放出経路・時期(THFの破損及びベント等)</p>	<p>3号機原子炉建屋4階付近にガンマカメラの線量測定で高線量の箇所が確認されている。 当該高線量箇所はどのように形成されたのか。 オペフロ上の高線量の瓦礫が4階に崩れ落ちている可能性 DSピットとウェルの間の隙間からPCVヘッドからの高線量の水蒸気が吹き出し、付着・凝縮等で局所的に線量が上がった可能性</p>	<p>3号機オペフロの汚染分布は、DSピットとウェル間の隙間から吹き出した高線量の水蒸気により局所的に高い部分がある。</p>	-
	<p>3号機2階のRCW熱交換器の線量は数mSv/h～数十mSv/hであり、RCWを經由して高線量のものが流れたとは考え難い。</p>	-	-
	<p>オペフロ上の高線量の瓦礫が4階に崩れ落ちている可能性 DSピットとウェルの間の隙間からPCVヘッドからの高線量の水蒸気が吹き出し、付着・凝縮等で局所的に線量が上がった可能性</p>	<p><u>3号機オペフロの線量は、ガンマカメラの画像解析では数百～千mSv/h、東電HDOの調査では15～20mSv/hと差があり、検討が必要。(次回以降議論)</u></p>	第12回会合で資料提示
	<p>オペフロ上の高線量の瓦礫が4階に崩れ落ちている可能性 DSピットとウェルの間の隙間からPCVヘッドからの高線量の水蒸気が吹き出し、付着・凝縮等で局所的に線量が上がった可能性</p>	<p><u>3号機タービン建屋内の原子炉建屋破片と考えられるコンクリート片(2～3mSv/h)の詳細調査が必要。(次々回以降議論)</u></p>	第11回会合で資料提示
	<p>オペフロ上の高線量の瓦礫が4階に崩れ落ちている可能性 DSピットとウェルの間の隙間からPCVヘッドからの高線量の水蒸気が吹き出し、付着・凝縮等で局所的に線量が上がった可能性</p>	<p><u>3号機オペフロへの放水と4階の堰等の水がたまる構造が存在する可能性の検討が必要。(次回議論)</u></p>	第10回会合で資料提示
<p>3号機3階のFPC熱交換室にスキマサージタンク経由でオペフロの高線量の水蒸気が流入した可能性。</p>	<p>経路的にはあり得るが、スキマサージタンク水は他よりも高線量となっておらず、可能性は低い。</p>	-	

調査・分析項目等	第8回会合(R1.11.28)における論点整理		対応状況
<p>1) 耐圧強化ベント(AM対策) 【1/4】 1,2号機ベント配管の汚染 1～3号機耐圧強化ベント SGTS逆流汚染 RDの動作</p> <p>内容・論点</p> <ul style="list-style-type: none"> ✓ 1,2号機ベント配管の高い汚染 ✓ S/CにおけるDFの効果、蒸気凝縮の影響、真空破壊装置の機能維持 ✓ 1-3号機のベント成立性 	<p>2号機はベントに成功しなかったのではないか。 →</p>	<p>2号機RDは結果として作動していない。 2号機ベントは成立していない。</p>	-
	<p>各号機のSGTS系の汚染状況から1,2号機と3,4号機は体系的に相似の関係と考えられる。 →</p>	<p>1,2号機と3,4号機のベント系の汚染は相似しており、FPと水素は1号機または3号機から供給された。</p>	-
		<p><u>GDは、ベント時に自号機への逆流および他号機への供給が生じている可能性があるため、逆流防止の性能確認が必要。(次回議論)</u></p>	<p><u>第10回会合で資料提示 第12回会合で資料提示</u></p>
		<p><u>2,4号機へのFP及び水素の逆流の経路、2,4号機の汚染の程度の差は更に確認が必要。(次回議論)</u></p>	<p><u>第10回会合で資料提示 第12回会合で資料提示</u></p>
	<p>1, 2号機スタック下部の高線量化の原因として、スタック内部の構造の影響が考えられる。 →</p>	<p><u>スタックへの配管接続方法が異なることからその構造の確認が必要。(次回議論)</u></p>	<p><u>第10回会合で資料提示 第12回会合で資料提示</u></p>

調査・分析項目等	第8回会合(R1.11.28)における論点整理		対応状況
<p>1) 耐圧強化ベント(AM対策) 【2/4】 1,2号機ベント配管の汚染 1～3号機耐圧強化ベント SGTS逆流汚染 RDの動作</p> <p>内容・論点</p> <ul style="list-style-type: none"> ✓ 1,2号機ベント配管の高い汚染 ✓ S/CにおけるDFの効果、蒸気凝縮の影響、真空破壊装置の機能維持 ✓ 1-3号機のベント成立性 	<p>1号機及び3号機の汚染状況から、数百倍の汚染レベルの相違がある。➡</p> <p>汚染の相違は、格納容器内のCs濃度と排出総量の差に依存していると考えられる。</p>	<p><u>1,3号機の炉心損傷の経緯、格納容器からの漏えい箇所、時期については更に検証が必要。</u> (次々回以降議論)</p>	<p>第10回会合で資料提示 第12回会合で資料提示</p>
	<p>汚染状況は、1号機と3号機の放出量について、平成24年5月の「福島第一原子力発電所事故における放射性物質の大気中への放出量の推定について」(東京電力HD株式会社)と相違がある。➡</p>	<p>東京電力から、平成24年5月の報告書は、環境の放射能汚染の状況を再現するような放出量を設定し、拡散評価するバックワード解析を基にしており、事故進展の挙動を反映しきれていない旨の回答があった。</p>	<p>-</p>

調査・分析項目等	第8回会合(R1.11.28)における論点整理		対応状況
<p>1) 耐圧強化ベント(AM対策) 【3/4】 1,2号機ベント配管の汚染 1～3号機耐圧強化ベント SGTS逆流汚染 RDの動作</p> <p>内容・論点</p> <ul style="list-style-type: none"> ✓ 1,2号機ベント配管の高い汚染 ✓ S/CにおけるDFの効果、蒸気凝縮の影響、真空破壊装置の機能維持 ✓ 1-3号機のベント成立性 	<p>配管等における蒸気凝縮の影響。 ベント時の排気は非常に水蒸気濃度の高い排気となっていると考えられ、水蒸気の凝縮がCsの配管への付着に大きく影響していると考えられる。</p>	<p><u>1号機は、ドライなガスが高温で放出、3号機は、低い温度の水蒸気を多く含んだウェットなガスが放出されたと考えられる。</u> (次々回以降議論)</p>	<p>第10回会合で資料提示</p>
		<p><u>1, 2号機SGTS配管の高温履歴の確認とベントガスとの関連性を確認することが必要。</u> (次々回以降議論)</p>	<p>第12回会合で資料提示</p>
		<p>ベント時の排気系の汚染程度を算出するシミュレーションと観測結果の比較検討を行う。 (次々回以降議論)</p>	<p>第10回会合で資料提示</p>
		<p><u>3号機は、原子炉圧力、D/W圧力、S/C圧力の推移から2回のベントが成功、1号機は、1回のベントが成功したと考えられる。</u> (次々回以降議論)</p>	<p>第10回会合で資料提示 第12回会合で資料提示</p>
		<p><u>3号機の原子炉圧力の急速な低下(13日午前9時頃)については、サンディア研究所等の仮説を確認することが必要。</u> (次々回以降議論)</p>	<p>第12回会合で資料提示</p>

調査・分析項目等	第8回会合(R1.11.28)における論点整理		対応状況
<p>1) 耐圧強化ベント(AM対策) 【4/4】 1,2号機ベント配管の汚染 1～3号機耐圧強化ベント SGTS逆流汚染 RDの動作</p> <p>内容・論点</p> <ul style="list-style-type: none"> ✓ 1,2号機ベント配管の高い汚染 ✓ S/CにおけるDFの効果、蒸気凝縮の影響、真空破壊装置の機能維持 ✓ 1～3号機のベント成立性 	<p>S/C水のサブクール度や減圧沸騰の有無によるDF効果への影響はあるのか。</p>	<p><u>スクラビングの効果は、サブクールや減圧沸騰の有無よりも水深がDFの効果に影響すると考えられる。</u> <u>(次々回以降議論)</u></p>	<p>第11回会合で資料提示</p>
	<p>→</p>	<p><u>スクラビングによるDF効果について幾つかの研究結果があり、議論が必要。</u> <u>(次々回以降議論)</u></p>	<p>第11回会合で資料提示</p>
	<p>1号機S/C内の真空破壊弁周辺に高い汚染が確認されている。</p> <p>→</p>	<p><u>1号機ベントは、S/Cの真空破壊弁を通じたスクラビングされていないベントガス放出の可能性。更なる確認が必要。</u> <u>(次々回以降議論)</u></p>	<p>第10回会合で資料提示</p>

事故分析検討会における主な検討項目

<p>➤ 第12回事故分析検討会 [令和2年6月25日(木)]</p> <ul style="list-style-type: none"> 原子炉格納容器破損時の水素及び核分裂生成物の挙動 1～3号機原子炉建屋における線源調査 3号機原子炉格納容器内の圧力挙動からの考察 3号機の原子炉圧力及び格納容器圧力の挙動 これまでの論点整理 [東電HD] 1/2号機SGTS配管撤去に向けた現場調査の実施状況 	<p>➤ 第9回事故分析検討会 [令和1年12月26日(木)]</p> <ul style="list-style-type: none"> 3uR/B3階の調査結果 第8回の論点整理(ベント配管汚染) [参考] 現地調査等の概要(耐圧強化ベントライン) [東電HD] 3uベントガスから4uR/Bへの流入割合
<p>➤ 第11回事故分析検討会 [令和2年3月27日(金)]</p> <ul style="list-style-type: none"> S/Cのスクラビング効果 ベント配管の汚染に関する解析等(第2回) 2号機オペフロのガンマカメラによる測定結果 1,2号機排気筒ドレンサンプル水の分析 これまでの論点整理 [参考] 科学的・技術的意見 [JAEA] 試料分析の計画 [東電HD] 1/2号機SGTS配管現場調査 	<p>➤ 第8回事故分析検討会 [令和1年11月28日(木)]</p> <ul style="list-style-type: none"> 耐圧強化ベントラインの汚染状況 プールスクラビングによるエアロゾル除去効果実験 [参考] 計装機器の指示値及びプラントデータの推移等 [東電HD] 3uPCV漏えいと蒸気放出
<p>➤ 第10回事故分析検討会 [令和2年2月4日(火)]</p> <ul style="list-style-type: none"> ベント配管の汚染に関する解析等 現地調査結果(4uR/B,2uオペフロ) 第9回の論点整理(3uR/Bの汚染) [参考] ベント設計、スタック線量推移等 [東電HD] 3uPCV機器ハッチ、1u水素爆発解析、1uPCV上蓋 	<p>➤ 第7回事故分析検討会 [令和1年10月18日(金)]</p> <ul style="list-style-type: none"> 検討会の実施 当面の調査・分析項目

福島第2原子力発電所1号機 の格納容器圧力挙動について

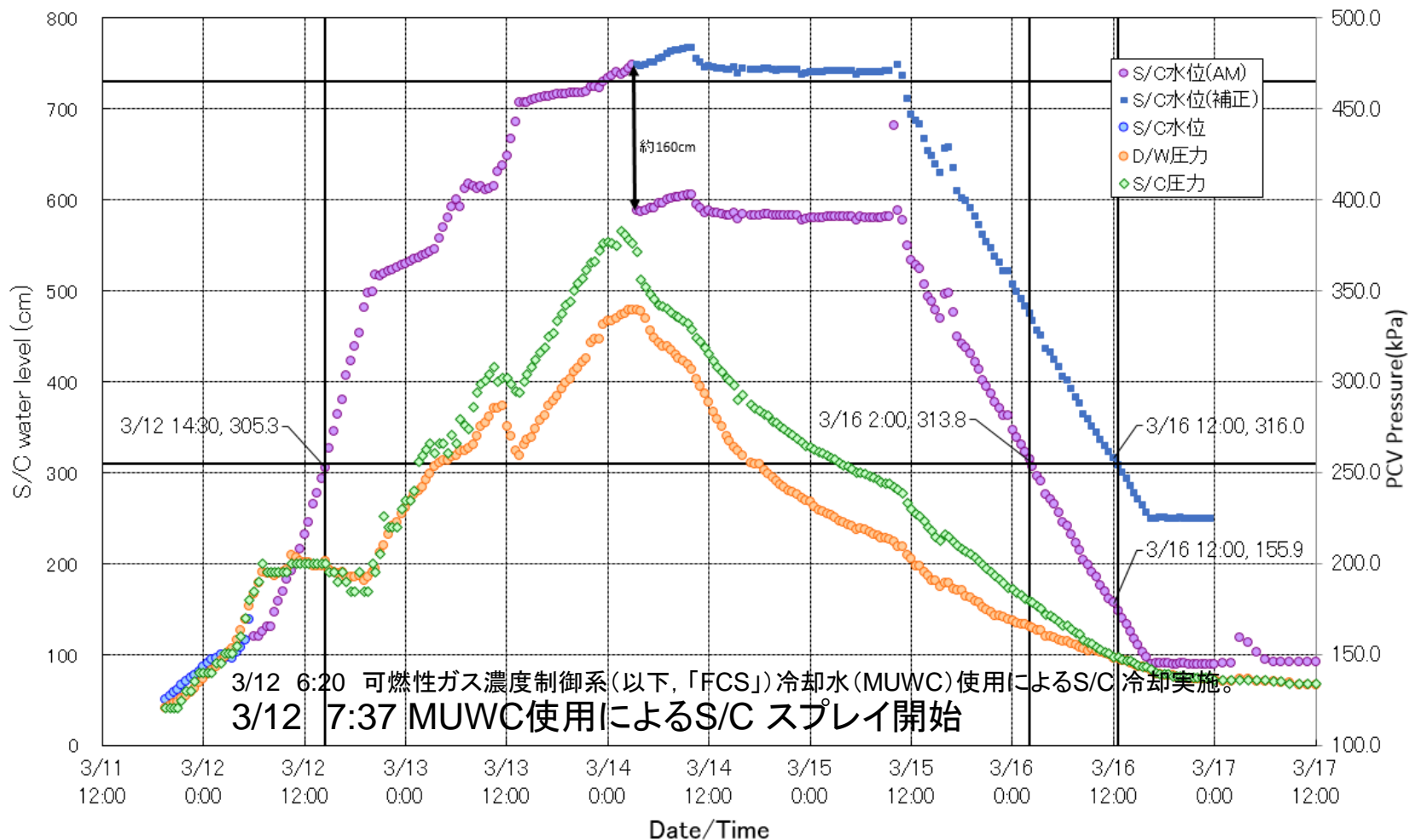
2020年9月3日

1. はじめに

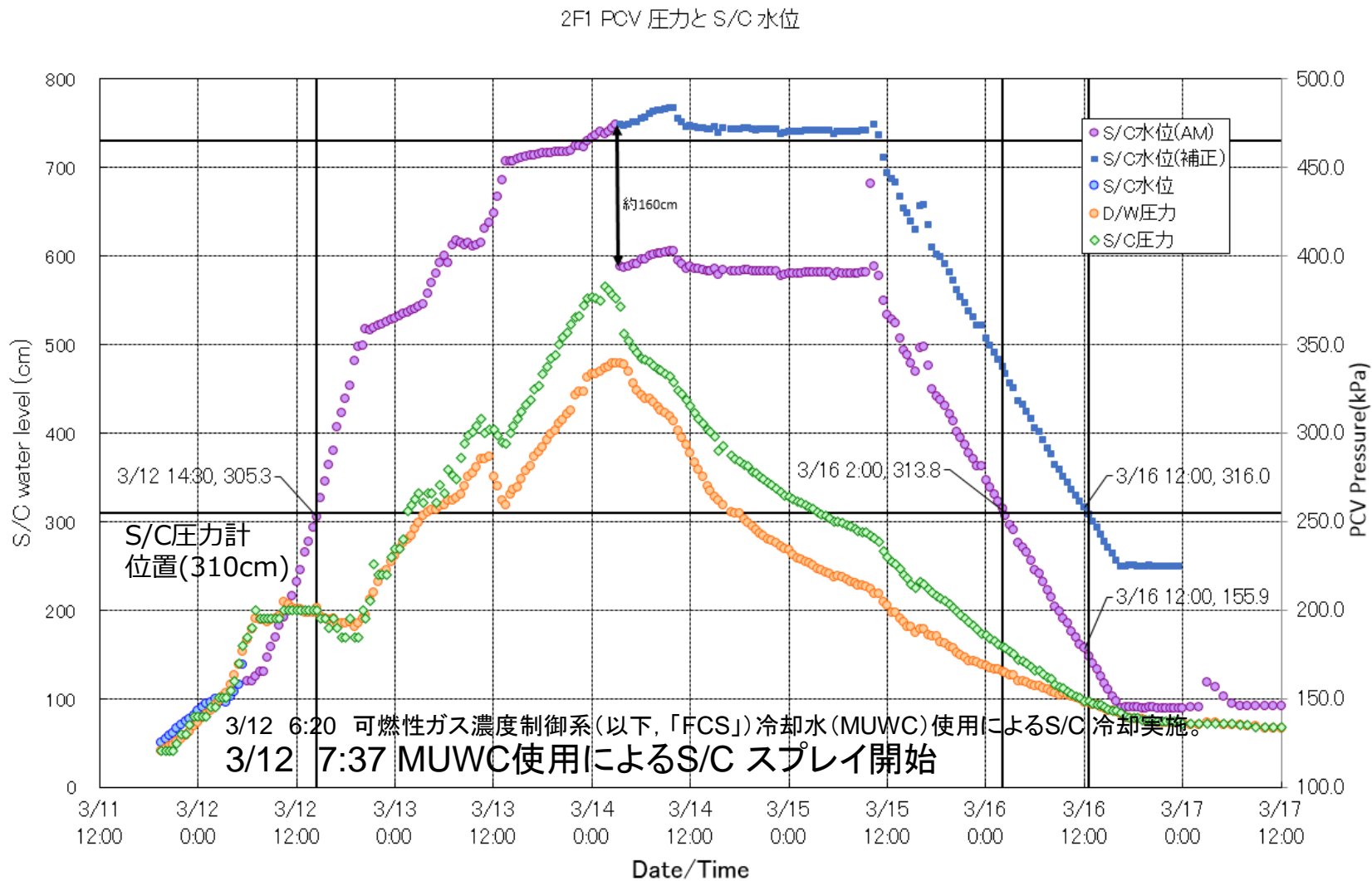
- 第11回の事故分析検討会において、福島第二原子力発電所1号機（以下、「2F1」という）の真空破壊弁のガスケットずれについて議論があった。
- ガスケットずれによるD/WとS/C間の気体の流れについては、2F1の冷温停止までの期間にS/C圧力> D/W圧力となる期間が確認できることから、S/CとD/Wに圧力差が発生し、自由に気体が行れる状況にはなかったことが確認された。
- 一方で、この圧力差は真空破壊弁の作動圧よりも高く、本来は均圧化されていなくてはならない、S/C圧力> D/W圧力の状況にあって、真空破壊弁に期待される機能が果たされていないのではないかとこの質問があった
- 本資料は当該期間中のS/C圧力のD/W圧力の測定値の関係について、設計・運転員操作情報に基づき説明する。

2. PCV圧力と水位の関係

2F1 PCV 圧力と S/C 水位

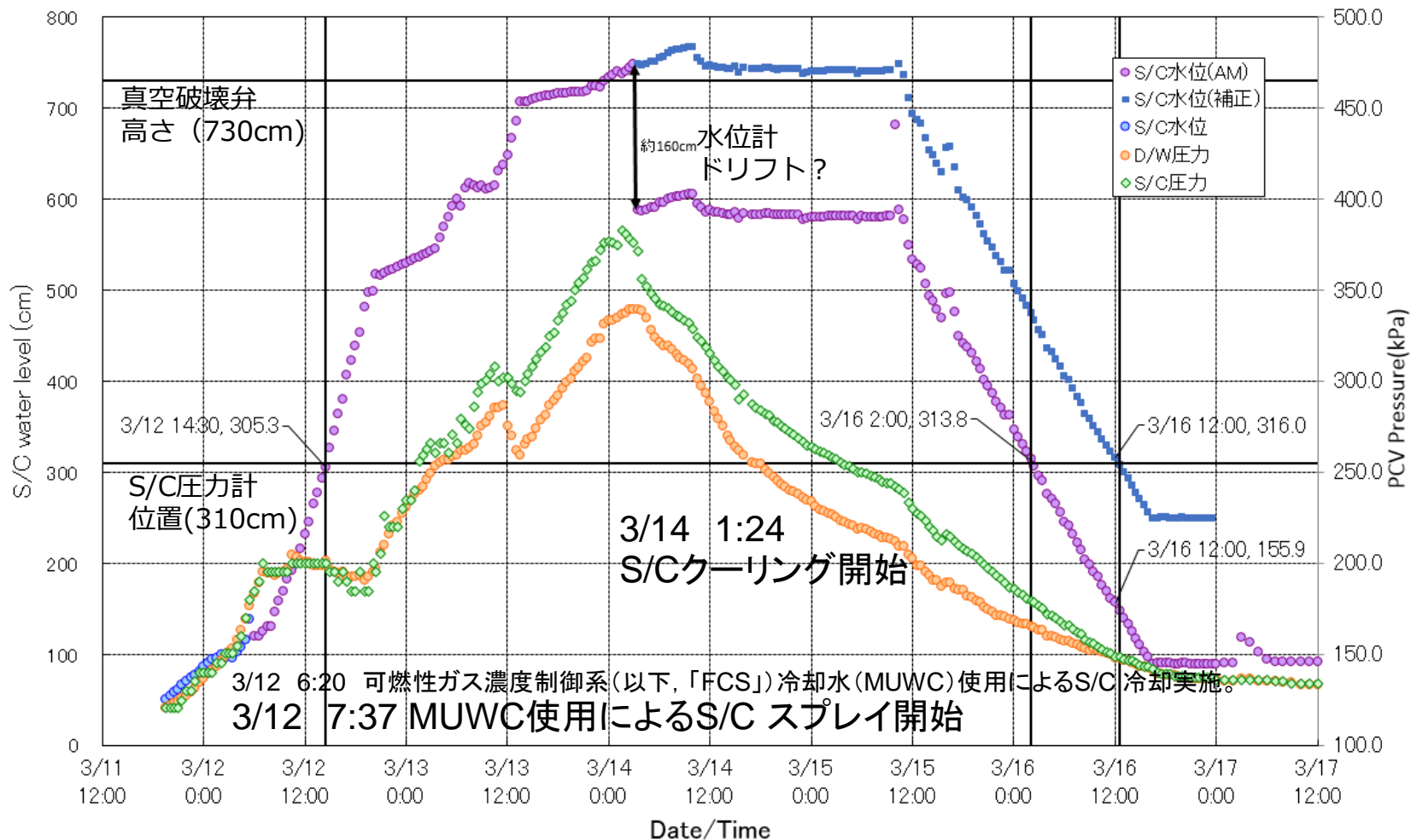


2. PCV圧力と水位の関係

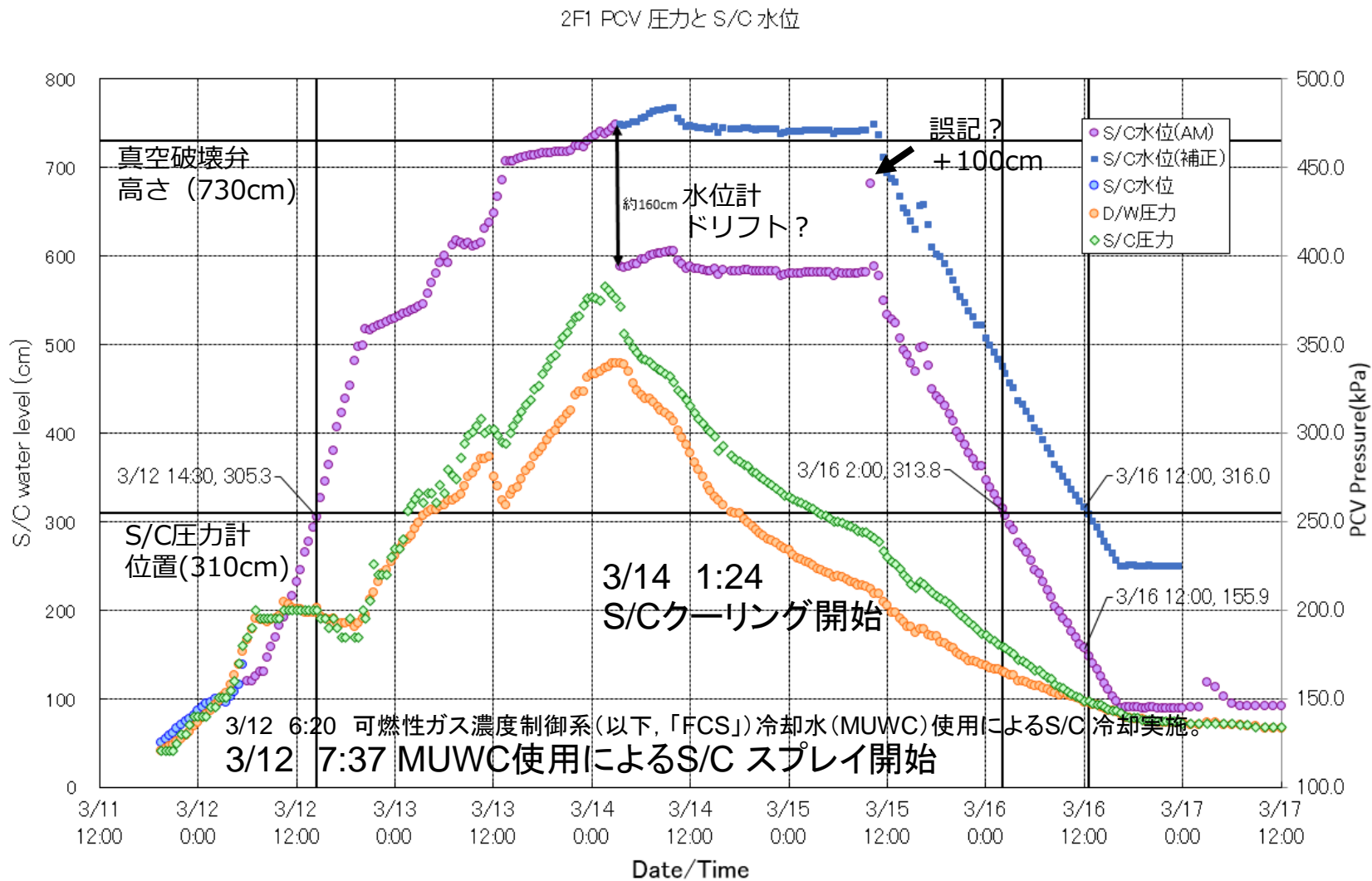


2. PCV圧力と水位の関係

2F1 PCV 圧力と S/C 水位

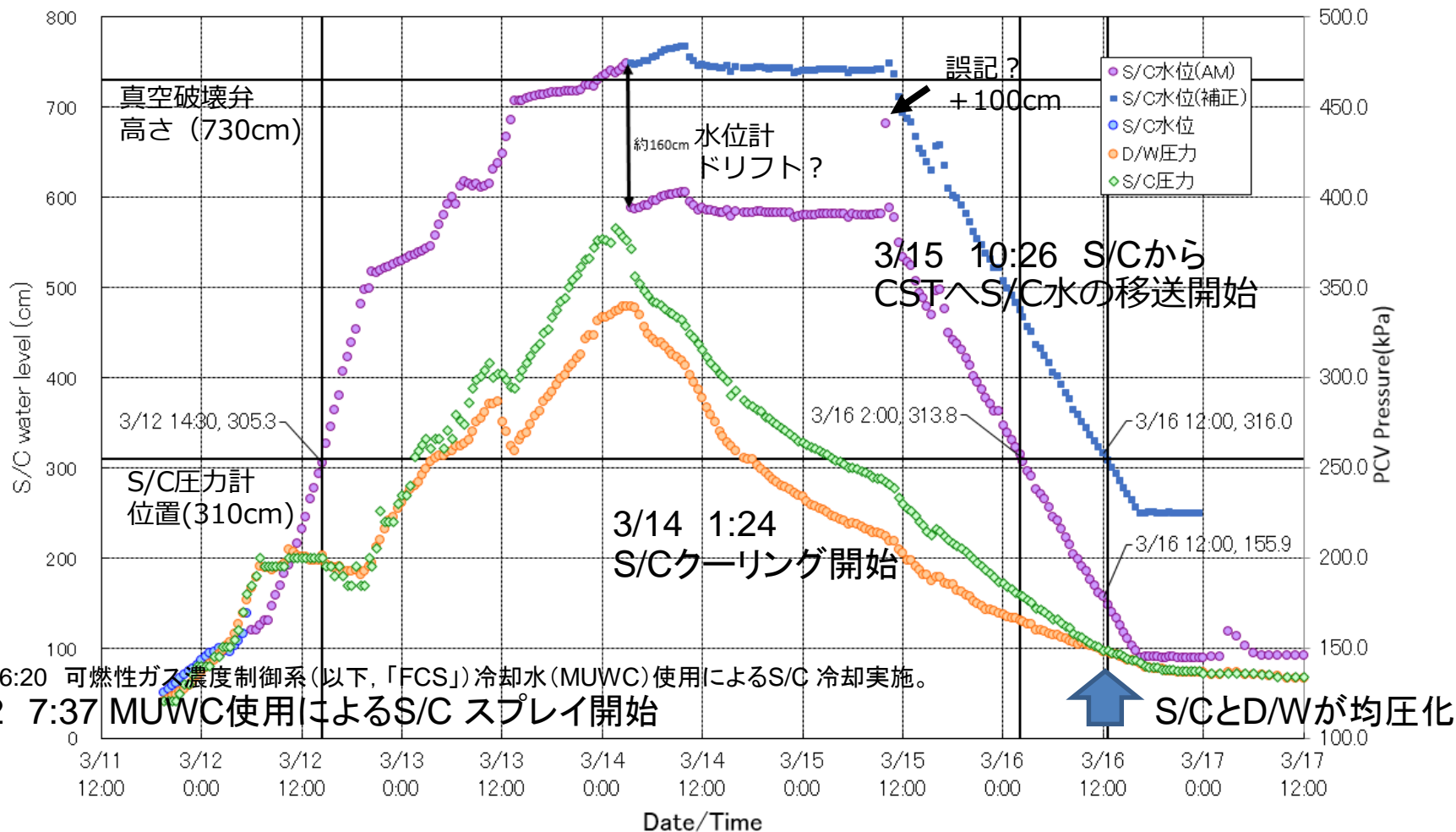


2. PCV圧力と水位の関係



2. PCV圧力と水位の関係

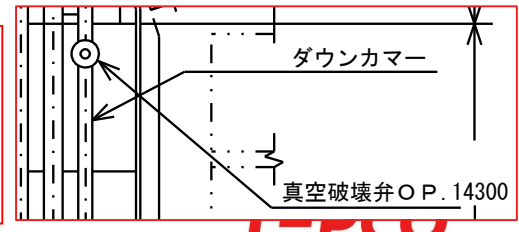
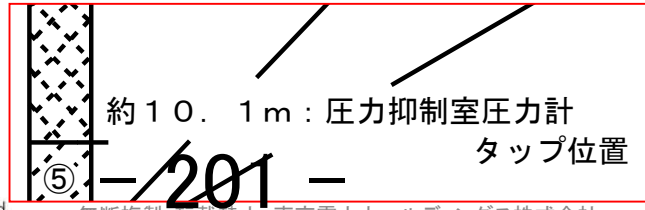
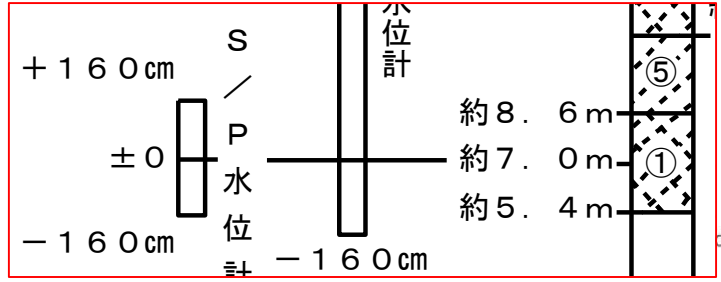
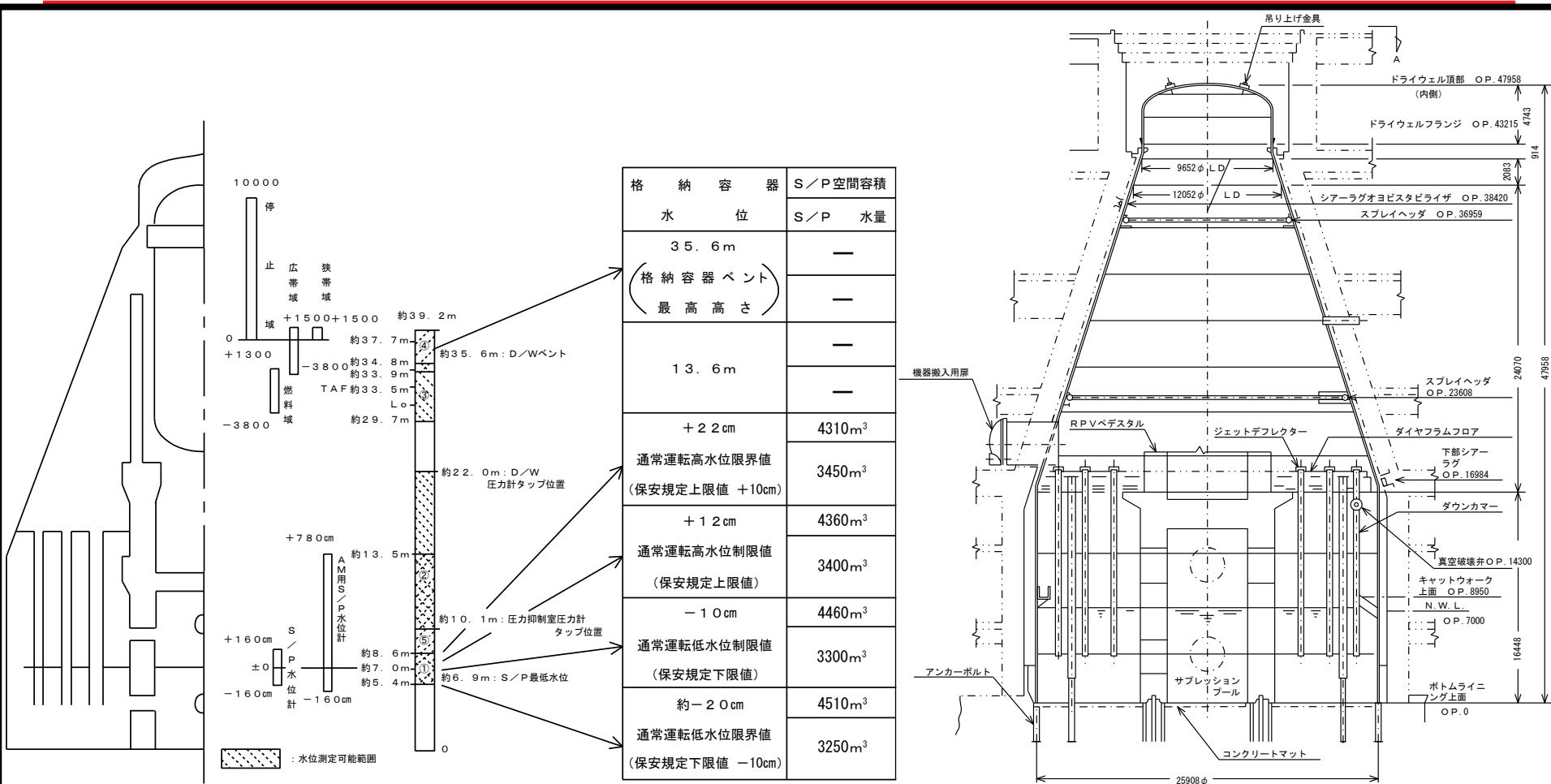
2F1 PCV 圧力と S/C 水位



3. まとめ

- 2F1の格納容器圧力（D/W圧力、S/C圧力）挙動について検討を行った。
- 2F1のS/C圧力計の設置位置（通常水位+310cm）を考慮すると、 $D/W圧力 + 水頭圧 = S/C圧力$ との関係となっていることがわかった。
- 2F1の真空破壊弁は、東日本大震災に伴う事故時において、その機能を喪失していないと考えられる。

参考図



福島第一原子力発電所3号機 のRCIC運転中の原子炉圧力挙動について

2020年9月3日

1. はじめに

- 第12回の事故分析検討会において、福島第一原子力発電所3号機のRCIC運転中の原子炉圧力挙動を明確に説明できないことが問題となった
 - 3号機のRCIC運転中の原子炉圧力挙動についての当社の認識は、RCICはCSTへの戻りラインと原子炉への注水ラインの両方を使う特殊な運転がされる中で、SRVが開閉するという複雑な状況での、原子炉圧力挙動であるというものであった
 - そのため、上記の定性的な説明の妥当性を確認するため、以下に示す流れで、再現解析も含めた検討を実施した
- ① RCICの操作実績と運転員の操作方法の確認
 - ② 当該期間中の崩壊熱の変化
 - ③ 逃がし弁開設定圧以下の状態でのSRVの動作モードについて
 - ④ 解析コードRELAPを用いた再現解析
 - ⑤ 総合的な評価とまとめ

また、国産初のBWRである3号機を建設したプラントメーカーである東芝より、当該期間中のSRV作動有無に関する見解を受け取っているため、その内容を参考として示す。

2. 3号機のRCICの操作実績

当直引継日誌の記載

2011年3月11日

15:06/15:25	RCICクイックスタート/L-8トリップ		
16:03	RCIC「起動」	Rx水位: -500mm	S/CLレベル: 150mm (ミニフロー弁開により上昇)
	RCICミニフロー弁「閉」		
16:13	HPCI、RCIC 水源切替防止リフト		
16:16	RCIC注入開始	Rx水位: -900mm	

2011年3月12日

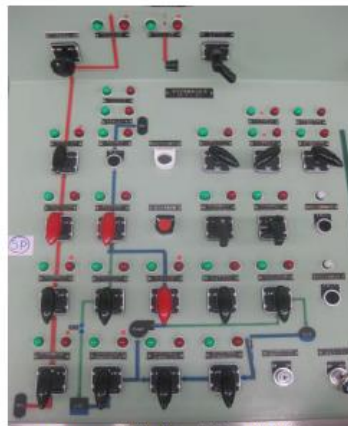
象 発	11:36	RCIC トリップ	炉水位: +200mm (W)

https://www.tepco.co.jp/nu/fukushima-np/plant-data/f1_4_Nisshi3_4.pdf

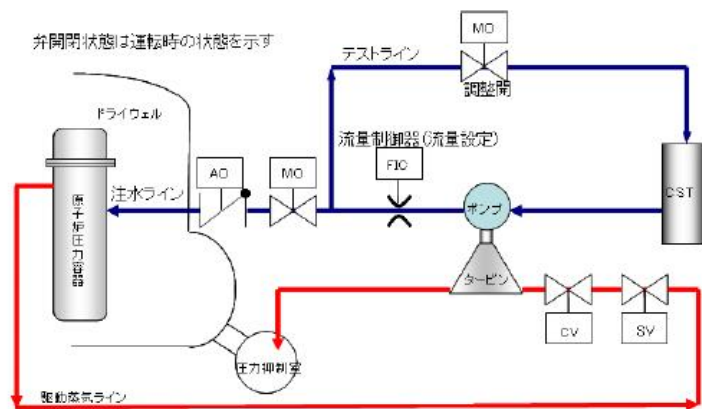
3. 運転員の3号機のRCIC操作方法

【RCICによる原子炉水位確保】

- ・ 運転員は、RCICの起動停止によるバッテリー消費を避けること及び原子炉水位確保を安定して行うため、原子炉水位高により自動停止に至らない措置、運転制御に必要なバッテリーを節約する措置を実施。
- 原子炉水位高によるRCICの自動停止に至らない措置として、中央制御室にて原子炉水位を監視しながら、原子炉への注水ライン及び定期的な機能試験に用いるテストライン(水源の復水貯蔵タンク(以下、CST)からCSTにループして戻すライン)の両ラインに通水するようにRCIC制御盤にて操作し、ラインを構成。水位調整範囲を定めて水位を確保した。



RCIC 制御盤 (後日撮影)

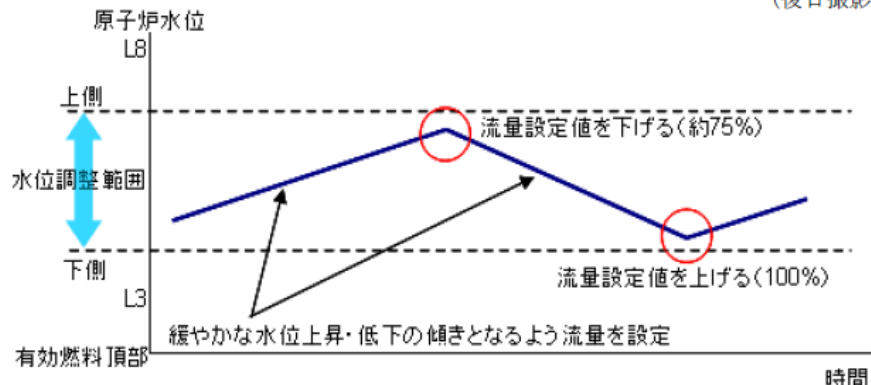


RCIC及びHPCIの原子炉注水ライン概要

- 原子炉の水位監視に2名、RCICの操作に2名の体制で状況を報告し合いながら実施。また、次の注水手段として、RCIC停止後にHPCIをスムーズに起動するため、HPCI制御盤にて操作するスイッチなどに付箋を貼り準備を整えた。
- バッテリーを節約する措置として、弁や流量制御器(以下、FIC)の操作を少なくするため、原子炉水位が緩やかな変化となるように、テストラインの弁の開度調整やFICにて流量を設定した。原子炉水位が水位調整範囲の上側または下側に近づいたら流量の設定値を変更(定格流量(25.2L/s)100%から約75%の範囲)する方法を繰り返した。



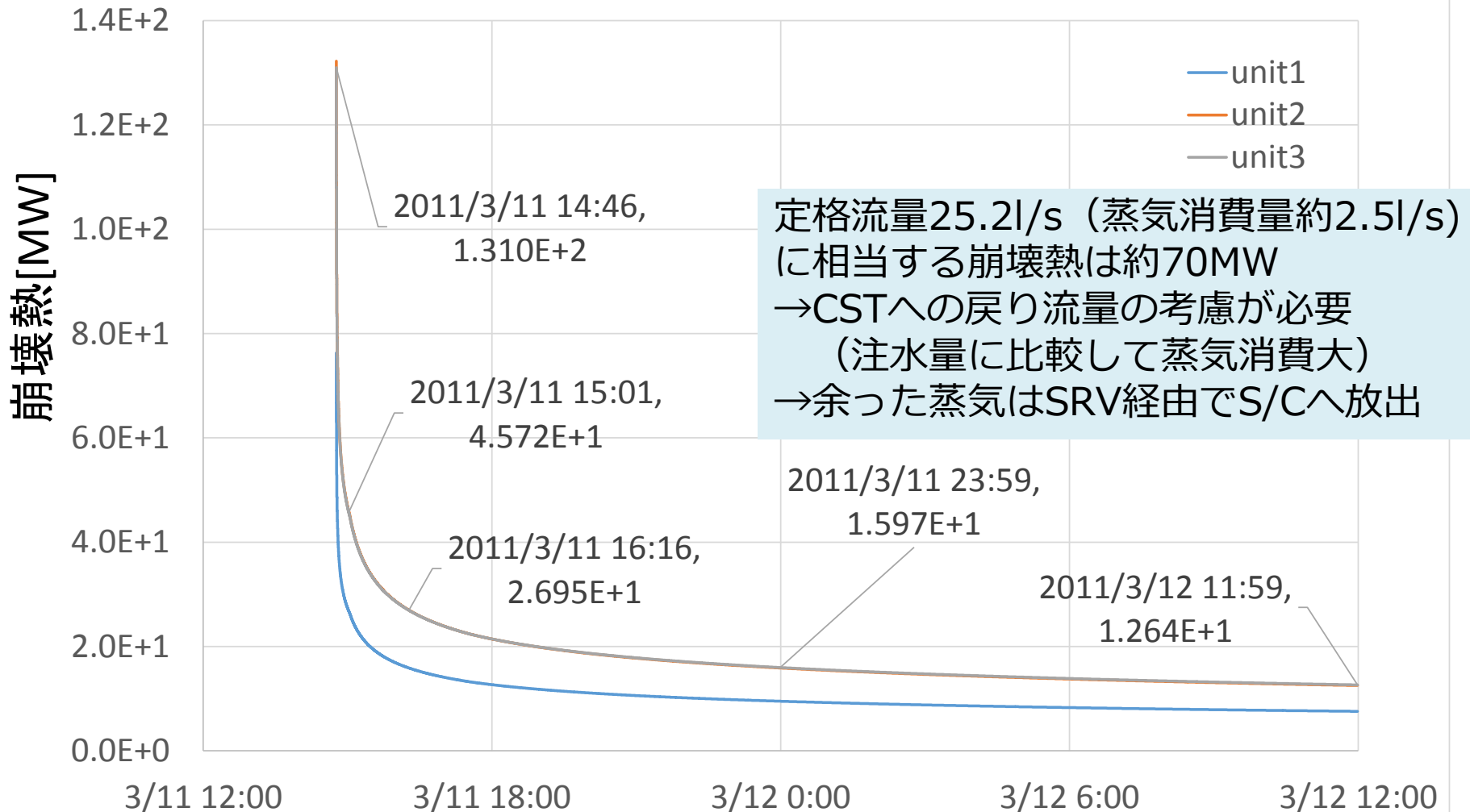
RCIC 流量制御器(FIC) (後日撮影)



原子炉水位の調整方法 (イメージ)

4. 崩壊熱

福島第一原子力発電所1～3号機の崩壊熱の時間変化



5. 予想されるSRVの開モード

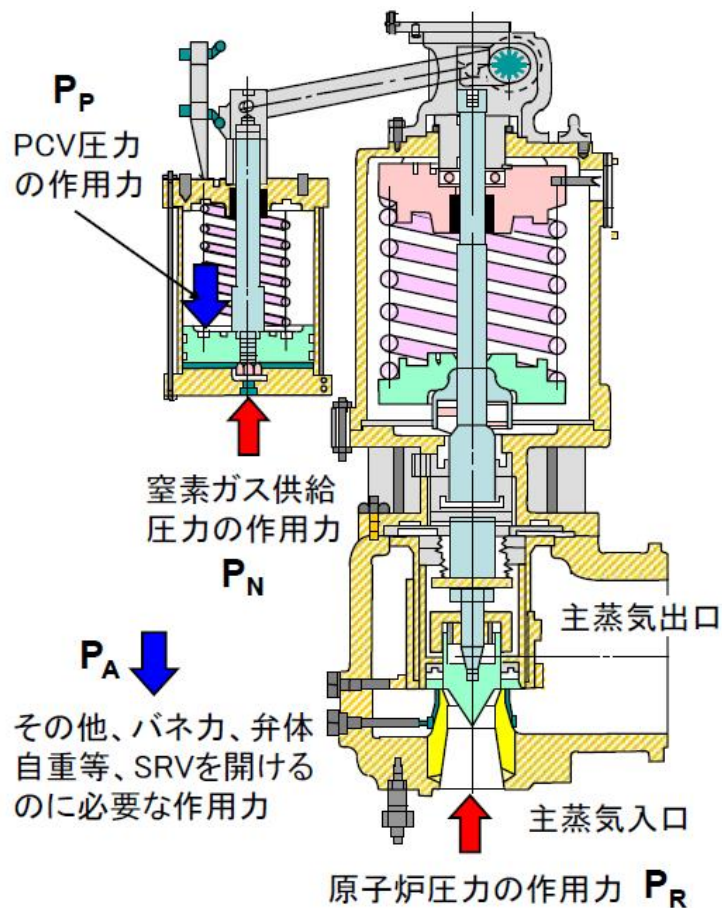


図7 SRV 断面図

逃がし弁モード

$P_P + P_A < P_N + P_R$
 の場合に開

→復帰値まで減圧していない場合
 原子炉圧力 (P_R) が上昇すると
 開く可能性

いずれの場合も蒸気発生量が少ない
 時間帯なので、開となってもすぐに
 圧力が下がり閉となる可能性 (中間開)

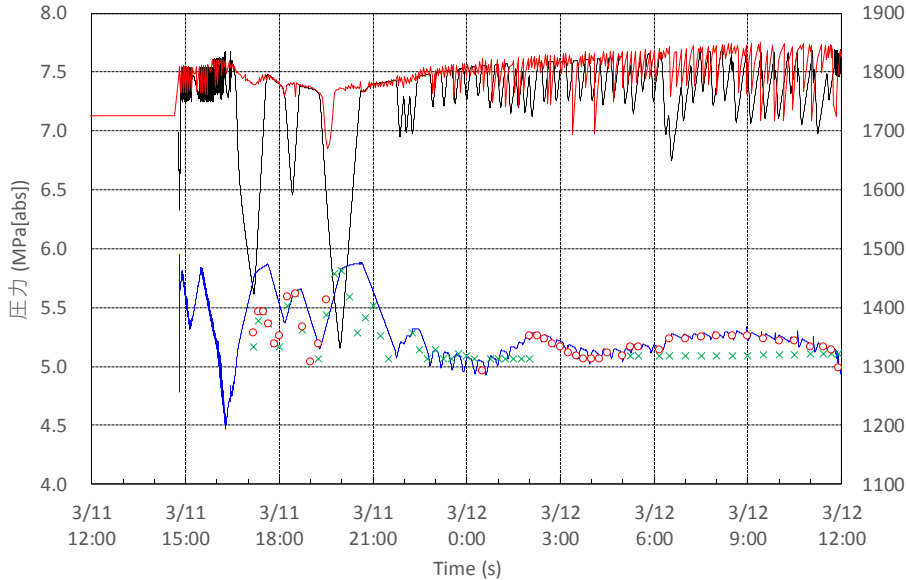
安全弁モード

$P_A < P_R$
 の場合に開

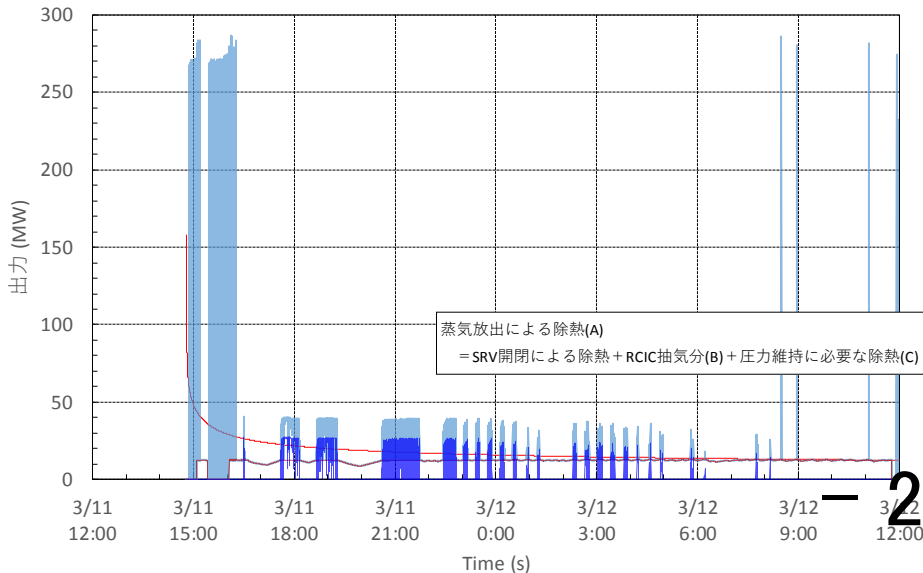
→ばねの温度が上昇することで
 ヤング率が下がり、設定値より
 低い圧力で開く可能性

6. RELAPを用いた解析結果 (プラント挙動)

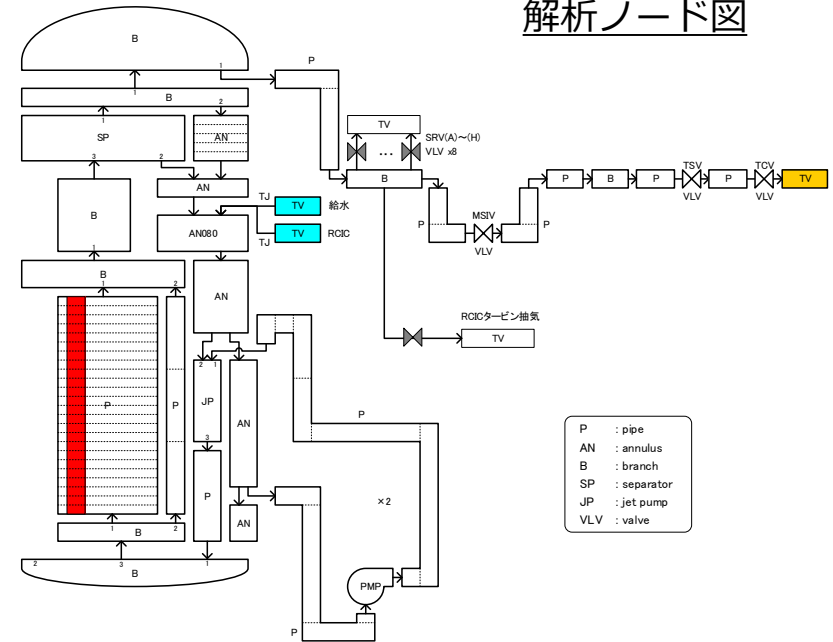
— 圧力(計算) — 圧力(チャート:補正有) — 広帯域水位(計算) × 狭帯域水位(測定値) ○ 広帯域水位(測定値)



— 崩壊熱 — 蒸気放出による除熱(A) — RCIC抽気分(B) — 圧力維持に必要な除熱(C)



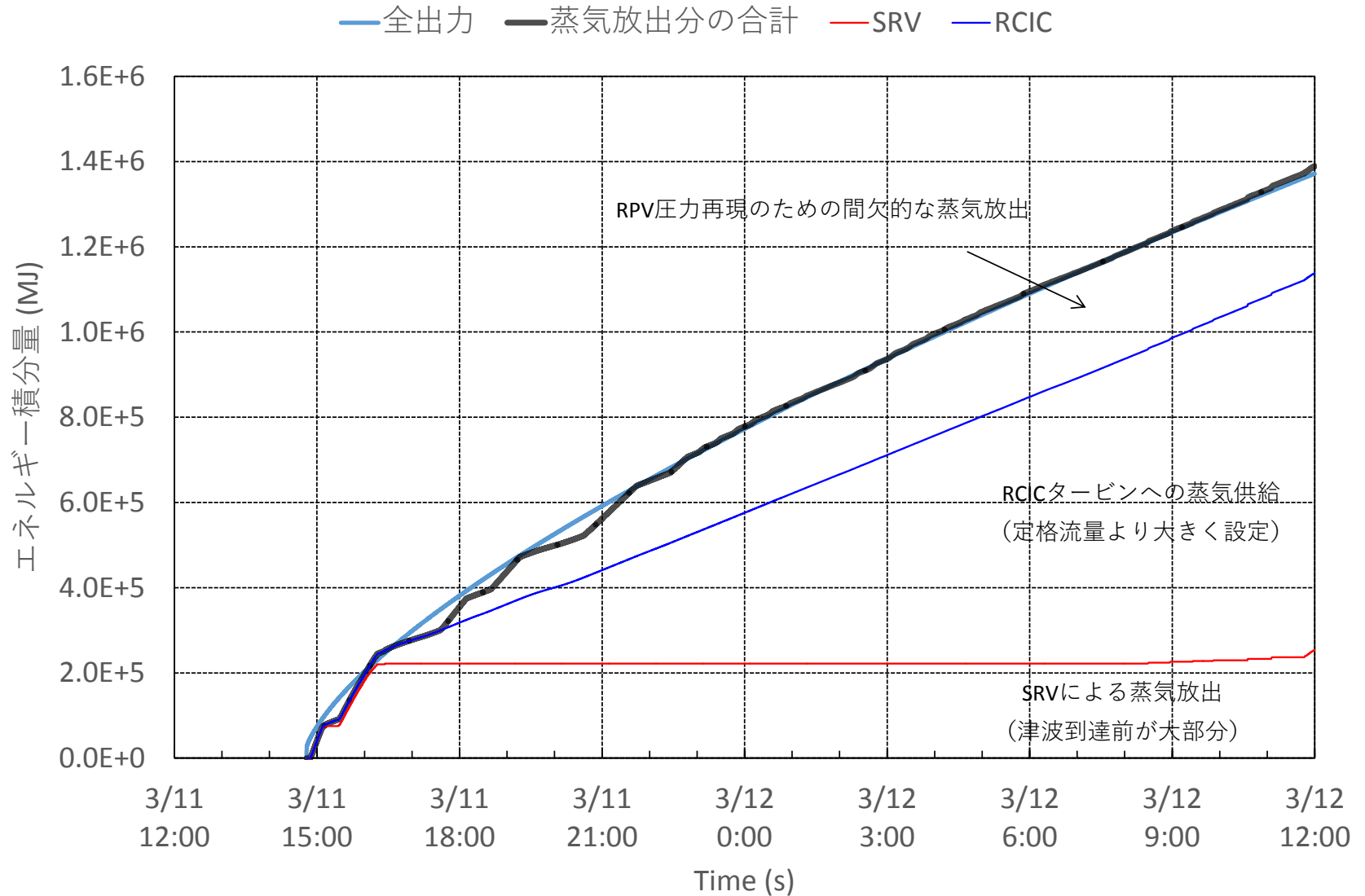
解析ノード図



圧力を維持するのに必要な蒸気について

- 原子炉圧力が緩やかに変動するように設定しているため、それを考慮すると流量はより大きく、放出間隔は長くなる
- RCIC注水による原子炉圧力の大きな変動は実測よりも変動幅が大きいいため、抽気と蒸気放出の割合は実際と異なる可能性がある(抽気流量は設計より大)
- RCIC抽気の過大評価はその他にも崩壊熱の過大評価、SRVシートリーク等の可能性がある。

6. RELAPを用いた解析結果（エネルギーバランス）



7. まとめ

- 1F3のRCIC運転時の原子炉圧力挙動についての検討を実施した
- 津波到達以降のRCIC運転中の崩壊熱はRCIC定格流量に比較してかなり小さいものの、RCICタービンへの供給蒸気量（約2.5l/s）だけでは崩壊熱を消費できないため、SRV経由でのS/Cへの放出があった可能性が高い。
 - ただし、通常のSRVの流量よりも小さい流量（中間開の流路面積）と推定
- RCICから原子炉の注水される低温水による大きなRPV減圧が起こることが解析により示された。
（ノード内での温度均一化効果により、解析で評価される減圧は実際よりも大きくなる傾向）
- 1F3のRCIC運転時の原子炉圧力挙動は、炉圧変化に応じたSRVの中間開作動とRCIC注水による減圧の組み合わせを反映したものと考えられる。
 - ただし、逃し弁モードか安全弁モードかは特定が困難

(参考) 東芝ESSによるSRV開閉有無に関する見解

- 東芝ESSは東電同様、崩壊熱のエネルギーバランスから、SRV経由での蒸気放出は確実にあったとの見解
- SRV開設定圧未満でSRVが中間開になるメカニズムは以下の通り
 - SRVの開閉により窒素が消費され、アキュムレータ圧力が低下する
 - アキュムレータ圧力が低下すると、相対的に P_R の開挙動への影響力が高まる
 - 原子炉圧力がSRV開設定圧より低く推移する前の段階で、SRV開設定圧に到達しSRVが開いたが、 P_R の低下によりSRV閉設定圧に到達前に閉じる挙動となり、SRV開信号保持かつSRV閉の状態が成立する（若しくは僅かな開度でつり合った状態となる）
 - SRV開設定圧に到達しなくても、 P_R の上昇により $P_P + P_A < P_N + P_R$ が成立し、SRVが開くが、すぐに P_R が低下するため小さな圧力変化幅にて開閉を繰り返す。
 - ただし、19:30すぎのSRV閉設定圧に到達した後の圧力挙動については不明
- 初期アキュムレータ圧力 0.69MPaに対し、原子炉圧7.4MPaにおけるSRVが開き始めるのに必要なアキュムレータ圧力は0.090 MPa。全開に必要なアキュムレータ圧力は0.206 MPa（SRV力量バランスの簡易評価値、炉圧が低下すると増加）
- SRV開閉に窒素を消費することによる、アキュムレータ圧力は4回作動後 0.210MPa、5回作動後 0.145MPa、6回作動後 0.094MPa、7回作動後 0.053MPaと変化（断熱膨張を仮定した簡易評価値）
- 上記の評価値の関係から、中間開の状態が発生する可能性ありと評価